

**INSTITUT TEKNOLOGI NASIONAL MALANG  
FAKULTAS TEKNOLOGI INDUSTRI  
JURUSAN TEKNIK ELEKTRO  
PROGRAM STUDI TEKNIK ENERGI LISTRIK S-1**



**SIMULASI SISTEM PENGENDALIAN MOTOR DC  
DENGAN KONVERTER GANDA EMPAT KUADRAN  
MENGGUNAKAN PERANGKAT LUNAK MATLAB**

**SKRIPSI**

*Disusun oleh :*  
**DEDY IRAWAN**  
**NIM : 98.12.125**

**SEPTEMBER 2005**

---

**LEMBAR PERSETUJUAN**  
**SIMULASI SISTEM PENGENDALIAN MOTOR DC**  
**DENGAN KONVERTER GANDA EMPAT KUADRAN**  
**MENGGUNAKAN PERANGKAT LUNAK MATLAB**

***SKRIPSI***

*Disusun Guna Melengkapi dan Memenuhi Syarat-Syarat  
Mencapai Gelar Sarjana Teknik*

**Disusun Oleh :**

**DEDY IRawan**  
**NIM : 98.12.125**



Mengetahui,  
**Ketua Jurusan Teknik Elektro**  
  
Ir. F. Yudi Limpraptono, MT  
NIP.Y. 1039500274

Menyetujui,  
**Dosen Pembimbing**  
  
  
Ir. Widodo Pudji M, MT  
NIP. 102 8700 171

**PROGRAM STUDI TEKNIK ENERGI LISTRIK (S-1)**  
**JURUSAN TEKNIK ELEKTRO**  
**FAKULTAS TEKNOLOGI INDUSTRI**  
**INSTITUT TEKNOLOGI NASIONAL MALANG**

## **ABSTRAKSI**

### **SIMULASI SISTEM PENGENDALIAN MOTOR DC DENGAN KONVERTER GANDA EMPAT KUADRAN MENGUNAKAN PERANGKAT LUNAK MATLAB**

(Dedy Irawan, 9812125, Teknik Elektro Energi Listrik (S-1)

(Dosen Pembimbing : Ir. Widodo Pudji M, MT)

**Kata Kunci :** Sistem Pengendalian, Konverter Ganda Empat Kuadran, Simulasi Matlab

Perancangan sistem pengendalian merupakan alternatif pemilihan sistem pengendalian motor DC yang dapat dioperasikan sebagai generator maupun motor dengan suplai daya dari suatu konverter tiga phasa yang dikendalikan dengan sistem pengendalian.

Sistem Pengendalian motor DC ini Terbagi atas dua yaitu pengendalian dengan arus sirkulasi dan pengendalian tanpa arus sirkulasi, sistem pengendalian ini diaplikasikan pada bagian konverter tiga phasa yang mencatu terminal motor dc penguatan terpisah, mode operasi motor DC yang terbagi menjadi empat kuadran

Hasil simulasi perencanaan sistem tersebut menunjukkan bahwa sistem pengendalian dengan arus sirkulasi mempunyai hasil yang lebih baik dari pada pengendalian tanpa arus sirkulasi dalam hal respon waktu sistem untuk mencapai steady state operasi motor DC, tetapi sistem pengendalian tanpa arus sirkulasi mempunyai hasil yang lebih baik karena komponen yang digunakan lebih sedikit.

## KATA PENGANTAR

Dengan memanjatkan puji syukur kehadirat Allah S.W.T. atas karunia dan hidayah-Nya skripsi ini dapat terselesaikan dengan baik, yang diajukan sebagai syarat untuk menyelesaikan studi di Fakultas Teknologi Industri Jurusan Teknik Elektro Program Studi Teknik Energi Listrik S-1 Institut Teknologi Nasional Malang.

Pada kesempatan yang sangat bahagia ini, penulis menyampaikan rasa terima kasih yang sebesar-besarnya kepada :

1. Kedua orang tuaku yang paling kucintai yang telah memberikan doa restu serta dukungan moril maupun materiil hingga tersclesaikan skripsi ini dengan baik.
2. Ir. Widodo Pudji M, MT sebagai dosen pembimbing atas kesediaannya memberikan bimbingan, saran dan masukan dalam penyusunan skripsi ini.
3. Ir. F. Yudi Limpraptono, MT selaku Ketua Jurusan Teknik Elektro Energi Listrik Institut Teknologi Nasional Malang..
4. Ir. Mimien Mustikawati selaku Sekretaris Jurusan Teknik Elektro Energi Listrik Institut Tcknologi Nasional Malang.
5. Semua pihak yang telah membantu selama penulisan Skripsi ini yang tidak dapat saya sebutkan satu persatu.

Penulis menyadari bahwa isi Skripsi ini masih jauh dari sempurna, Untuk itu saran dan kritik yang membangun penulis harapkan.

Semoga Skripsi ini dapat bermanfaat bagi penyusun maupun pembaca pada umumnya.

Malang, September 2005

Penulis

## DAFTAR ISI

<b>HALAMAN JUDUL.....</b>	i
<b>LEMBERAN PERSETUJUAAN.....</b>	ii
<b>KATA PENGHANTAR.....</b>	iii
<b>DAFTAR ISI.....</b>	iv
<b>DAFTAR GAMBAR.....</b>	v
<b>DAFTAR TABEL.....</b>	vi
<b>BAB I PENDAHULUAN .....</b>	1
1.1 Latar Belakang .....	1
1.2 Perumusan Masalah .....	2
1.3 Tujuan Penelitian.....	2
1.4 Batasan Masalah.....	2
1.5 Sistematika Penulisan.....	3
<b>BAB II TEORI DASAR.....</b>	4
2.1 Thyristor .....	4
2.1.1 Karakteristik Thyristor .....	4
2.1.2 Model Thyristor .....	7
2.2 Penyearah Tiga Fasa Terkontrol Penuh .....	8
2.2.1 Cara Kerja Rangkaian .....	9
2.2.2 Bentuk Gelombang Penyearah Tiga Fasa Terkontrol Penuh .....	9
2.3 Dual Conventer (Konverter Ganda) .....	11

2.4	Motor DC .....	14
2.4.1	Umum.....	14
2.4.2	Prinsip Kerja.....	15
2.5	Jenis Motor DC .....	17
2.5.1	Motor DC Penguatan Terpisah.....	18
2.5.2	Karakteristik Torsi-Kecepatan Motor DC Penguatan Terpisah .....	19
2.6	Pengaturan Kecepatan Motor DC.....	20
2.6.1	Umum .....	20
2.6.2	Pengaturan Kecepatan Motor DC Penguatan Terpisah .....	21
2.7	Pengereman Motor DC .....	23
2.7.1	Umum .....	23
2.7.2	Metode Pengereman Motor DC .....	23
2.8	Pembalikan Putaran Motor DC .....	25

### **BAB III PENGENDALIAN MOTOR DC EMPAT KUADRAN**

DENGAN KONVERTER GANDA .....	27	
3.1	Penyearah Tiga Fasa Mencatu Beban Motor DC.....	27
3.1.1	Model Penyearah Tiga Fasa Dalam Mencatu Motor DC.....	27
3.1.2	Karakteristik Mekanik Motor DC yang di Catu Penyearah Tiga Fasa .....	30
3.1.3	Induktor Arus Kontinyu .....	31
3.2	Cara Kerja Motor DC Konverter Ganda Empat Kuadran .....	36
3.3	Pengendalian Motor DC Dengan Konverter Ganda .....	37
3.3.1	Pengendalian Tanpa Arus Sirkulasi .....	38

3.3.2 Pengendalian Dengan Arus Sirkulasi .....	41
3.4 Metode Kontroler Ganda.....	46
<b>BAB IV HASIL PENELITIAN .....</b>	<b>47</b>
4.1 Pengendalian Tanpa Arus Sirkulasi .....	47
4.2 Pengendalian dengan Arus Sirkulasi.....	56
4.3 Metode Kontroler Ganda.....	62
4.4 Flowchart.....	64
<b>BAB V KESIMPULAN DAN SARAN .....</b>	<b>66</b>
5.1 Kesimpulan.....	66
5.2 Saran-saran .....	66
<b>DAFTAR PUSTAKA</b>	
<b>LAMPIRAN I</b>	
<b>LAMPIRAN II</b>	

---

## DAFTAR GAMBAR

<b>Gambar</b>	<b>Halaman</b>
2.1 Simbol Thyristor Dengan Tiga Pn-Junction.....	4
2.2 Rangkaian Thyristor dan Karakteristik V-I.....	5
2.3 Karakteristik Turn-on Time Thyristor.....	6
2.4 Karakteristik Turn-of Time Thyristor .....	7
2.5 Pemodelan Thyristor dengan dua Thyristor .....	7
2.6 Rangkaian Penyaringan Terkontrol Penuh Tiga Fasa.....	9
2.7 Bentuk Gelombang Penyearah Tiga Fasa Terkontrol Penuh .....	10
2.8 Bentuk Gelombang Keluaran Konverter Ganda .....	11
2.9 Rangkaian Dual Converter(Konverter Ganda).....	12
2.10 Kontruksi Motor DC .....	14
2.11 Interaksi antara Medan Magnet dan Penghantar yang dialiri Arus.....	15
2.11 Rangkaian Jenis Motor DC Penguatan Terpisah .....	17
2.12 Rangkaian Jenis Motor DC Penguatan Terpisah a) Seri b) Shunt c) Kompon Pendek d) Kompon Panjang.....	18
2.13 Karakteristik Torsi-Kecepatan Motor DC Penguatan Terpisah .....	20
2.14 Metode Pengaturan Fluksi/Medan.....	21
2.15 Karakteristik Torsi-Kecepatan Motor DC Penguatan Terpisah Dengan Metode Pengaturan Fluksi?Medan .....	21
2.16 Metode Pengaturan Resistansi Jangkar .....	22

2.17 Karakteristik Torsi-Kecepatan Motor DC Penguatan Terpisah Dengan Metode Pengaturan Resistansi Jangkar .....	22
2.18 Metode Pengaturan Tegangan Jangkar .....	23
2.19 Karakteristik Torsi-Kecepatan Motor DC Penguatan Terpisah Dengan Metode Pengaturan Tegangan Jangkar .....	23
2.20 Metode Pengereman Regeneratif .....	24
2.21 Metode Pengereman Rheostatic .....	24
2.22 Metode Pengereman Plugging .....	25
2.23 Prinsip Kerja membalik Arah Putar Motor DC .....	26
3.1 Penyearah Tiga Terkontrol Penuh dengan Beban Penuh Motor DC... 27	
3.2 Model Operasi Penyearah Tiga Fasa Terkontrol Penuh dengan Beban Motor Arus Searah.....	28
3.3 Kurva Kecepatan-Torsi dari Pengendalian Penyearah Tiga Fasa Terkontrol Penuh .....	30
3.4 a) Switching pada saat Tegangan Sumber lebih besar dari Tegangan rata-rata	
b) Switching pada saat Tegangan Sumber lebih kecil.....	33
c) Switching pada saat Tegangan Sumber sama dari Tegangan rata-rata	
3.5 Model Operasi Motor DC Konverter Ganda Empat Kuadran .....	37
3.6 Rangkaian Daya Konverter Ganda .....	38
3.7 Kontaktor Pembalik Tegangan Jangkar .....	39

---

3.8 Pengendalian Konverter tanpa Arus Sirkulasi .....	40
3.9 Variasi Tegangan keluaran terhadap Penyalakan pada Konverter Ganda.....	42
3.10 a) Pengendalian Arus Sirkulasi dalam Konverter Ganda b) Kontrol Loop Arus .....	44
3.11 Batas Torsi dari Pengendalian Kontrol Ganda .....	46
4.1 Karakteristik Mekanik tanpa Induktor tambahan .....	52
4.2 Kerja Motoring.....	54
4.3 Kerja Generating.....	55
4.4 Arus Keluaran Konverter Positip.....	57
4.5 Arus Keluaran Konverter Negatif.....	57
4.6 Keadaan arus Kontiyu dan Arus Diskontiyu setelah Penambahan Circulating Current Reactor 60 .....	60
4.7 Karakteristik Mekanik Motor DC Penguatan Terpisah dengan $a=60$ .....	61
4.8 Karakteristik Mekanik Motor DC Penguatan Terpisah dengan $a=120$ .....	61
4.9 Rangkaian Simulasi Mat-Lab.....	62
4.10 Metode Kontrol Ganda.....	63

---

## DAFTAR TABEL

<b>Tabel</b>		<b>Halaman</b>
3.1	Kerja Motor DC dengan Catu Penyearah Terkontrol Penuh.....	28
3.2	Kerja Motor DC dalam Konverter Ganda empat Kuadran .....	37

---

## BAB I

### PENDAHULUAN

#### 1.1 Latar Belakang

Perancangan sistem pengendalian mendapat perhatian yang menarik, Karena mengalami peningkatan yang pesat perkembangan yang sangat signifikan dicapai dalam hal bentuk software yang mampu memberikan keuntungan dalam pelaksanaanya.

Sistem pengendalian memegang peranan yang sangat penting dalam perkembangan ilmu pengetahuan dan teknologi yang berhubungan langsung dengan dunia industri. Pemakaian sistem pengendalian di Indonesia pada umumnya masih menggunakan kontroler konvensional sehingga diperlukan alternatif yang dapat memberikan nilai lebih pada hasil produksinya. Dalam dunia industri sistem pengendalian diperlukan untuk menjaga kestabilan variable proses dan meningkatkan efisiensi energi yang dipelukan secara keseluruhan, oleh karena itu maka diperlukan adanya sistem pengendalian alternatif yang mampu melakukan semua aktivitas yang disebut diatas.

Penggunaan bahan semikonduktor sebagai komponen switching memberikan peran utama untuk menjalankan berbagai macam fungsi pengendalian. Bahan semikonduktor ini mampu menjadi otot dalam suatu sistem pengendalian dan didukung oleh komponen lain seperti mikroelektronik yang memiliki kemampuan dan kecerdasan sebagai otak.

Pada sistem tenaga listrik, penggunaan komponen semikonduktor pada umumnya adalah sebagai komponen switching dalam suatu sistem pengendali pengaturan kecepatan motor elektrik untuk mendapatkan kemampuan motor elektrik yang menurunkan rugi-rugi, efisiensi yang tinggi, dan lainnya. berdasarkan latar belakang di atas maka **Pengendalian Motor DC Dengan Konverter Ganda Empat Kuadran** dibahas sebagai alternatif pemilihan sistem pengendalian yang dapat meningkatkan efisiensi dan kestabilan sistem. Pada tugas akhir ini akan dibahas bagaimana motor DC dapat berfungsi sebagai penggerak dan sebagai penggerak secara regeneratif.

## **1.2. Perumusan Masalah**

Mengacu pada latar belakang diatas maka permasalahan yang timbul adalah:

1. Bagaimana menganalisa cara kerja dari sistem pengendali motor DC konverter ganda dan kinerja motor DC
2. Membuat simulasi rangkaian konverter ganda sebagai sistem pengendalian kecepatan putaran dari motor DC penguatan terpisah dengan menggunakan bantuan software 5.3.
3. Melakukan pengujian simulasi.

## **1.3. Tujuan Penelitian**

Membuat rancangan suatu sistem pengendalian alternatif yang mampu mengendalikan kecepatan dan arah putar motor DC

## **1.4. Batasan Masalah**

Agar pembahasan skripsi ini lebih lebih terarah sesuai dengan tujuan, maka permasalahan dibatasi oleh hal-hal sebagai berikut :

1. Pembahasan diutamakan pada rangkaian daya
2. Komponen pada rangkaian daya dianggap ideal sehingga walaupun terdapat jatuh tegangan, nilainya dapat diabaikan
3. Motor yang digunakan adalah motor DC penguat terpisah .
4. Karakteristik motor DC dianggap linier dengan mengabaikan pengaruh reaksi jangkar dan kejemuhan inti besi
5. Komponen harmonisa yang terjadi pada rangkaian secara keseluruhan tidak dibahas
6. Simulasi hasil dengan software MatLab 5.3 secara off-line

## **1.5. Sistematika Penulisan**

Sistematika pembahasan pada skripsi ini tersusun sebagai berikut:

### **BAB I : PENDAHULUAN**

Membahas latar belakang, perumusan masalah, tujuan penelitian, batasan masalah, dan sistematika penulisan.

### **BAB II : TEORI DASAR**

Membahas tentang Thyristor, Konverter dan Motor DC penguatan terpisah

### **BAB III : PENGENDALIAN MOTOR DC EMPAT KUADRAN DENGAN KONVERTER GANDA**

membahas tentang konverter tiga fasa dalam mencatu beban motor DC dalam empat kuadran dan metode pengendalian motor DC yang dicatut oleh konverter ganda tiga fasa

### **BAB IV : UJI SIMULASI**

Melibuti analisa karakteristik sistem dalam beberapa metode dalam kaitannya dengan peningkatan efisiensi dan kestabilan sistem

### **BAB V : KESIMPULAN DAN SARAN**

Memuat kesimpulan dari hasil skripsi dan saran untuk pengembangan lebih lanjut

## BAB II

### Teori Dasar

#### 2.1 Thyristor

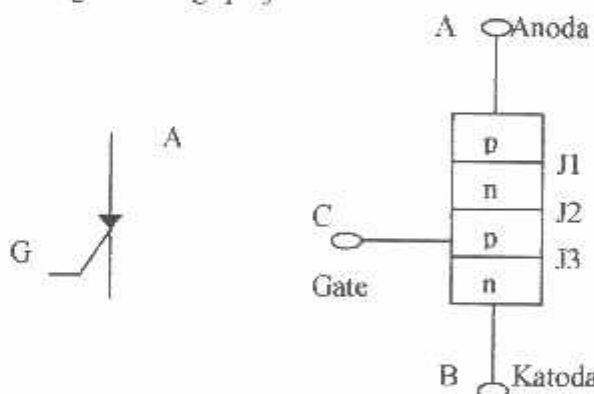
Thyristor adalah salah satu tipe komponen semikonduktor daya yang paling penting dan telah banyak digunakan secara intensif pada rangkaian daya yang biasanya digunakan sebagai saklar. Pada banyak aplikasi thyristor dapat diasumsikan sebagai saklar ideal akan tetapi dalam prakteknya thyristor mempunyai batasan dan karakteristik tertentu.

##### 2.1.1 Karakteristik Thyristor

Dua macam karakteristik thyristor yang akan dibahas disini yaitu karakteristik statis dan karakteristik dinamis.

###### a) Karakteristik Statis

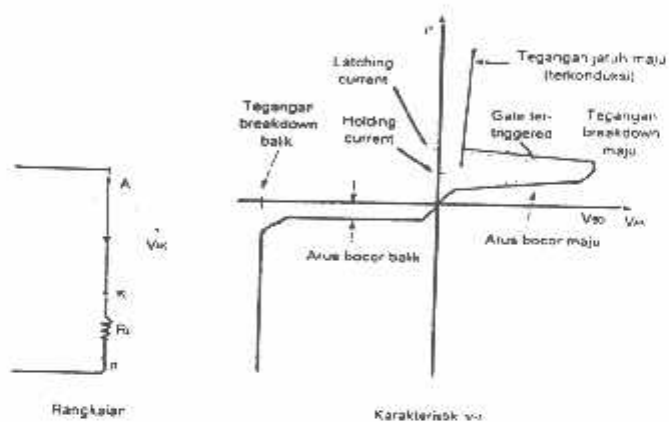
Thyristor merupakan salah satu komponen semikonduktor empat lapis yang berstruktur  $PnPn$  dengan tiga  $Pn$ -junction. Komponen ini memiliki tiga terminal anoda, katoda dan gerbang (gate). Gambar 2.1 memperlihatkan simbol thyristor dan bagan dari tiga  $pn$ -junction



Gambar 2.1 Simbol Thyristor Dengan Tiga  $Pn$ -Junction

Thyristor adalah bahan semikonduktor yang dapat menghantarkan arus dalam satu arah, jadi syarat konduksi thyristor adalah bila anoda lebih positif daripada katoda.

Pada saat tegangan anoda dibuat lebih positif dari pada katoda, thyristor berada pada kondisi *forward blocking* atau kondisi *off-state*. Jika tegangan antara anoda dan katoda  $V_{AK}$  dinaikkan sampai pada nilai tertentu sehingga melampaui tegangan *breakdown*  $V_{BO}$  maka terjadi *avalanche breakdown*. Pada saat ini thyristor berada pada kondisi *forward bias* atau menyala. Tetapi penyalaan seperti ini bersifat merusak. Apabila tegangan *gate* diberi sehingga  $p$  setingkat lebih positif dari  $n$ , pada sambungan  $J_2$  akan terjadi *avalanche* sehingga thyristor dapat konduksi, tanpa harus memberikan tegangan yang melampaui  $V_{BO}$  pada terminal anoda dan katodanya.



Gambar 2.2 Rangkaian Thyristor dan Karakteristik V-i

Garis putus-putus pada gambar 2.2 memperlihatkan begitu thyristor dihidupkan dengan sinyal *gate*. Penyalaan dengan sinyal *gate* dapat dilakukan apabila arus anoda yang mengalir lebih besar dari arus pengunci atau disebut *latching current*  $I_L$ , agar diperoleh cukup banyak aliran pembawa muatan bebas yang melewati *junction*. Pembatas arus ini disimbolkan dengan  $R_L$  pada gambar 2.2 diatas.

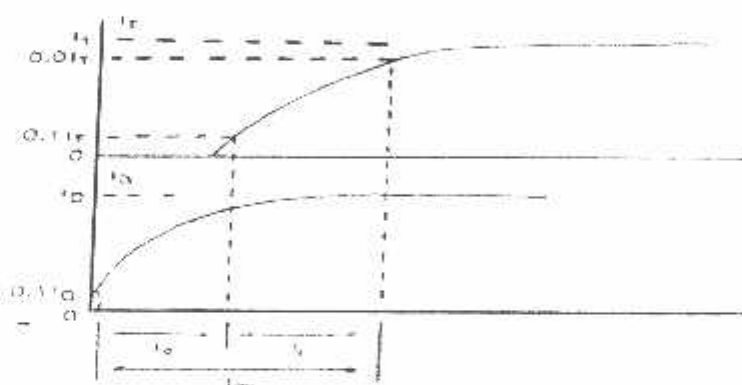
Pada keadaan konduksi ini apabila arus anodanya masih lebih besar dari arus holding  $I_H$ , thyristor akan tetap dalam kondisi tersambung dalam satu arah walaupun sinyal *gate* dihilangkan. Thyristor dapat *off* atau padam apabila arus

maju tersebut dikurangi Sampai ketingkat dibawah *holding current*  $I_H$  cara pemadaman seperti ini lazim disebut dengan komutasi alamiah.

### b) Karakteristik dinamis

Ketika thyristor berkerja ada dua proses yang terjadi yaitu, penyalaan (*turn on*) dan pemadaman (*turn off*). Interval waktu diantaranya disebut *turn-on time* untuk proses penyalaan dan *turn-off time* untuk proses pemadaman.

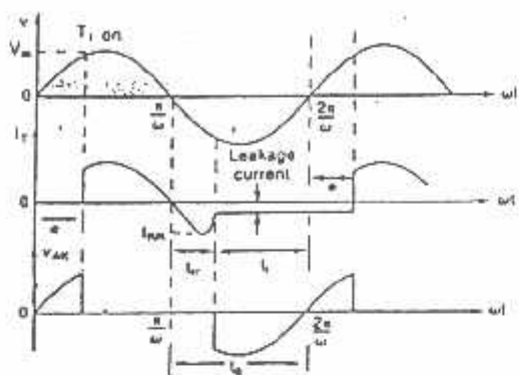
*Turn-on time* thyristor, tampak pada gambar 2.3 ketika thyristor diberi sinyal pada kaki *gate* dan pada saat thyristor mulai konduksi. Selang waktu ini disebut *turn-on time* dan dihitung antara 10% dari arus *gate* saat mulai naik sampai 90% dari arus *on-state* thyristor mencapai keadaan tunak (*steady-state*).



Gambar 2.3 Karakteristik Turn-on Time Thyristor

Dari gambar 2.3 terlihat waktu penyalaan  $t_{on}$  adalah penjumlahan dari waktu tunda  $t_d$  dan waktu mulai  $t_r$ .  $t_d$  didefinisikan sebagai selang waktu antar 10% arus *gate* dan 10% arus keadaan *on* thyristor.  $t_r$  adalah waktu yang diperlukan agar arus anoda meningkat dari 10% sampai 90% arus keadaan *on* thyristor.

Untuk *turn-off time* thyristor, bentuk gelombang arus dan tegangan thyristor ditunjukkan pada gambar 2.4.

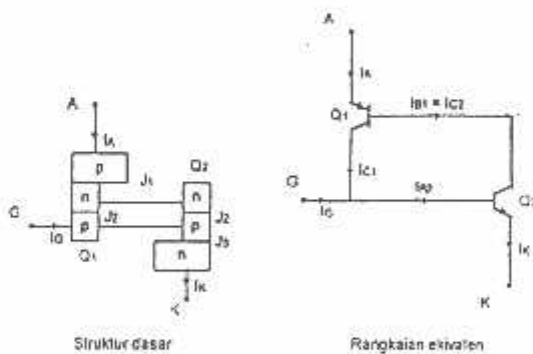


Gambar 2.4 Karakteristik Turn-Off Time thyristor

Ketika tegangan sumber menurun sampai melewati nol, thyristor tidak akan langsung memblok atau menahan tegangan dalam polaritas negatif (*voltage reversal*), tetapi thyristor akan meneruskan arus itu sampai selang waktu tertentu dan masih dalam kondisi konduksi, selang waktu ini disebut *reverse recovery time*  $t_r$ . Setelah itu thyristor akan memblok arus itu selama periode negative dari tegangan masukan, selang waktu ini disebut *recombination time*  $t_{rc}$ . *turn-off time*  $t_q$  adalah penjumlahan dari *reverse recovery time* dan *recombination time*,  $t_q$  bergantung ada nilai puncak dari arus keadaan *on* dan tegangan keadaan *on* sesaat.

### 2.1.2 Model Thyristor

Model thyristor dapat digambarkan sebagai dua transistor yang komplementer, satu *pnp* ( $Q_1$ ) dan yang lainnya *npn* ( $Q_2$ ).



Gambar 2.5 Pemodelan Thyristor Dengan Dua Thyristor

Aksi regeneratif thyristor :

1. Gate dibuat lebih positif dari katoda sehingga ada arus yang mengalir menuju basis  $Q_2$  yaitu  $I_{B2}$ .
2. Arus  $I_{B2}$  mengakibatkan transistor  $Q_2$  konduksi dan arus  $I_{C2}$  mengalir pada kolektor  $Q_2$  yang merupakan arus basis  $Q_1$  yaitu  $I_{B1}$ .
3. Dengan mengalirnya arus basis ini, maka arus  $I_{C1}$  akan mengalir pada kolektor  $Q_1$  dan masuk ke basis  $Q_2$ , hal ini menyebabkan arus basis  $Q_2$  bertambah besar.

Dengan demikian proses konduksi yang berlangsung sama dengan proses konduksi pada thyristor. Begitu juga pada proses tidak konduksi dapat dijelaskan dengan jalan pikiran yang sama.

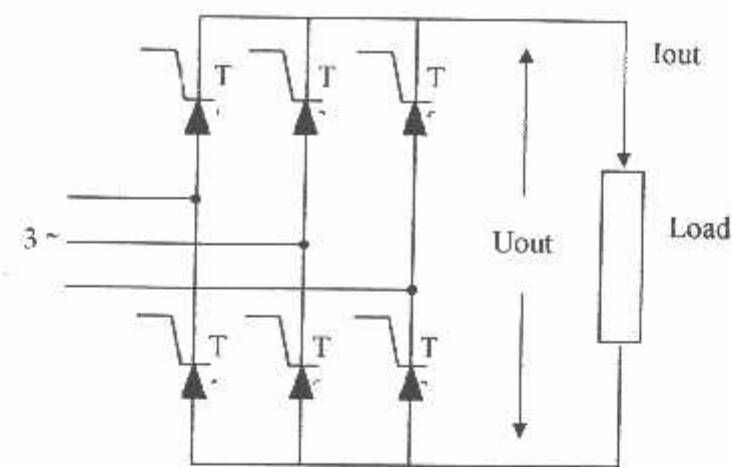
Dalam kaitannya dengan simulasi thyristor dianggap ideal. Pemodelan thyristor dengan software minimal harus mempunyai karakteristik sebagai berikut:

1. Harus nyala atau on ketika diberi sinyal gerbang kecil positif, dengan syarat tegangan anoda lebih positif dari pada katoda.
2. Harus pada keadaan on selama arus katoda mengalir, walaupun sinyal gate dihilangkan.
3. Harus kembali ke off ketika arus anoda ke nol menuju kearah negatif.

Model ini berkerja dengan baik untuk rangkaian konverter yang arus thyristornya akan kembali ke nol dengan sendirinya karena karakteristik dan arus itu sendiri.

## 2.2 Penyearah Tiga Fasa Terkontrol Penuh

Penyearah tiga fasa terkontrol penuh atau disebut dengan konverter enam pulsa adalah jenis penyearah yang menggunakan enam thyristor (dalam hal ini SCR) yang disusun pada gambar 2.6.



Gambar 2.6 Rangkaian Penyearah Terkontrol Penuh Tiga Phasa

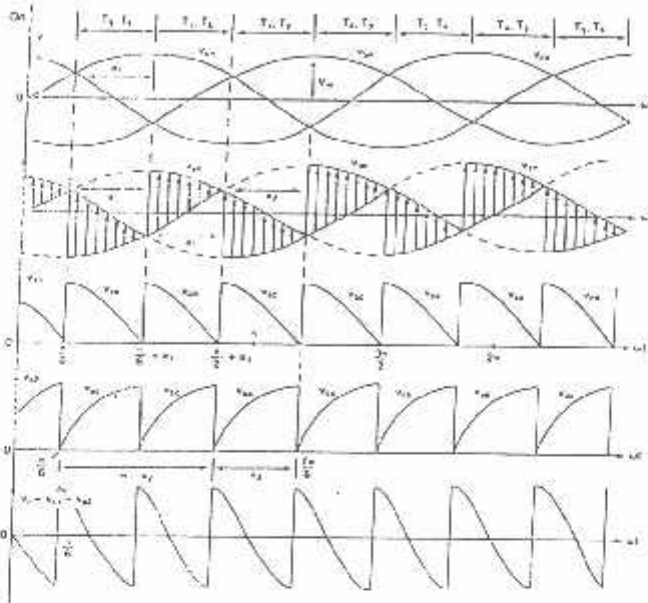
### 2.2.1 Cara kerja Rangkaian

Untuk menjelaskan alur kerja dari rangkaian ini adalah dengan mengelompokkan thyristor tersebut dalam dua grup, yaitu ganjil dan genap, seperti pada gambar 2.6. Rangkaian ini mempunyai sifat bahwa SCR dengan nomor ganjil akan konduktif bila tegangan dari anodanya mempunyai harga paling tinggi dibandingkan dengan tegangan anoda dari komponen-komponen dengan nomor ganjil yang lain. Sedang untuk SCR dengan nomor genap akan konduktif bila tegangan katodanya berada pada keadaan paling rendah dibandingkan dengan tegangan katoda dari komponen-komponen dengan nomor genap lain.

Jadi pada prinsipnya selalu ada dua SCR yang konduktif dalam waktu yang bersamaan, sehingga untuk setiap interval dibutuhkan dua pulsa penyalaan. Pada group ganjil SCR dipicu pada siklus positif tegangan fasa yang terhubung pada SCR tersebut, sedang pada group genap SCR dipicu pada siklus negatif oleh tegangan fasa yang terhubung padanya.

### 2.2.2 Bentuk Gelombang Penyearah Tiga Fasa Terkontrol Penuh

Bentuk gelombang dari tegangan masukkan, tegangan keluaran, arus masukkan dan arus yang melalui thyristor dengan  $\alpha - \eta/3$  seperti pada gambar 2.7



Gambar 2.7 Bentuk Gelombang Penyearah Tiga Fasa Terkontrol Penuh

Jika tegangan saluran ke netral didefinisikan sebagai

$$\begin{aligned}V_{an} &= \frac{V_m}{\sqrt{3}} \sin \omega t & V \\V_{bn} &= \frac{V_m}{\sqrt{3}} \sin \left( \omega t - \frac{2\pi}{3} \right) & V \\V_{cn} &= \frac{V_m}{\sqrt{3}} \sin \left( \omega t + \frac{2\pi}{3} \right) & V\end{aligned}\quad (2.1)$$

Tegangan antara saluran yang sesuai diperoleh

$$\begin{aligned}V_{ab} &= V_{an} - V_{bn} = V_m \sin \left( \omega t + \frac{2\pi}{6} \right) & V \\V_{bc} &= V_{bn} - V_{cn} = V_m \sin \left( \omega t + \frac{\pi}{2} \right) & V \\V_{ca} &= V_{cn} - V_{an} = V_m \sin \left( \omega t + \frac{5\pi}{6} \right) & V\end{aligned}\quad (2.2)$$

Tegangan keluaran rata-rata diperoleh

$$\begin{aligned}V_{dm} &= \frac{3}{\pi} \int_{\pi/6+\alpha}^{\pi/2+\alpha} V_{ab} d(\omega t) = \frac{3}{\pi} \int_{\pi/6+\alpha}^{\pi/2+\alpha} V_m \sin \left( \omega t + \frac{\pi}{6} \right) d(\omega t) \\&= \frac{3V_m}{\pi} \cos \alpha & V\end{aligned}\quad (2.3)$$

Tegangan rata-rata maksimum

$$V_{dm} = \frac{3V_m}{\pi} \quad V \quad (2.4)$$

Tegangan keluaran rata-rata termomalasasi

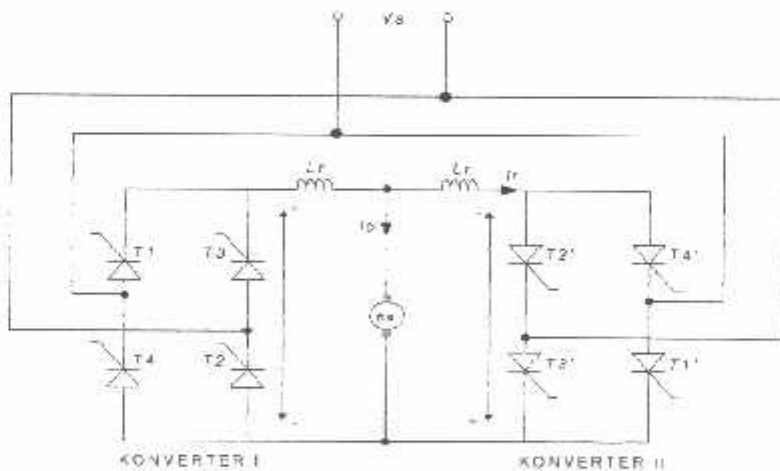
$$V_n = \frac{V_o}{V_{\text{out}}} = \cos \alpha \quad \dots \quad (2.5)$$

Sehingga nilai rms dari tegangan keluaran diperoleh

Pada gambar 2.7 memperlihatkan bentuk gelombang untuk  $\alpha = \eta/3$  untuk  $\alpha > \eta$ , tegangan keluaran  $V_0$  akan memiliki nilai negatif, arus beban harus selalu positif. Akibat beban resistif, tegangan sesaat tidak dapat negatif, artinya konverter hanya bekerja pada satu kuadran.

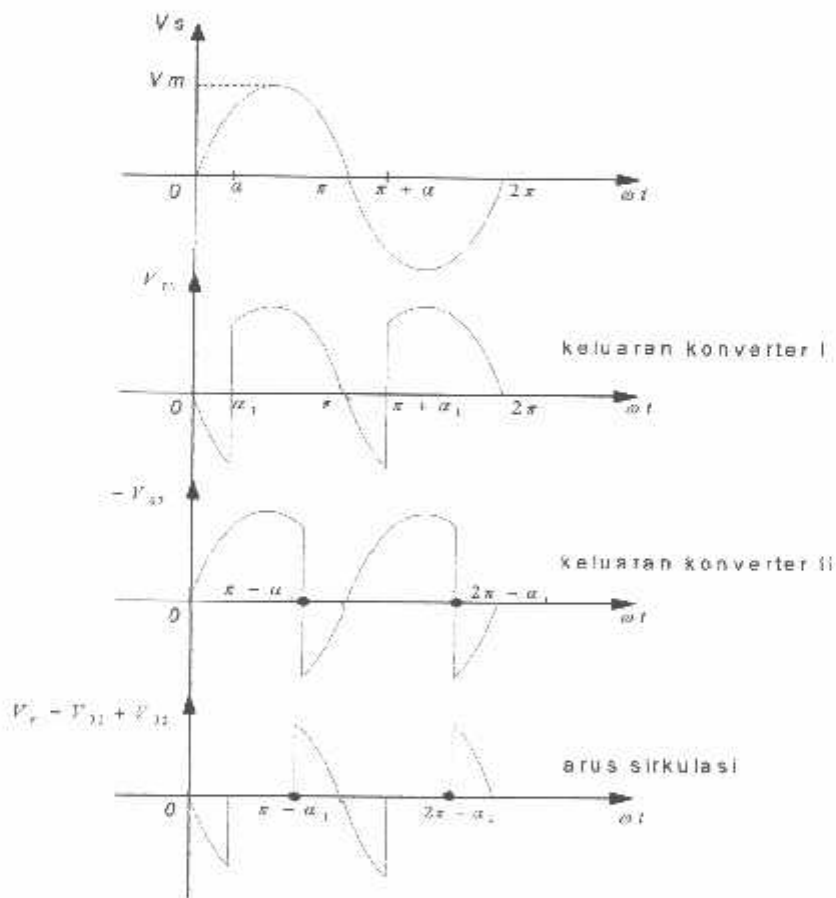
### 2.3 Dual Konverter (konverter ganda)

Dual konverter merupakan penggabungan dari dua buah konverter penuh yang dipasang antiparalel. Jika  $\alpha_1$  dan  $\alpha_2$  berturut-turut merupakan sudut penyalaan konverter satu dan konverter dua, maka tegangan keluaran rata-rata tiap konverter adalah  $V_{dc1}$  dan  $V_{dc2}$ . Jika semua gate pada SCR diberi sinyal masukan maka pada saat  $T_1$  sampai  $T_2$  bekerja sebagai penyearah maka  $T_1$  sampai  $T_2$  akan bekerja sebagai *inverter* begitu juga sebaliknya, akan tetapi keduanya akan menghasilkan tegangan keluaran rata-rata yang sama.



Gambar 2.8 Rangkaian Dual konverter

Gambar 2.8 merupakan rangkaian dual konverter dengan beban yang sangat induktif. Pada saat setengah siklus positif pada sumber tegangan bolak-balik  $V_s$  maka  $T_1$  dan  $T_2$  terbias maju sedangkan  $T_3$  dan  $T_4$  terbias mundur. Ketika SCR dinyalakan secara bersamaan dengan memberikan sinyal *gate*, pada  $\omega t = \alpha$  beban akan terhubung ke sumber melalui  $T_1$  dan  $T_2$ .  $T_1$  dan  $T_2$  akan terus tersambung saat  $\omega t = \pi$  walaupun tegangan masukan negatif akibat beban yang bersifat induktif. Saat setengah siklus negatif berikutnya pada sumber tegangan bolak-balik  $V_s$  maka  $T_3$  dan  $T_4$  akan terbias maju dan penyalaan  $T_3$  dan  $T_4$  akan memberikan tegangan sumber sebagai tegangan bias mundur bagi  $T_1$  dan  $T_2$  kemudian arus beban ditransfer dari  $T_1$  dan  $T_2$  ke  $T_3$  dan  $T_4$ . Demikian juga yang terjadi pada  $T_1'$  dan  $T_2'$  serta  $T_3'$  dan  $T_4'$ . Gambar 2.9 memperlihatkan gelombang keluaran dari dual konverter.



Gambar 2.9 Bentuk Gelombang Keluaran Konverter Ganda

Tegangan keluaran sesaat dari dual konverter berbeda fasa, sehingga akan timbul perbedaan tegangan sesaat dan hal ini akan menghasilkan arus berputar di antara dua konverter. Arus berputar tidak akan melalui beban dan biasanya dibatasi oleh induktor arus putar ( $L_r$ ).

Dual konverter dapat beroperasi dengan atau tanpa arus berputar. Pada kasus operasi tanpa arus berputar, hanya satu konverter beroperasi pada setiap saat dan mengalirkan arus beban, dan konverter yang lain akan diblok sepenuhnya dengan menghilangkan sinyal *gate* dan pada operasi tanpa arus putar tidak diperlukan pemasangan induktor arus putar ( $L_r$ ).

Pada operasi dengan arus berputar memiliki beberapa keuntungan yaitu:

- Arus berputar akan memelihara kondisi kontinyu dari kedua konverter pada seluruh daerah kontrol dan tak bergantung pada beban
- Aliran daya pada sebarang arah dan sebarang waktu menjadi mungkin karena satu konverter selalu menjadi penyearah dan yang lain menjadi *inverter*.
- Respons waktu untuk perubahan dari operasi kuadran pertama ke yang lain akan lebih cepat karena kedua konverter berada pada kondisi tersambung kontinyu.

Tetapi operasi dengan arus berputar juga memiliki kerugian yaitu:

- Dengan adanya induktor arus putar ( $L_r$ ) akan menambah biaya, berat dan rugi daya.
- Effisiensi dan faktor daya akan rendah karena adanya arus sirkulasi.

Pada operasi tanpa arus berputar juga memiliki beberapa keuntungan yaitu:

- Effisiensi dan faktor daya baik tanpa adanya arus sirkulasi.
- Tanpa adanya induktor arus putar ( $L_r$ ) akan mengurangi biaya, berat dan rugi daya.

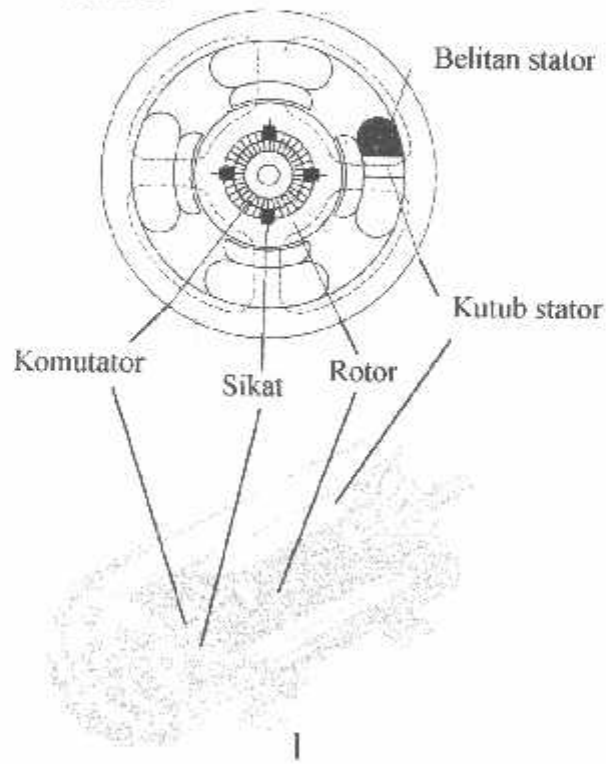
Tetapi kerugian dari operasi tanpa arus putar yaitu:

- Kestabilan kecepatan motor buruk karena kondisi yang tidak kontinyu dan menyebabkan karakteristik transfer dari konverter menjadi tidak linier.
- Adanya waktu berhenti pada saat operasi pembalikan arah arus sehingga membutuhkan waktu yang lebih untuk melakukan operasi tersebut.

## 2.4 Motor DC

### 2.4.1 Umum

Motor DC adalah mesin DC yang mengubah energi listrik DC menjadi energi mekanik. Motor DC terdiri dari dua bagian dasar yaitu stator dan rotor. Stator merupakan bagian dari motor DC yang tidak bergerak sedangkan rotor merupakan bagian yang bergerak. Pada stator terdapat belitan yang dinamakan belitan medan karena berfungsi menghasilkan medan magnet, sedangkan pada rotor terdapat belitan yang dinamakan belitan jangkar karena berfungsi membawa arus beban. Pada poros rotor terdapat komutator dan sikat, komutator bergerak bersamaan dengan poros rotor sedangkan sikat tidak bergerak tetapi menyentuh komutator. Komutator berupa silinder yang terbuat dari beberapa segmen tembaga yang terisolasi satu sama lain, dan sikat terbuat dari bahan karbon. Komutator dan sikat secara bersamaan berfungsi sebagai penyearah. Gambar 2.10 merupakan gambar konstruksi motor DC.

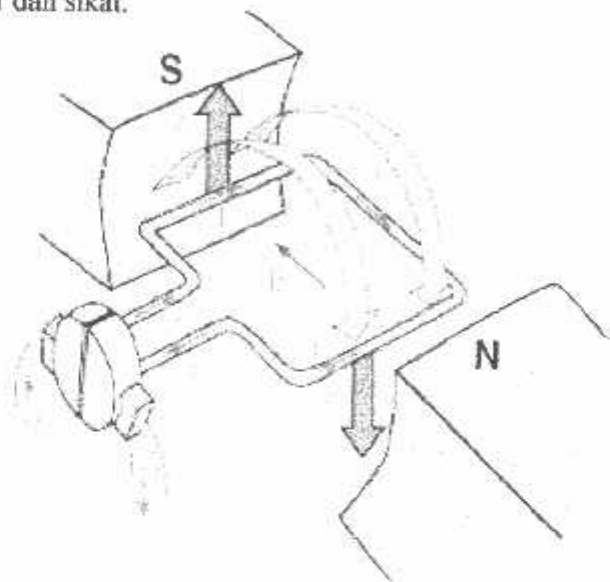


Gambar 2.10 Konstruksi Motor DC

## 2.4.2 Prinsip Kerja

Prinsip kerja motor DC berdasarkan pada penghantar yang dialiri arus dicmpatkan dalam suatu medan magnet sehingga penghantar tersebut akan mengalami

gaya. Gaya menimbulkan torsi sehingga menghasilkan putaran. Penghantar yang berputar akan menimbulkan tegangan AC sehingga diubah menjadi tegangan DC oleh komutator dan sikat.



Gambar 2.11 Interaksi Antara Medan Magnet  
Dan Penghantar Yang Dialiri Arus.

Gaya yang dihasilkan sebesar

$$F = B.I.l \quad \dots \dots \dots \quad (2.7)$$

Gaya itu menimbulkan torsi sebesar:

$$T = F.r \quad \dots \dots \dots \quad (2.8)$$

dengan:

$F$  = Gaya (N).

$B$  = Rapat fluks (T).

$I$  = Arus yang mengalir pada penghantar (A).

$l$  = Panjang penghantar (m).

$r$  = Jari-jari inti jangkar (m).

$T$  = Torsi (Nm).

Jangkar memiliki jumlah penghantar dan cabang paralel penghantar sehingga dari Persamaan (2-7) dan (2-8) didapatkan:

#### **demands**

Z = Jumlah pengantar jangkar

*a* = Jumlah cabang paralel penghantar jangkar yang berada di antara sikat

*L*<sub>1</sub> = Anus jangkar (A)

Rapat fluks yang dihasilkan sebesar:

$$B = \frac{\phi \cdot p}{2\pi r l} \quad \dots \dots \dots \quad (2.10)$$

Jika Persamaan (2-9) diberikan ke Persamaan (2-10) didapatkan:

$$T = \frac{pZ}{2\pi c} \phi I_a \quad \dots \quad (2.11)$$

$$T = K \phi J, \dots \quad (2.12)$$

denavit

$n$  = jumlah kutub stator

$\phi$  = Fluks tian kutub stator (Wb)

*K* = Konstanta mesin

Putaran jangkar yang berada dalam medan magnet akan menghasilkan gaya gerak listrik lawan sebesar:

$$E_i = K \phi_{\theta_i} \quad (2.13)$$

Daya yang dibasilkan sebaiknya

$$P \equiv E/J \quad (3.14)$$

Dari persamaan (3.13) dan (3.14)

$$P = K \cdot \phi U \cdot \phi \quad (2.15)$$

<sup>12</sup> See also the discussion of the relationship between the two in the section on "Theoretical Approaches."

www.ijerph.org

$E = \text{Gaya pasang listrik langsir (V)}$

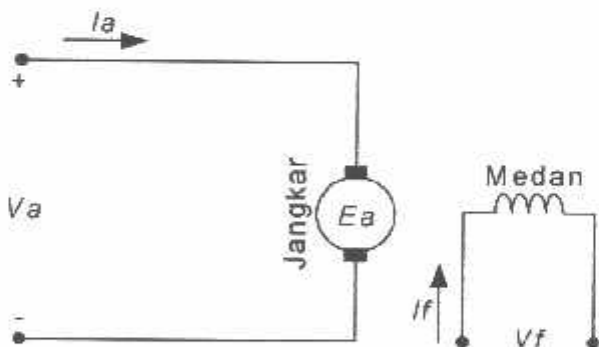
$P = \text{Dense}(W)$

$\omega_0 = \text{Puteran} \text{ (rad/s)}$

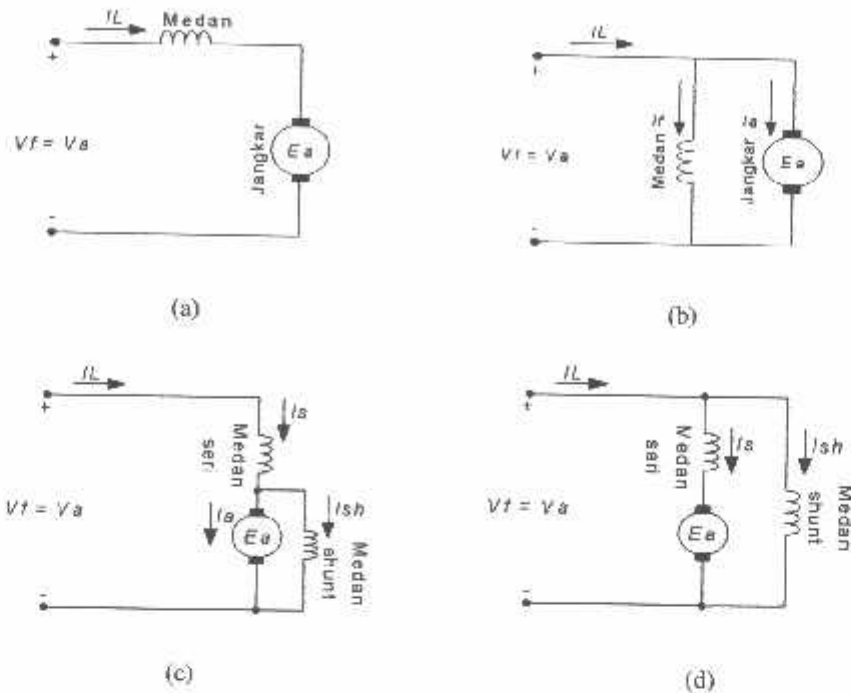
## 2.5 Jenis Motor DC

Motor DC berdasarkan jenis penguatannya terbagi menjadi 2 yaitu; motor DC penguatan terpisah dan motor DC penguatan sendiri. Penguatan pada motor DC diberikan oleh belitan medan sehingga jenis penguatan motor DC berdasarkan pada cara pemberian catu tegangan pada belitan medan yang akan menimbulkan medan magnet.

Motor DC penguatan terpisah dicatut oleh dua sumber tegangan terpisah pada belitan medan dan belitan jangkarnya seperti pada Gambar 2.11. Motor DC penguatan sendiri dicatut oleh satu sumber pada belitan medan dan belitan jangkarnya. Motor DC penguatan sendiri berdasarkan cara menghubungkan belitan medan dan belitan jangkarnya terbagi menjadi tiga yaitu: motor DC *shunt*, seri dan kompon. Motor DC *shunt* belitan medan dan belitan jangkarnya dihubungkan parallel, motor DC seri belitan medan dan belitan jangkarnya dihubungkan seri, sedangkan motor DC kompon merupakan penggabungan dari motor DC *shunt* dan motor DC seri yang terbagi menjadi dua macam yaitu: kompon panjang dan kompon pendek seperti pada Gambar 2.12. Motor DC penguatan terpisah dibandingkan motor DC penguatan sendiri memiliki kelebihan dalam pengaturan tegangan sumbernya yaitu pengaturan tegangan jangkar dan pengaturan tegangan medan sehingga memiliki jangkauan pengaturan yang lebih luas.



Gambar 2.11 Rangkaian Jenis Motor DC Penguatan Terpisah



Gambar 2.12 Rangkaian Jenis Motor DC Penguatan Sendiri  
(a) Seri, (b) Shunt, (c) Kompon Pendek, (d) Kompon Panjang

### 2.5.1 Motor DC Penguatan Terpisah

Rangkaian motor DC penguatan terpisah seperti pada Gambar 2.11 terdiri atas belitan medan dan belitan jangkar yang modelnya dapat diwakili oleh unsur-unsur resistansi dan induktansi. Berdasarkan rangkaian tersebut didapatkan persamaan:

$$V_f = R_f I_f + L_f \frac{dI_f}{dt} \quad \dots \dots \dots (2.17)$$

$$V_a = E_a + I_a R_a + L_a \frac{dI_a}{dt} \quad \dots \dots \dots (2.18)$$

Jika persamaan (2-13) diberikan ke Persamaan (2-18) didapatkan:

$$V_a = K \phi \omega_m + I_a R_a + L_a \frac{dI_a}{dt} \quad \dots \dots \dots (2.19)$$

Berdasarkan Persamaan (2-12) untuk model mekanis motor DC penguatan terpisah adalah:

$$T = J \frac{d\omega}{dt} + B\omega + T_w \quad \dots \quad (2.20)$$

dengan:

$V_f$  = Tegangan medan (V).

$I_T$  = Induktansi belitan medan (H)

$R_f$  = Resistansi belitan medan ( $\Omega$ )

$I_f$  = Arus median (A)

$V_2$  = Tegangan jangkar (V)

$L_a$  = Induktansi belitan jangkar (H)

$R_o$  = Resistansi belitan jangkar ( $\Omega$ )

$J_{\mu} = \text{Artus jangkar (A)}$

$J$  = Momen inersia ( $\text{kg m}^2$ )

$B$  = Koefisien gesekan motor [Nm/(rad/s)]

$T_w$  = Torsi behan (Nm)

Untuk operasi motor dalam keadaan mantap pada Persamaan (2-17), (2-18), (2-19), dan (2-20) turunan terhadap waktunya adalah nol sehingga persamaannya beraturut-turut menjadi:

$$V_i = R_i I_i \dots \quad \dots \quad (221)$$

$$V_a = E_a + I_a R_a \quad \dots \quad (22)$$

$$V = K \phi m + l(R) \quad (2.33)$$

$$T \equiv B\varrho + T \quad (2.24)$$

Untuk menghitung kinerja dari motor DC maka digunakan keempat persamaan di atas, yang terdiri atas tiga persamaan sistem listrik pada jangkar dan medan yaitu: Persamaan (2-21), (2-22), (2-23) dan satu persamaan sistem mekanik pada poros rotor yaitu Persamaan (2-24).

### 2.5.2 Karakteristik Torsi-Kecepatan Motor DC Pengaitan Terpisah

Motor DC penguatan terpisah banyak digunakan untuk menggerakkan beban-beban mekanis yang membutuhkan kecepatan yang konstan dengan beban yang berubah-ubah, maupun kecepatan yang berubah-ubah dengan beban yang konstan

Berdasarkan hal tersebut maka perlu diketahui hubungan antara torsi dan kecepatan.

Berdasarkan Persamaan (2-23) didapatkan hubungan antara torsi dan kecepatan motor DC penguatan terpisah sebagai berikut:

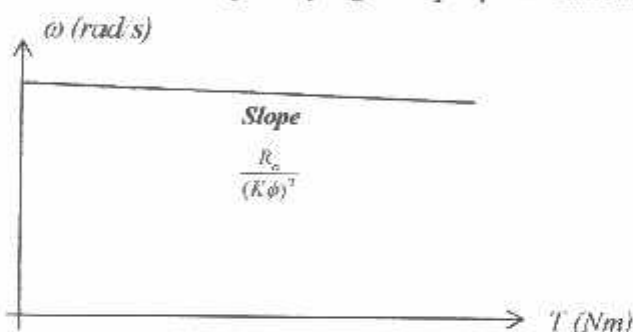
$$\omega = \frac{V_a - I_a R_a}{(K\phi)} \quad \dots \dots \dots \quad (2.25)$$

Jika Persamaan (2-12) diberikan ke Persamaan (2-25) didapatkan:

$$\omega = \frac{V_a}{(K\phi)} - \frac{R_a T}{(K\phi)^2} \quad \dots \dots \dots \quad (2.26)$$

$$= \frac{(k\phi)V_a - R_a T}{(k\phi)^2 + R_a B} \quad \dots \dots \dots \quad (2.27)$$

Jika tegangan jangkar dan fluks tidak berubah, maka karakteristik torsi dan kecepatan dapat digambarkan oleh grafik yang terdapat pada Gambar 2.13.



Gambar 2.13 Karakteristik Torsi-Kecepatan Motor DC Penguatan Terpisah

## 2.6 Pengaturan Kecepatan Motor DC

### 2.6.1 Umum

Motor DC merupakan mesin penggerak yang banyak digunakan karena memiliki kelebihan pada pengaturan kecepatannya. Pada umumnya pengaturan kecepatan motor DC penguatan terpisah dan motor DC penguatan sendiri hampir sama. Pengaturan kecepatan pada motor DC penguatan terpisah lebih luas dibandingkan pengaturan kecepatan pada motor DC penguatan sendiri dikarenakan motor DC penguatan terpisah dicatut oleh dua sumber.

Untuk selanjutnya di sini hanya akan ditinjau pengaturan kecepatan motor DC penguatan terpisah.

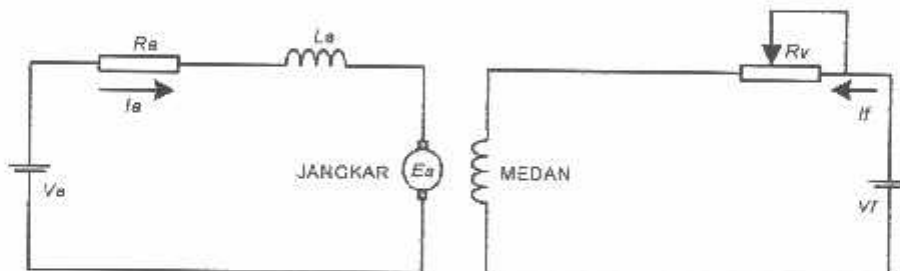
### 2.6.2 Pengaturan Kecepatan Motor DC Penguatan Terpisah

Kecepatan motor DC penguatan terpisah dapat diatur sesuai Persamaan (2-25) dengan menggunakan tiga metode yaitu:

- Pengaturan fluksi/medan.
- Pengaturan resistansi jangkar.
- Pengaturan tegangan jangkar.

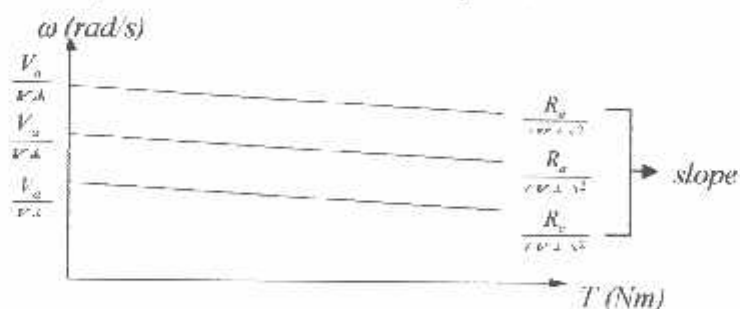
#### a) Pengaturan Fluksi/Medan

Pada metode pengaturan ini, resistansi jangkar dan tegangan jangkar dijaga konstan, sehingga pengaturan hanya dilakukan di sisi medan. Pengaturan di sisi medan dilakukan dengan mengatur arus  $I_f$  yang berbanding lurus dengan fluksi melalui tahanan  $R_v$  seperti terlihat pada Gambar 2.14



Gambar 2.14 Metode Pengaturan Fluksi/Medan.

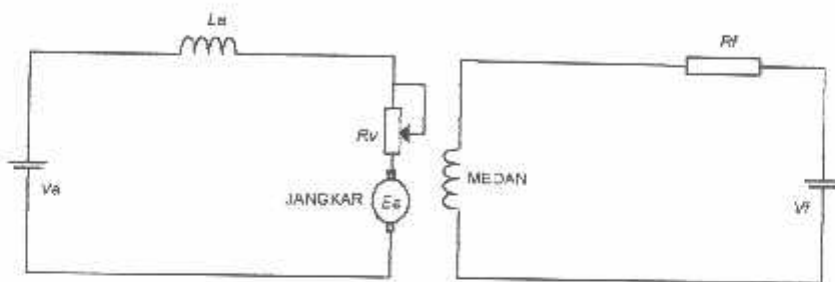
Sesuai dengan Persamaan (2-26) dengan menggunakan metode pengaturan fluksi/medan didapatkan karakteristik torsi-kecepatan:



Gambar 2.15 Karakteristik Torsi-Kecepatan Motor DC Penguatan Terpisah Dengan Metode Pengaturan Fluksi/Medan.

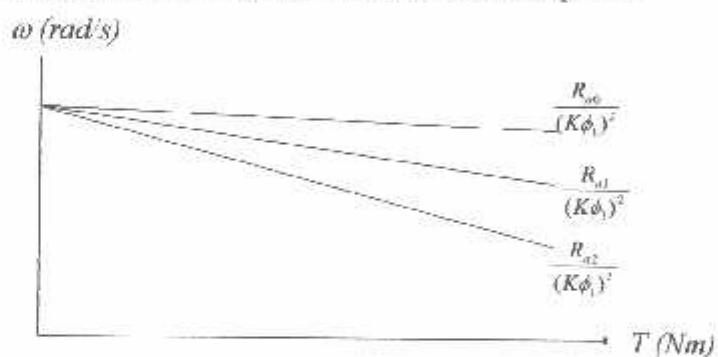
### b) Pengaturan Resistansi Jangkar.

Pada metode pengaturan ini, tegangan jangkar dan arus medan dijaga konstan sehingga pengaturan hanya dilakukan pada resistansi jangkarnya. Kecepatan motor diatur dengan mengubah-ubah resistansi tahanan jangkar dengan menambahkan resistansi seperti pada Gambar 2.16



Gambar 2.16 Metode Pengaturan Resistansi Jangkar

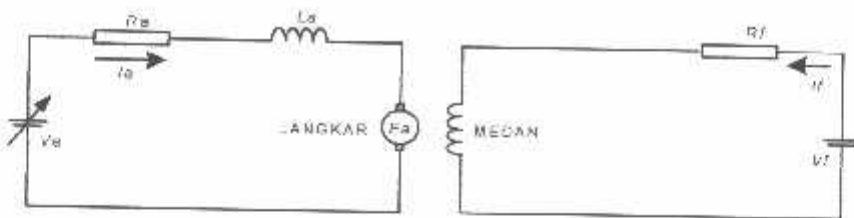
Sesuai dengan Persamaan (2-26) dengan menggunakan metode pengaturan resistansi jangkar didapatkan karakteristik torsi-kecepatan.



Gambar 2.17 Karakteristik Torsi-Kecepatan Motor DC Penguatan Terpisah Dengan Metode Pengaturan Resistansi Jangkar

### c) Pengaturan Tegangan Jangkar

Pada metode ini resistansi jangkar dan sisi medannya dijaga konstan sehingga pengaturan hanya dilakukan pada tegangan jangkarnya. Pengaturan kecepatan dilakukan dengan mengatur tegangan jangkar seperti pada Gambar 2.18.



Gambar 2.18 Metode Pengaturan Tegangan Jangkar

Sesuai dengan Persamaan (2-26) dengan menggunakan metode pengaturan tegangan jangkar didapatkan karakteristik torsi-kecepatan:



Gambar 2.19 Karakteristik Torsi-Kecepatan Motor DC Penguatan Terpisah Dengan Metode Pengaturan Tegangan Jangkar

## 2.7 Pengereman Motor DC

### 2.7.1 Umum

Pada aplikasi penggunaan motor sebagai mesin penggerak ada kalanya diinginkan untuk memperlambat atau bahkan menghentikan putaran motor tersebut. Motor DC merupakan mesin penggerak yang memiliki kelebihan selain dalam pengaturan kecepatan putaran juga dalam perlambatan atau penghentian putaran. Proses perlambatan atau penghentian putaran disebut pengereman. Metode pengereman pada motor DC penguatan terpisah dari penguatan sendiri sama.

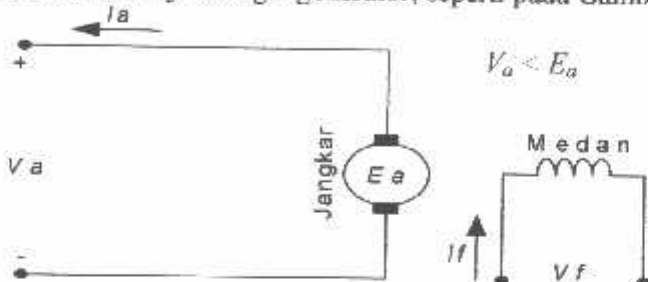
### 2.7.2 Metode Pengereman Motor DC

Metode pengereman pada motor DC ada tiga macam yaitu:

- Pengereman *regenerative*
- Pengereman *rheostatic*
- Pengereman *plugging*

### a) Penggereman Regenerative

Penggereman *regenerative* adalah penggereman yang dilakukan dengan cara mengembalikan energi yang tersimpan dalam motor pada saat berputar ke sumber tegangan. Hal ini dapat dilakukan dengan cara membuat ggl motor lebih besar dari pada tegangan sumbernya, sehingga arus akan mengalir kembali ke sumber tegangan dan motor akan bekerja sebagai generator, seperti pada Gambar 2.20.



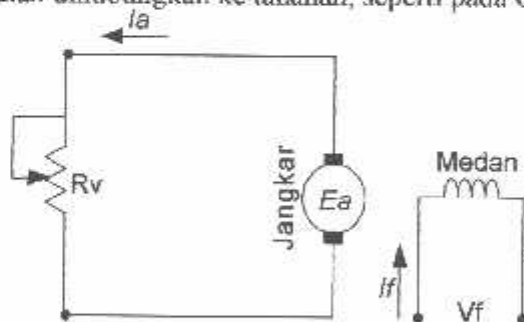
Gambar 2.20 Metode Penggereman *Regenerative*

Besarnya arus yang mengalir adalah:

$$I_a = \frac{E_a - V_a}{R_a} \quad \dots \dots \dots \quad (2.28)$$

### b) Penggereman *Rheostatic*

Penggereman *rheostatic* dilakukan dengan jalan membuang energi yang dihasilkan putaran motor menjadi energi panas dalam *rheostat*. Pada motor yang berputar akan dihasilkan GGL lawan, saat penggereman tegangan catu pada motor dilepas kemudian dihubungkan ke tahanan, seperti pada Gambar 2.21.



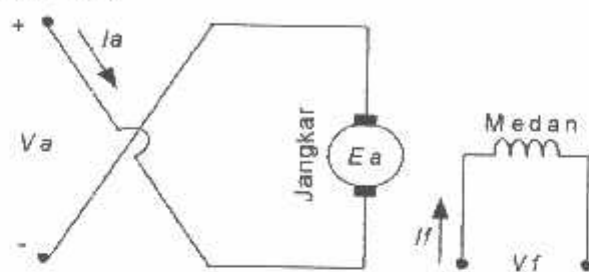
Gambar 2.21 Metode penggereman *rheostatic*

Akibat adanya ggl lawan tersebut akan menghasilkan arus yang kemudian dialirkan melalui tahanan. Besarnya arus yang mengalir dalam tahanan tersebut

$$I_a = -\frac{E_a}{R_a + R} \quad \dots \dots \dots \quad (2.29)$$

### c) Penggereman Plugging

Penggereman *plugging* adalah penggereman yang dilakukan dengan membalik polaritas salah satu belitan, baik belitan jangkar ataupun belitan medan, seperti pada Gambar 2.22.



Gambar 2.22 Metode Penggereman *Plugging*

Pada saat dilakukan penggereman *plugging* timbul arus yang cukup besar. Arus yang ditimbulkan besarnya:

$$I_a = -\frac{V_a + E_a}{R_a} \quad \dots \dots \dots \quad (2.30)$$

karena arus yang dihasilkan pada penggereman *plugging* cukup besar sehingga akan membahayakan motor. Untuk membatasi arus yang cukup besar tersebut bisa dilakukan penambahan resistor pada rangkaian motor pada saat dilakukan penggereman.

## 2.8 Pembalikan Putaran Motor DC

Untuk membalikan arah putaran motor DC, persamaan (2.12)  $T = K\phi I_e$  dapat digunakan sebagai acuan :

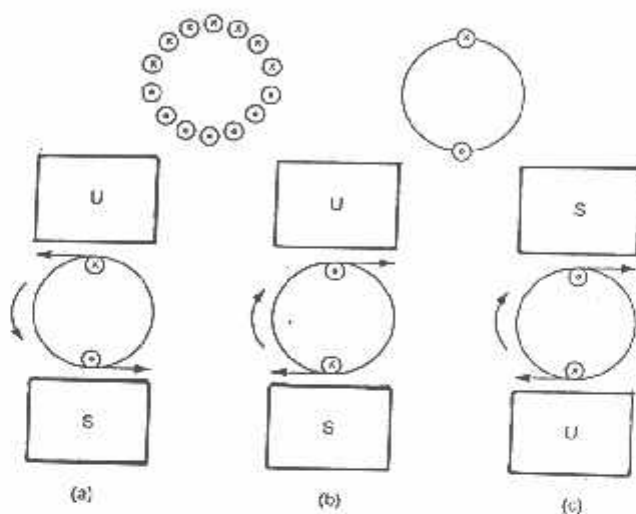
- Jika  $I_e$  negatif, maka  $T$  negatif
- Jika  $\phi$  negatif, maka  $T$  negatif
- Jika  $I_e$  negatif,  $\phi$  negatif, maka  $T$  positif

Sehingga untuk membalik putaran motor DC dapat dilakukan dengan cara :

- Membalikan arah putar arus jangkar dan arah arus penguatan tetap
- Membalikan arah arus penguatan dan arah arus jangkar tetap

Apabila arah arus jangkar dan arah arus penguatan keduanya dibalik maka arah putaran motor tidak berubah.

Pengertian-pengertian ini sesuai dengan kaidah tangan kiri. Perhatikan gambar 2.23 Untuk memudahkan penjelasan sisi kumparan pada bagian atas dan bawah masing-masing hanya digambarkan dengan sebuah kawat.



Gambar 2.23 Prinsip Kerja Membalikkan Arah Putaran Motor DC

Pada gambar a : Mula-mula arah putaran motor berlawanan dengan arah putaran jarum jam.

Pada gambar b : Kemudian arah arus jangkar dirubah, kutup-kutup tetap, sesuai dengan kaidah tangan kiri sekarang arah putaran berubah.

Pada gambar c : Sesudah itu kutup-kutup dirubah dan arah arus jangkar tetap, sesuai dengan kaidah tangan kiri, maka arah putaran sekarang juga berubah.

Jadi mula-mula arah putaran berlawanan dengan jarum jam, untuk merubah arah putaran menjadi searah dengan jarum jam dapat dilakukan dengan dua cara, dengan membalikkan arah arus jangkar atau merubah kutup-kutup magnet. Apabila arah arus jangkar dan kutup-kutup magnet keduanya berubah maka arah putaran akan tetap.

### BAB III

## PENGENDALIAN MOTOR DC EMPAT KUADRAN DENGAN KONVERTER GANDA

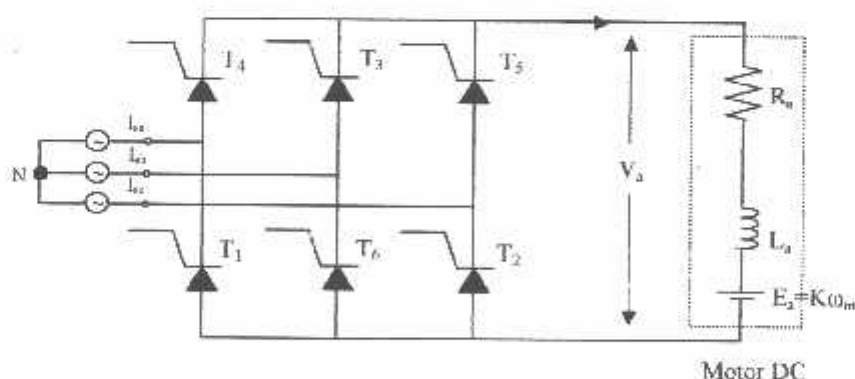
#### 3.1 Penyearah Tiga Fasa Mencatu Beban Motor DC

Untuk memudahkan perhitungan dalam menganalisa perlu diadakan asumsi-asumsi pendekatan :

1. Thyristor adalah merupakan *switch* ideal. Tidak mempunyai jatuh tegangan saat konduksi dan tidak mempunyai arus bocor saat *blocking*. Hal ini mengindikasiakan bahwa rugi-rugi akibat penyearah diabaikan. Ini biasanya dipakai untuk motor dengan daya tinggi.
2. Resistansi dan induktansi jangkar dianggap konstan. Efek kulit yang disebabkan arus *ripple* dari motor dan perubahan nilai resistansi akan sulit dihitung dan perubahannya sangat kecil sehingga diabaikan.
3. Selama beroperasi dalam keadaan tunak (*steady state*), kecepatan dianggap konstan, fluktasi *ripple* arus dari torsi mempunyai konstanta waktu yang sangat besar dibandingkan *ripple* arus dari motor, sehingga disini fluktuasi torsi diabaikan, dan pada *steady state* ini tegangan dari GGL lawan dianggap DC murni.
4. Induktansi sumber diabaikan.

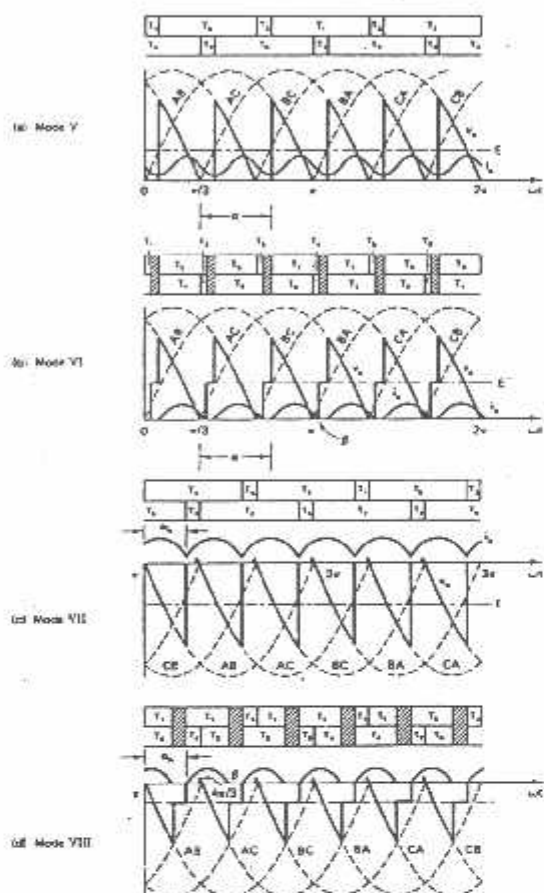
##### 3.1.1 Model Penyearah Tiga Fasa Dalam Mencatu Motor DC

Rangkaian penyearah tiga fasa terkontrol penuh (enam pulsa) dalam mencatu motor DC penguatan terpisah dapat dilihat pada gambar 3.1



Gambar 3.1 Penyearah Tiga Fasa Terkontrol Penuh Dengan Beban Motor DC

Cara kerjanya dapat kita lihat pada bab II sebelumnya. Sedangkan dalam menganalisa bagaimana penyebar tiga fasa memcatu motor DC, maka ada empat kondisi yang harus diperhatian, kondisi tersebut dijadikan dalam sebuah model. Untuk lebih jelasnya model-model tersebut dapat kita lihat pada gambar dan tabel:



Gambar 3.2 Model Operasi Penyebar Tiga Fasa Terkontrol Penuh Dengan Beban Motor Arus Searah

Model	Arus Motor	Kerja motor
I	Konduksi Kontiyu	Motoring
II	Konduksi Diskontiyu	Motoring
III	Konduksi Kontiyu	Pengereman
IV	Konduksi Diskontiyu	Pengereman

Tabel 3.1 Kerja Motor DC Dengan Mencatu Penyebar Terkontrol Penuh

## Model I

Tegangan keluaran dari  $\omega_1 = \alpha + \pi/3$  sampai  $\omega_1 = \alpha + 2\pi/3$  dapat ditentukan :

Dimana :

$$V_{\text{out}} = \frac{V_{\text{in}}}{n}$$

Pada arus penguatan  $I_t$  konstan, maka dari persamaan (2.26) dan (3.1) didapatkan nilai

$$\omega_a = \frac{w_a}{a} \cos \alpha - \frac{p_a}{a^2} T_a \quad \text{rad/det} \quad (3.2)$$

Model II

Tegangan keluaran dari  $\omega t = \alpha + \pi/3$  sampai  $\omega t = \alpha + 2\pi/3$  dapat ditentukan dengan

$$V_2 = L_x \frac{\dot{\phi}_2}{\omega} + R_x I_x + K \omega_2 = V_2 \sin \phi_2, \quad V_2 (\alpha + \frac{\pi}{2}) \leq \phi_2 \leq \beta \quad (2.3)$$

solusi persamaan differensial diatas

$$i_c(\omega t) = \frac{V_{ac}}{Z} \sin(\omega t - \psi) + A_c \exp\left\{-\left(\frac{R_c}{Z}\right)t\right\} - X_m \quad (3.4)$$

dengan  $Z \equiv \sqrt{r^2 + (\alpha L)^2}$

Konstanta  $A_1$  pada persamaan (3.4) dapat ditentukan dengan mengambil kondisi awal  $i(\pi/3 + \alpha)$ .

$$A_1 = \left[ i_a \left( \frac{\pi}{3} + \alpha \right) + \frac{k \omega_m}{R_0} - \frac{v_a}{Z} \sin \left( \frac{\pi}{3} + \alpha - \psi \right) \right] \\ \exp \left\{ \left( \frac{h_a}{R_0} \right) \left( \frac{\pi/3 + \alpha}{\phi} - t \right) \right\} - \frac{\pi v_a \omega_m}{E_p} \quad A \quad (3.5)$$

Subtitusi persamaan (3.5) kedalam persamaan (3.4), menghasilkan

$$i_a \omega t = \frac{r_n}{Z} \sin(\alpha t - \psi) + \left[ i_a \left( \frac{v}{Z} + \alpha \right) + \frac{k_{ea}}{R_e} - \frac{r_n}{Z} \sin\left(\frac{v}{Z} + \alpha + \psi\right) \right] \exp\left(\frac{R_e}{r_n}\left(\frac{\pi}{v} - t\right)\right) - \frac{k_{ea}}{R_e} \quad A \quad (36)$$

untuk  $I_c(\omega t) = i_c(\alpha - \pi/3)$ , maka

$$I_2(\omega) = \frac{\alpha}{\pi} [\sin(\omega t - \varphi) + \sin(\omega t + \varphi)] \exp[i(\omega t + \varphi - \omega x) + \varphi] - \frac{h_m}{R} \quad A \quad (3.7)$$

dari persamaan (3.7) diatas nilai  $\beta$  dapat dicari dengan  $I_1(\beta) = 0$ , sehingga

$$\begin{aligned} & \frac{V_a}{\omega} [\sin(\beta - \psi) - \sin(\alpha - \frac{\pi}{3} - \psi) \exp\{(\alpha + \frac{\pi}{3} - \beta) \cot \omega t\}] \\ & = \frac{K \omega_m}{R_c} [1 - \exp\{(\alpha + \frac{\pi}{3} - \beta) \cot \omega t\}] \quad A \dots \dots \dots (3.8) \end{aligned}$$

Dengan metode iterasi(coba-coba) nilai  $\beta$  dapat diketahui

Setelah nilai  $\beta$  didapat, maka

$$\begin{aligned} V_a &= \frac{1}{\omega} \left[ \int_{\alpha + \frac{\pi}{3}}^{\beta} V_m \sin \omega t d(\omega t) + \int_{\beta}^{\alpha + \frac{2\pi}{3}} K \omega m d(\omega t) \right] \\ &= \frac{3}{\pi} [V_m \{\cos(\alpha + \frac{\pi}{3}) - \cos \beta\} + K \omega_m (\alpha + \frac{2\pi}{3} - \beta)] \quad V \dots \dots \dots (3.9) \end{aligned}$$

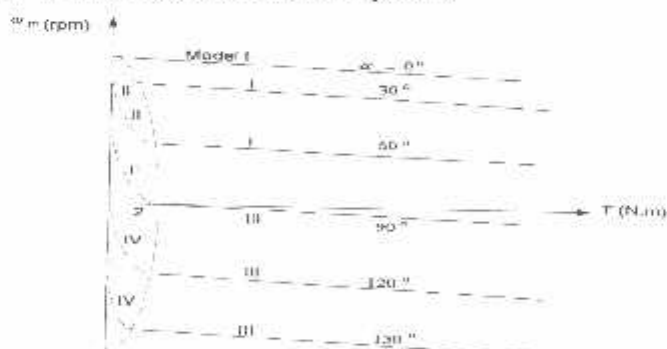
dari persamaan(2.26) dan persamaan (3.9)

$$\omega_m = \frac{V_m \{\cos(\alpha + \pi/3) - \cos \beta\}}{\zeta(\beta - \alpha - \pi/3)} - \frac{\pi I_a}{3 \omega^2 (\beta - \alpha - \pi/3)} T_a \quad rad/dct \dots \dots \dots (3.10)$$

Pengujian bentuk gelombang  $V_a$  dan  $I_a$  dari model III dan IV mempunyai persamaan yang tidak berbeda dengan persamaan pada model I dan II. Persamaan (3.1) dan (3.2) dapat diterapkan persamaan model III, sedangkan persamaan (3.3) sampai (3.10) dapat diterapkan pada model IV. Hanya saja pada model III dan IV,  $E$  dan  $V_a$  bermakna negatif sehingga motor melakukan kerja sebagai penggeraman regeneratif. Pada operasi empat kuadran kecepatan motor negatif(mundur), sedangkan pada operasi dua kuadran, maka nilai  $K$  yang diambil negatif.

### 3.1.2 Karakteristik Mekanik Motor DC Yang Dicatu Penyearah Tiga Fasa

Berikut ini adalah karakteristik kecepatan dan torsi pada motor DC yang dicatu oleh penyearah tiga fasa terkontrol penuh.



Gambar 3.3 Kurva Kecepatan-Torsi Dari Pengendali Penyearah Tiga Fasa Terkontrol Penuh

Pada gambar diatas daerah diskontinyu ditampakkan oleh garis putus-putus.

Pada operasi motor tanpa beban  $E = V_m$  untuk  $0 \leq \alpha \leq \pi/6$  radian. Dan  $E = V_m \sin(\alpha + \pi/3)$  untuk  $\pi/6 \leq \alpha \leq \pi$  radian. Maka kecepatan tanpa beban dapat dicari:

$$\omega_{m0} = \frac{V_m}{R_a}, \quad 0 \leq \alpha \leq \pi/6 \quad \text{rad/det} \quad \dots \dots \dots \quad (3.11)$$

$$\omega_{m0} = \frac{V_m \sin(\alpha + \pi/3)}{R_a}, \quad \pi/6 \leq \alpha \leq \pi \quad \text{rad/det} \quad \dots \dots \dots \quad (3.12)$$

Ketika beroperasi pada model II, batas konduksi antara kontinyu dan diskontinyu ditandai dengan tampaknya sudut pemadaman  $\beta$  pada titik  $\alpha + 2\pi/3$ , disubtitusikan nilai  $\beta$  ini pada persamaan (3.8) akan menghasilkan kecepatan kritis  $\omega_{m0}$ , sedangkan torsi kritis  $\tau_{m0}$  dapat dicari melalui persamaan (3.2).

Untuk tegangan ternomalisasi diambil  $V_R$  yang sama dengan nilai maksimum dari rata-rata tegangan keluaran penyearah  $V_{av}$  (pada persamaan 3.1), sedangkan arus ternomalisasi dipilih dari arus rata-rata yang mengalir saat  $\omega_m = 0$  dan  $V_u = V_b$  sehingga

$$V_B - V_{av} = \frac{3V_m}{\pi} \quad V, \quad \text{dan} \quad I_B = \frac{V_B}{R_a} = \frac{V_{av}}{R_a} = \frac{3V_m}{\pi R_a} \quad A \quad \dots \dots \dots \quad (3.13)$$

maka kecepatan ternomalisasi  $\omega_{m0}$  dan torsi ternomalisasi  $\tau_{m0}$  diberikan oleh persamaan :

$$\omega_{m0} = \frac{E}{R_a} = \frac{V}{V_{av}} = \frac{\pi}{3V_m}, \quad \text{dan} \quad \tau_{m0} = \frac{I_B}{R_a} = \frac{\omega_{m0}}{\pi R_a} (I_B) \quad \dots \dots \dots \quad (3.14)$$

batas ini dapat digunakan untuk membantu dalam menghitung performansi dari motor dan memilih filter induktansi agar dapat mengeliminasi kondisi diskontinyu pada pengendalian saat *steady-state*.

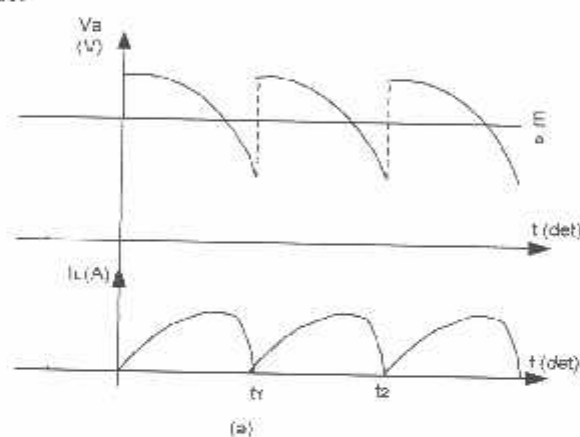
### 3.1.3 Induktor Arus Kontinyu

Untuk mendesain sesuatu penyearah yang baik harus mengetahui kondisi kerja dan mengetahui kondisi kerja dan mengetahui tegangan keluarannya sebagai fungsi  $\alpha$ . Karakteristik dari motor yang bagian jangkarnya disiplai penyearah tiga fasa terkontrol penuh atau konverter enam pulsa mempunyai daerah konduksi kontinyu dan konduksi diskontinyu, seperti yang terlihat pada gambar (3.3). Daerah konduksi kontinyu lebih luas dari pada daerah konduksi diskontinyu,

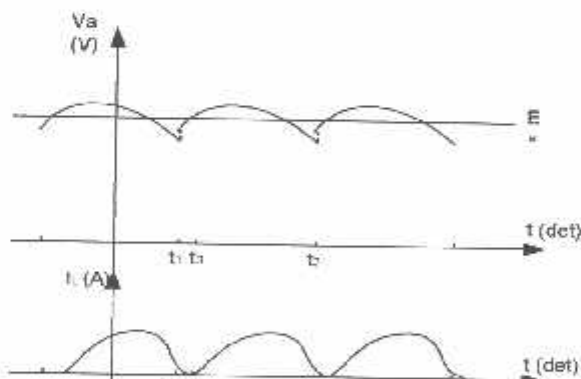
daerah ini akan bertambah jika diberikan induktansi yang dipasang pada rangkaian jangkar. Penentuan besarnya nilai induktansi yang tepat akan meningkatkan performansi dari sistem pengendalian.

Untuk penyebaran terkontrol dengan sudut penyalaan nol, *ripple* dari tegangan keluaran relatif kecil dan induktansi yang dibutuhkan untuk menjaga arus tetap kontinyu juga kecil. Tetapi dengan bertambahnya sudut penyalaan  $\alpha$ , *ripple* tegangan juga bertambah dan penambahan nilai induktansi juga diperlukan untuk menjaga konduksi kontinyu pada beban minimum.

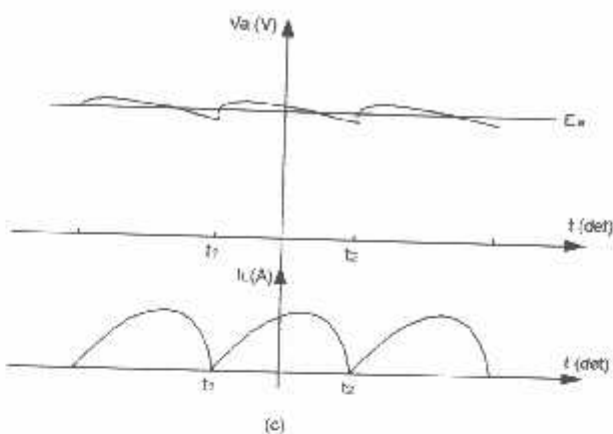
Dalam menganalisa, pertama kali diambil nilai dimana saat GGL lawan sama dengan tegangan rata-rata jangkar dari motor karena nilai induktor minimum dapat ditentukan dari sini. Gambar (3.4a) menunjukkan penyebaran terkontrol tiga fasa dimana arus induktor menjadi nol pada akhir interval konduksi dari masing-masing thyristor.



(a)



(b)



Gambar (3.4) a) *Switching Pada Saat Tegangan Sumber Lebih Besar Dari Tegangan Rata-rata*

b) *Switching Pada Saat Tegangan Sumber Lebih Kecil Dari Tegangan Rata-rata*

c) *Switching Pada Saat Tegangan Sumber Sama Dengan Tegangan Rata-rata*

Pada gambar (3.4a) tegangan sumber pada saat *switching* lebih besar dari pada rata-rata tegangan keluaran  $E_a$ , kondisi ini menunjukkan  $i_L$  bertambah untuk  $\omega t > \alpha$  dan nilai minimum  $i_L$  terjadi pada saat *switching*.

Kemungkinan kedua sumber tegangan pada saat *switching* kurang dari rata-rata tegangan output  $E_a$  pada saat ini  $i_L$  akan berkurang untuk sesaat seperti yang terlihat pada gambar(3.4b), nilai minimum  $i_L$  tidak terjadi pada saat *switching* namun sesaat kemudian yaitu  $t_3$ .

Sekarang terlihat nilai  $\alpha$  dibatasi oleh dua nilai. Pada gambar (3.4c),  $t_1$  merupakan waktu saat sudut penyalaan dinyalakan, sehingga dengan menggunakan persamaan (3.1) nilai  $\alpha$  dapat ditentukan sebagai

$$V_m \cos \omega t_1 = E_a = \frac{3V_m}{\pi} \cos \alpha \quad V \quad \dots\dots\dots (3.15)$$

$$\text{atau } \cos(\alpha - \frac{\pi}{6}) = \frac{3}{\pi} \cos \alpha \quad \dots\dots\dots (3.16)$$

melalui perhitungan iterasi\* maka didapat  $\alpha = 10,08^\circ$ .

Dalam mencari nilai inductor kritis  $L$  yaitu nilai inductor minimal yang didapat membuat jangkar kontinyu ( $L = L_a + L_c$ , dengan  $L_c$  induktor tambahan), maka ada dua keadaan yang harus dianalisa :

- a) Untuk nilai  $\alpha > 10,08^\circ$

penulisan ini dimulai dari penentuan  $i_a$  yang memiliki nilai sama dengan  $i_L$  selama konduksi

$$\frac{di_L}{dt} = \frac{V_m \cos \omega t - E_a}{L} \quad A/\text{det} \quad \dots \dots \dots \quad (3.17)$$

Nilai dari  $i_L$  adalah nol pada saat switching, seperti yang ditunjukkan pada gambar (3.4a) penyelesaian dari persamaan (3.17) diberikan oleh

$$i_L = \int_{t_1}^t \frac{V_m \cos \omega t - E_a}{L} dt$$

$$i_L = \left( \frac{1}{\omega L} \right) [(\sin \omega t - \sin \omega t_1) - \left( \frac{3}{\pi} \cos \alpha \right) (\omega t - \omega t_1)] \quad A \quad \dots \dots \dots \quad (3.18)$$

Dengan mensubstitusikan persamaan (3.15) kedalam persamaan (3.18) maka

$$i_L = \left( \frac{V_m}{\omega L} \right) [(\sin \omega t - \sin \omega t_1) - \left( \frac{3}{\pi} \cos \alpha \right) (\omega t - \omega t_1)] \quad A \quad \dots \dots \dots \quad (3.19)$$

nilai dari  $i_L$  akan nol pada saat  $t_2$ , dimana  $\pi/3$  kemudian dari  $t_1$ , nilai ini dapat disubtitusikan ke dalam  $t$ , sehingga  $t = (t_1 + \pi/3)$ .

Nilai rata-rata dari  $i_L$  selama konduksi, yaitu  $t_1 = (\alpha + \pi/6)/\omega$  sampai  $t_2 = (\alpha + \pi/6)/\omega$ . Dapat dicari dengan mengintegralkan persamaan (3.16).

$$I_L \left( \frac{\sin \omega t}{\omega L} \right) \int_{t_1}^{t_2} \left[ (\sin \omega t - \sin \omega t_1) - \left( \frac{3}{\pi} \cos \alpha \right) (\omega t - \omega t_1) \right] dt \\ I_L = \frac{3\sqrt{3}}{\pi \omega L} \left[ \left( 1 - \frac{3}{2\sqrt{3}} \right) \sin \alpha \right] \quad A \quad \dots \dots \dots \quad (3.20)$$

Rata-rata nilai arus inductor tergantung pada nilai beban resistif, sehingga

$$I_L = \frac{V_m}{R_o} = \frac{\frac{3V_m \cos \alpha}{\pi}}{r_o} A \quad \dots \dots \dots \quad (3.21)$$

Dengan menggunakan persamaan (3.20) dan (3.21), maka induktansi kritis dapat ditentukan :

$$\frac{m}{R_o} = 0.0931 \tan \alpha$$

b) untuk nilai  $\alpha < 10.08^\circ$

Pada analisa ini dimana waktu untuk  $i_L$  menjadi nol tidak lagi pada saat switching sebagaimana ditunjukkan pada gambar (3.4b). persamaan (3.19) dapat kembali sebagai

$$i_L = \left( \frac{V_m}{\omega L} \right) [(\sin \omega t - \sin \omega t_3) - (\frac{1}{\pi} \cos \alpha)(\omega t - \omega t_3)] A \quad \dots \dots \dots \quad (3.22)$$

Dengan mengintegralkan persamaan diatas dapat ditemukan nilai rata-rata dari  $i_L$ .

$$i_L = \left( \frac{6V_m}{\pi \omega L} \right) \int_{t_1}^{t_2} \left[ (\sin \omega t - \sin \omega t_3) - (\frac{1}{\pi} \cos \alpha)(\omega t - \omega t_3) \right] dt A \quad \dots \dots \quad (3.24)$$

$$i_L = \frac{3V_m}{\pi \omega L} [\sin \alpha - \frac{1}{3} \sin \omega t_3 + (\omega t_3 - \alpha) \cos \alpha] A \quad \dots \dots \quad (3.25)$$

Dari sini persamaan (3.21) masih dapat diturunkan, kombinasi persamaan (3.21) dan (3.25) menghasilkan

$$\frac{\omega t_3}{R_o} = \tan \alpha - \left( \frac{\pi \sin \alpha V_m}{3 \cos \alpha} \right) + \omega t_3 - \alpha \quad \dots \dots \quad (3.26)$$

Dari persamaan (3.26),  $\omega t_3$  bermakna negatif. Pada grafik dalam gambar (3.4b) tegangan jangkar direpresentasikan oleh fungsi cosinus dan  $t_3$  yang dihasilkan harus bermakna negatif, maka  $t_3$  dapat ditentukan :

$$V_m \cos \omega t = V_m \cos \omega t_3 = \frac{3V_m}{\pi} \cos \alpha \quad V \quad \dots \dots \quad (3.27)$$

Dan

$$\omega t_1 = \cos^{-1} \left( \frac{3}{\pi} \cos \alpha \right) \quad \text{rad} \quad \dots \dots \dots \quad (3.28)$$

Pada persamaan (3.28) ini, negatif dapat dipilih dari nilai ganda pada *invers cosinus*.

### 3.2 Cara Kerja Motor DC Konverter Ganda Empat Kuadran

Motor DC dapat dioperasikan dalam empat kuadran mode operasi dengan mengatur besarnya tegangan jangkar serta mengubah-ubah polaritas tegangan jangkarnya, seperti pada Gambar 3.5. Mode operasi pada motor DC penguatan terpisah dan motor DC penguatan sendiri sama. Mode operasi motor DC empat kuadran yaitu:

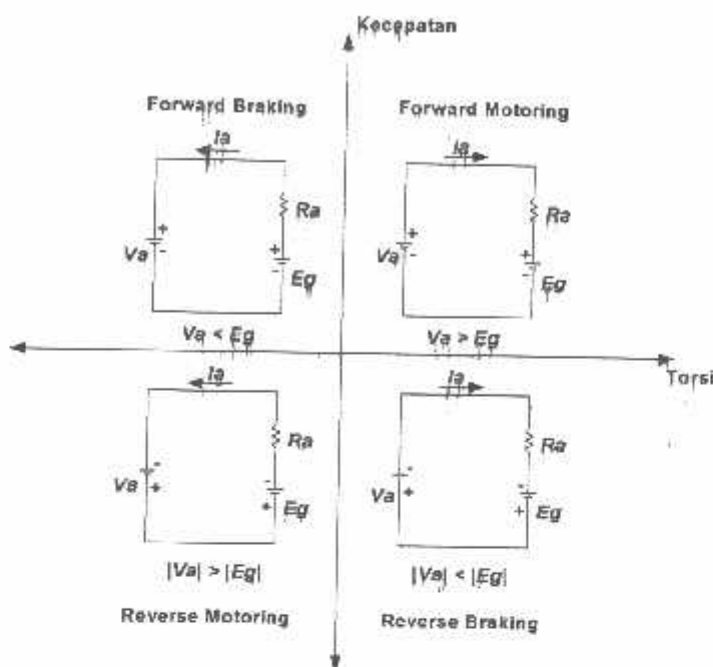
Kuadran I: Motor berputar maju karena  $V_a$  lebih besar dari pada  $E_a$  sehingga arah arus jangkar dari kutub positif ke kutub negatif, arah putaran motor dan torsinya searah.

Kuadran II: Motor melakukan penggereman arah putaran maju karena  $V_a$  lebih kecil dari pada  $E_a$  sehingga motor akan bekerja sebagai generator dan mengembalikan energi ke sumber. Torsi yang timbul berlawanan dengan arah putaran sehingga disebut torsi penggereman.

Kuadran III: Motor berputar mundur karena polaritas sumber dibalik,  $V_a$  lebih besar dari pada  $E_a$ . Arah arus jangkar dari kutub positif ke kutub negatif. Torsi yang ditimbulkan searah dengan arah putarannya.

Kuadran IV: Motor melakukan penggereman arah putaran mundur,  $V_a$  lebih kecil daripada  $E_a$  sehingga arus mengalir dari  $E_a$  ke  $V_a$  dan motor bekerja sebagai generator.

Dengan pengaturan tegangan jangkar tersebut maka motor dapat berputar dalam dua arah dan dapat melakukan penggereman dalam dua arah putaran tersebut. Mode operasi dalam empat kuadran dapat dilihat pada Gambar 3.5.



Gambar 3.5 Mode Operasi Motor DC Konverter Ganda Empat Kuadran

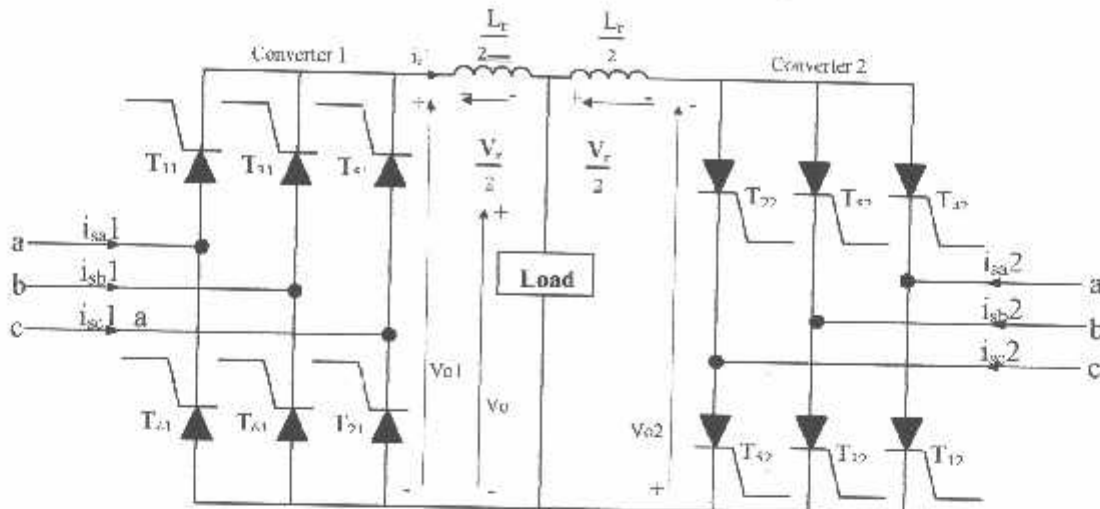
Kuadran	Kerja Motor	Polaritas tegangan sumber	Arah Arus Sumber
I	Motor Maju	Positip	Positip
II	Pengereman Maju	Positip	Negatip
III	Motor Mundur	Negatip	Negatip
IV	Pengereman Mundur	Negatip	Positip

Tabel 3.2 Kerja Motor DC Dalam Konverter Ganda Empat Kuadran

### 3.3 Pengendalian Motor DC Dengan Konverter Ganda

Pada pengendalian kecepatan motor DC biasanya diperlukan konverter yang dapat menjalankan motor dalam arah yang berlainan. Dalam memenuhi kerja empat kuadran, salah satunya dapat dilakukan dengan menghubungkan dua buah konverter tiga fasa yang dirangkai secara anti pararel dan diantaranya dipasang beban yang dalam hal ini motor DC. Rangkaian ini kemudian disebut dengan konverter ganda.

Rangkaian ganda konverter tiga fasa dapat dilihat pada gambar 3.6



Gambar 3.6 Rangkaian Daya Converter Ganda

Pada masing-masing konverter mempunyai enam SCR konverter yang konduksi pada saat motor berputar maju dinamakan konverter 1 (konverter positif) sedang konverter yang konduksi pada saat motor berputar mundur dinamakan konverter 2 (konverter negatif).

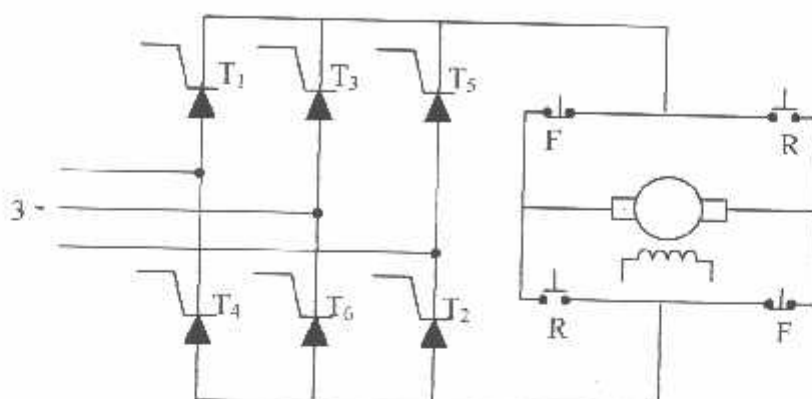
Dalam dua buah konverter diatas, tegangan dan arus dapat mempunyai polaritas yang berlainan. Keluaran masing konverter mempunyai polaritas yang sama dihubungkan ke reaktor tap tengah (mid point reactor). Jika diasumsikan konverter ideal, ripple dari tegangan keluaran diabaikan maka tegangan keluaran masing-masing konverter harus sama dengan tegangan beban.

Pada konverter ganda penyearah positif, bekerja pada kuadran pertama dan keempat, sedang penyearah negatif bekerja pada kuadran kedua dan ketiga. Konverter ganda memungkinkan beroperasi dengan arus sirkulasi atau tanpa arus sirkulasi.

### 3.3.1 Pengendalian Tanpa Arus Sirkulasi

Konverter ganda tanpa arus sirkulasi, pada waktu tertentu hanya satu konverter yang bekerja untuk menyuplai arus beban, sementara konverter yang lainnya di blok melalui sudut penyalaannya. Dalam pengendalian ini tidak diperlukan reactor antara kedua konverter.

Karena hanya satu konverter yang bekerja pada waktu tertentu maka kerja dari konverter ganda tanpa arus sirkulasi ini dapat di ilustrasikan seperti kontaktor pembalik tegangan jangkar gambar 3.7



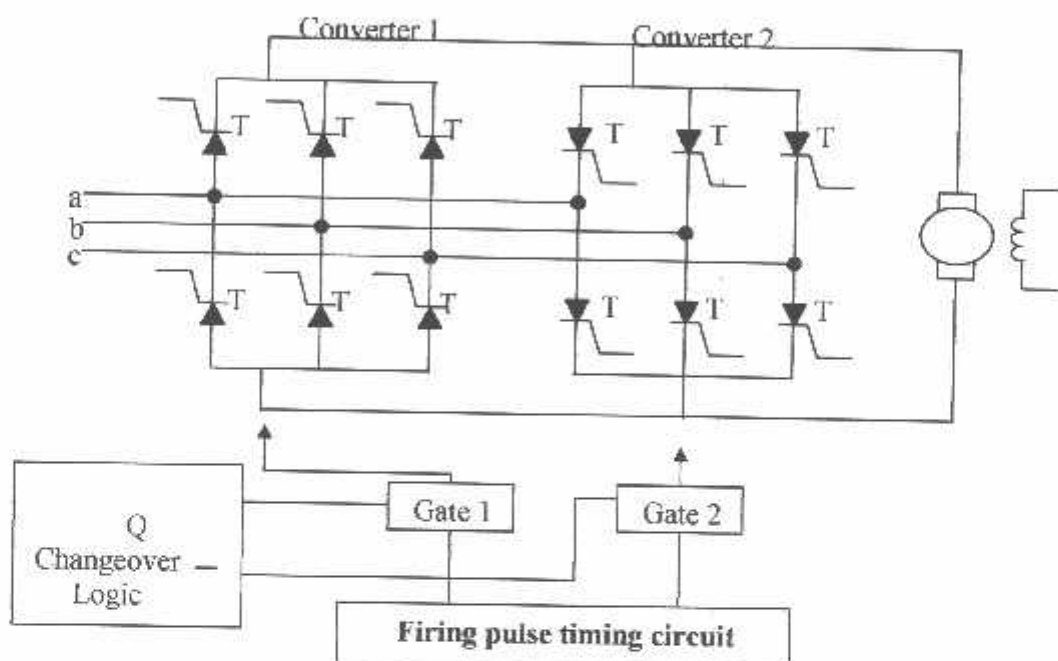
Gambar 3.7 Kontaktor Pembalik Tegangan Jangkar

Dari gambar 3.7 terlihat bahwa pada saat tertentu kerja dari konverter ganda tanpa arus sirkulasi tidak berbeda dengan penyebaran tiga fasa, yang diatas sudah kita bahas.

Dalam pengendalian tanpa arus sirkulasi ini pembalikan arus putaran dapat dilakukan sebagai berikut. Pada saat motor beroperasi dikuaradran satu konverter positif akan dikontrol dan pulsa penyalaan pada konverter negatif akan diblok. Untuk mengganti arah kecepatan pada arah mundur, operasi tersebut dilakukan dengan memindahkan *switch* dari konverter positif ke konverter negatif. Sebelum konverter negatif diaktifkan semua thyristor dalam konverter positif harus dipastikan padam. Hal ini dilakukan untuk menghindari adanya arus sirkulasi yang besar karena tidak adanya reactor arus sirkulasi sebagai pembatas. Arus sirkulasi yang besar ini dapat merusak thyristor dalam konverter. Setting sudut penyalaan konverer positif pada nilai tertinggi menyebabkan arus jangkar diturunkan menjadi nol. Pada keadaan normal membutuhkan waktu berhenti sepuluh sampai dua puluh mili per detik. Ini untuk memastikan thyristor pada konverter positif tersebut padam. Sekarang pulsa penyalaan beralih dari konverter positif ke konverter negatif kemudian konverter negatif dapat diatur melalui sudut penyalaan  $\alpha_2$ .

Kecepatan respon dari metode pengendalian ini kurang baik karena harus mempertimbangkan pengaruh dari waktu berhenti motor. Dalam pengendalian performansi tinggi ini harus dikurangi sampai kemilai minimum. Besarnya nilai waktu berhenti tergantung pada tingkat ketelitian suatu alat yang dapat mendeteksi arus nol. Thyristor sendiri hanya membutuhkan waktu sekitar 50-100 mikrodetik untuk konduksi.

Pengendalian tanpa arus sirkulasi dilengkapi dengan kontrol rangkaian logika seperti pada gambar 3.8.



Gambar 3.8 Pengendalian Konverter Ganda Tanpa Arus Sirkulasi

Pada gambar yang ditentukan besar sudut penyalaan disetting melalui blok rangkaian yang berlabel "firing pulse timing circuit" karena hanya satu gate yang dapat aktif diatur maka diperlukan blok rangkaian yang berlabel "changeover logic" untuk menentukan gate mana yang bekerja sesuai dengan polaritas beban yang diinginkan.

Sistem dapat bekerja dengan baik tergantung pada ketelitian dan kecepatan dari rangkaian "changeover logic" yang dapat memastikan pergantian sudut penyalaan pada masing-masing konverter, konverter positif berfungsi sebagai

penyacara pada penggendarian motor arah maju, sekarang dibutuhkan kecepatan khusus untuk membalik arah putaran. Dengan merubah input berupa *set point*, maka sudut penyalaan dari konverter positif bertambah dan menyebabkan tegangan berkurang sehingga arus jangkar menjadi nol. Deteksi arus nol dalam rangkaian motor akan memerintah *changeover logic* menganti blok sudut penyalaan dari konverter positif ke negatif diaktifkan, sebagai proteksi diperlukan beberapa waktu milidetik sebagai waktu tunda setelah arus nol terdeteksi sebelum sudut penyalaan dari converter negatif diaktifkan.

Deteksi *changeover logic* dapat berkerja dengan baik saat arus motor konduksi kontinyu, namun pada saat arus motor konduksi diskontinyu *changeover logic* tidak dapat berkerja dengan baik karena deteksi arus nol hanya diinginkan sebagai perintah untuk membalik arah putar saja. Pada arus motor konduksi diskontinyu rangkaian kontrol akan menjadi lebih kompleks selain respons kurang baik. Untuk mempercepat pembalikan arah arus sesuai yang diinginkan maka konverter ganda dapat dioperasikan dalam model pengendalian dengan arus sirkulasi.

### **3.3.2 Pengendalian Dengan Arus Sirkulasi**

Arus sirkulasi memungkinkan mengalir pada dua konverter yang dihubungkan secara anti pararel jika kita mengatur sudut penyalaan kedua konverter pada saat yang bersamaan, beda tegangan sesaat antara tegangan keluaran masing-masing konverter menyebabkan arus sirkulasi yang mengalir melalui kedua konverter tersebut. Arus dikendalikan dengan mengatur sudut penyalaan, apabila  $\alpha_1$  dan  $\alpha_2$  adalah sudut penyalaan konverter positif dan negatif, dan tegangan puncak *line to line* pada suplai adalah  $V_m$ , maka dari persamaan (2.3) dapat diperoleh

$$\frac{v_x}{\sigma} \cos(\alpha_1) = - \frac{v_x}{\sigma} \cos(\alpha_2) \quad V \dots \quad (3.29)$$

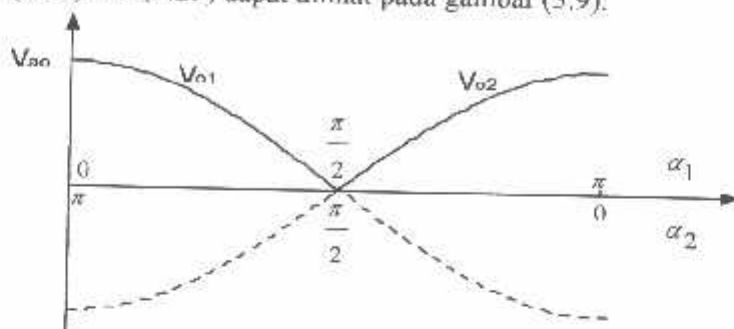
Karena tegangan keluaran pada masing-masing konverter sama sehingga

$$\cos(\alpha_1) = \cos(\pi - \alpha_2)$$

$$\alpha_1 + \alpha_2 = \pi \text{ rad} \quad \dots \dots \dots \quad (3.30)$$

Disini terlihat jumlah dari kedua sudut penyalaan tersebut adalah  $\pi$  radian

Variasi tegangan keluaran terhadap sudut penyalaan masing-masing converter pada persamaan (3.29) dan (3.29) dapat dilihat pada gambar (3.9).



Gambar (3.9) Variasi Tegangan Keluaran Terhadap Penyalaan Pada Konverter Ganda

Dalam konverter ganda sudut penyalaan dari konverter dapat diubah sesuai persamaan (3.30). Sudut penyalaan dikendalikan sehingga konverter positif beroperasi pada kuadran I ( $0^\circ < \alpha < 90^\circ$ ), maka konverter positif bertindak sebagai penyearah dan pada saat itu konverter negatif beroperasi pada kuadran dua ( $90^\circ < \alpha < 180^\circ$ ) dan bertindak sebagai inverter, akan tetapi keduanya akan menghasilkan tegangan keluaran yang sama.

Besarnya arus sirkulasi yang mengalir melalui kedua konverter dapat dihitung sebagai berikut, jika  $V_{o1}$  dan  $V_{o2}$  merupakan tegangan sesaat mulai sepanjang induktor pada interval  $(\pi/6 + \alpha) < \omega t < (\pi/2 + \alpha)$  adalah

$$\begin{aligned} V_t &= V_{o1} + V_{o2} = V_{ab} - V_{bc} \\ &= V_m [\sin(\omega t + \frac{\pi}{6}) - \sin(\omega t - \frac{\pi}{2})] \\ &= \sqrt{3}V_m \cos(\omega t - \frac{\pi}{3}) \quad V \end{aligned} \quad \dots \dots \dots \quad (3.31)$$

Arus sirkulasinya akan dapat diperoleh dari

$$\begin{aligned} I_r(t) &= \frac{1}{j\omega_s} \int_{\frac{\pi}{6} + \alpha}^{\pi/2} V_t d(\omega t) = \frac{1}{j\omega_s} \int_{\frac{\pi}{6} + \alpha}^{\pi/2} \sqrt{3}V_m \cos(\omega t - \frac{\pi}{3}) d(\omega t) \\ &= \frac{\sqrt{3}V_m}{j\omega_s} \left[ \sin(\omega t - \frac{\pi}{3}) - \sin(\alpha) \right] \quad A \end{aligned} \quad \dots \dots \dots \quad (3.32)$$

Arus sirkulasi sesaat bergantung pada sudut penyalan  $\alpha_1$  dan induktansi  $L_c$ .

Walaupun tanpa beban luar konverter akan terus-menerus berkerja karena adanya arus sirkulasi ini sebagai hasil dari tegangan *ripple* sepanjang induktor. Hal ini memungkinkan pembalikan arah arus beban selama perubahan dari satu kuadran ke kuadran lain dan memberikan respon dinamik yang cukup cepat terutama pada penggerak motor elektrik.

Keberadaan arus sirkulasi ini tidak mengalir melalui beban. Pada saat satu konverter sebagai penyuarah maka konverter tersebut dialiri arus sirkulasi dan juga arus beban, sedangkan konverter yang lain yang sebagai inverter hanya dialiri arus sirkulasi saja. Karena arus sirkulasi tidak mengalir melalui beban, maka keberadaan arus ini harus dibatasi. Untuk membatasi arus yang mengalir ini biasanya dipasang *midpoint reactor* yang dinamakan dengan *circulating current reactor*.

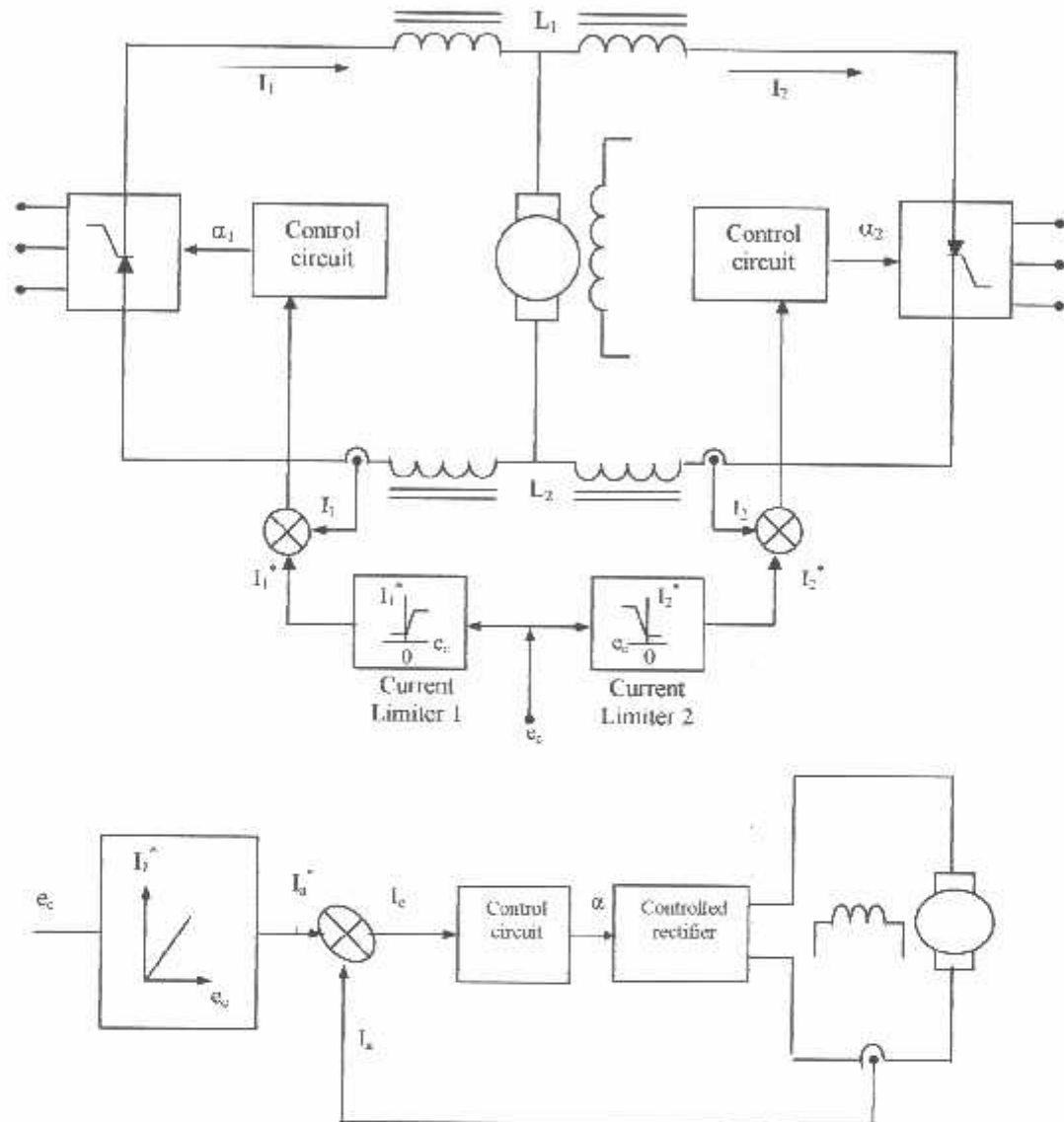
Pengeoperasian dengan arus sirkulasi yang konduksi kontinyu mempunyai beberapa keuntungan :

1. Arus sirkulasi akan memelihara konduksi kontinyu dari kedua converter pada seluruh daerah control tidak tergantung pada beban
2. Karena satu konverter selalu menjadi penyuarah dan lainnya sebagai inverter, aliran daya pada sembarang arah pada sembarang waktu adalah mungkin
3. Karena kedua converter beberapa pada kondisi yang tersambung kontinyu, respon waktu untuk perubahan dari operasi kuadran I ke yang lainnya menjadi cepat

Jadi karakteristik transfer antara tegangan keluaran dan sudut penyalan adalah linier sehingga respon yang dihasilkan sangat cepat. Rangkaian kontrol menjadi sederhana. Arus beban yang beban mengalir pada arah yang berlainan setiap saat menyebabkan pembalikan arah arus dapat berjalan baik.

Sedangkan dampak lain dari arus sirkulasi ini akan mengurangi efisiensi dan faktor daya, meskipun dapat juga di jaga minimum. Disisi lain arus sirkulasi ini harus tetap konduksi kontinyu supaya penyuarah yang lain tetap siap jika terjadi pembalikan arah putaran dengan tanpa adanya waktu berhenti. Jika

penyalaan diatur seperti persamaan (3.30) arus sirkulasi yang besar memungkinkan dapat mengalir, untuk menjaga arus sirkulasi tetap minimum biasanya dua penyalah tersebut dilengkapi dengan rangkaian pengendali arus seperti pada gambar (3.10a)



Gambar (3.10) a. Pengendalian Arus Sirkulasi Dalam Konverter Ganda  
b. Kontrol Loop Arus

Untuk nilai  $e_c$  positif, penyearah memberi arus jangkar dan arus sirkulasi, sedangkan penyearah negatif hanya memberi arus sirkulasi saja, sehingga pembatas arus (*current limiter 2*) pada penyearah negatif diatur kecil (yang disetting melalui arus referensi  $I_2$ ), maka hanya arus sirkulasi yang mengalir, sedangkan untuk  $e_c$  negatif menjadi sebaliknya. Rangkaian kontrol arus pada penyearah seperti pada gambar (3.10b).

Dari dua metode pengendalian diatas maka keuntungan dan kerugian dapat diketahui. Pada pengendalian dengan arus sirkulasi rangkaian controlnya cukup sederhana, konduksi kontinyu dapat terjamin karena kebebasan alamiah dari arus motor untuk menggakir pada arah yang berlaman, sehingga konstanta *gain* dari karakteristik transfer akan terjamin dan pengendaliannya mempunyai tingkat kesstabilan yang baik. Sedangkan kerugiannya bahwa penambahan *circulating current reactor* akan menambah biaya, berat, bunyi bising (*noise*), dan rugi daya, respon transient menjadi lambat karena penambahan konstata waktu, effisen dan akibatnya factor daya akan memburuk pada semua sudut penyalaan.

Pada pengendalian tanpa arus sirkulasi mempunyai keuntungan menambah effidensi dan factor dayanya tinggi, tidak adanya arus dsirkulasi berarti tidak memerlukan *circulating current reactor*, sehingga akan mengurangi biaya, berat , bunyi bising (*noise*), dan rugi daya. Sedangkan kekurangannya adalah pada konduksi diskontinyu kesstabilan kecepatan motor buruk dan menyebabkan karakteristik transfer dari converter tidak linier, adanya waktu berhenti pada saat pemberlak pada arah arus jangkar serta penambahan logika control yang diperlukan untuk mendeteksi arus nol dalam kaitannya dengan waktu berhenti.

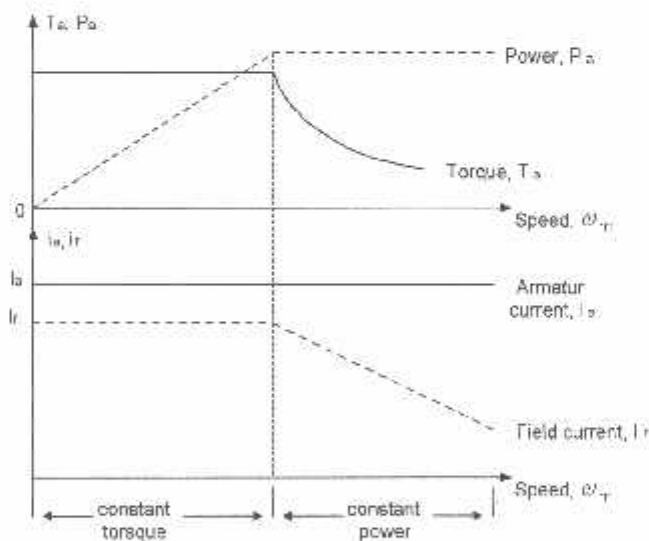
Karena rangkaian control itu cukup komplek, maka adanya waktu berhenti pada pengendalian tanpa arus sirkulasi ini tidak digunakan pada pengendalian perfomansi tinggi. Namun dalam perkembangannya pengunaan rangkaian *intregrated* dan kebih baiknya metode pendekksi arus nol hingga 2-5 milidetik, pengendalian tanpa arus sirkulasi lebih mudah digunakan karena bertambahnya kecepatan respon waktu tunda yang sangat kecil. Sehingga tanpa arus sirkulasi dimasa sekarang pemakaiaannya sangat luas.

### 3.4 Metode Kontroller Ganda

pengaturan kecepatan motor DC menggunakan metode kontoller ganda yang bertujuan untuk memperlebar *range* pengaturan dan juga untuk memaksimumkan kapasitas torsi motor. Dengan kabilitas torsi yang baik diharapkan putaran motor dapat berjalan dengan ketabilan yang baik. Metode pengaturan kecepatan controller ganda ini dilakukan dengan dua cara :

1. Mengatur tegangan jangkar dan menjaga arus medan konstan pada nilai nominalnya pada saat putaran dibawah putaran nominalnya.
2. Mengatur arus medan menjaga tegangan jangkar konstan pada nilai nominalnya. Metode ini diterapkan pada saat diatas putaran nominalnya. Pada pengaturan medan ini tidak dibolehkan kurang 60% dari nilai nominalnya., sebab pada kecepatan diatas kecepatan maksimumnya, gaya putar dapat mempengaruhi komutator dan mengakibatkan motor rusak.

Karena pengaturan tegangan jangkar dan fluksi medan dilakukan secara bergantian, maka diperlukan control ganda. Variasi dari torsi ( $\tau$ ), daya ( $P_m$ ) dan arus medan ( $I_f$ ) dari pengendalian ini dapat diperlihatkan pada gambar (3.11). pada gambar (3.11) terlihat arus jangkar dibuat konstan pada semua kecepatan.



Gambar (3.11) Batas Torsi Dan Pada Pengendalian Kontrol Ganda

Pada gambar diatas terlihat arus jangkar dibuat konstan pada semua kecepatan

## BAB IV

### HASIL PENELITIAN

Pada bab ini akan dilakukan uji simulasi dari dua metode yang telah dibahas, yaitu metode :

1. Pengendalian tanpa arus sirkulasi
2. Pengendalian dengan arus sirkulasi

Kemudian akan dibahas bagaimana mengendalikan kecepatan putar motor DC dengan menggunakan kontroler ganda. Dari pembahasan ini nantinya diharapkan dapat diperoleh batasan-batasan dari pengoperasian motor DC yang digunakan sebagai tolak ukur dalam mendesain rangkaian kontrol.

Pada pengujian ini diambil contoh parameter mesin yang digunakan adalah sebuah motor DC penguatan terpisah, dengan parameter-parameter teraan sebagai berikut:

$$P = 5 \text{ HP} = 3,73 \text{ kW}$$

$$n = 1750 \text{ rpm} = 183,26 \text{ rad/det}$$

$$V_a = 230 \text{ V} \quad R_a = 0,615 \Omega$$

$$I_a = 19 \text{ A} \quad L_a = 0,0045 \text{ H}$$

$$V_f = 230 \text{ V} \quad R_f = 352 \Omega$$

$$I_f = 0,65 \text{ A} \quad L_f = 45 \text{ H}$$

$$J = 0,068 \text{ Kg.m}^2$$

$$B = 0,001 \text{ N.m.det}$$

#### 4.1 Pengendalian Tanpa Arus Sirkulasi

Pada pengendalian tanpa arus sirkulasi hanya satu konverter yang bekerja untuk menyuplai arus beban pada waktu tertentu, sedangkan konverter yang lainnya sementara diblok/ditahan melalui sudut penyalaannya. Melihat kenyataan tersebut kita dapat menganalisa bahwa konverter ganda yang bekerja pada empat kuadran ini sama dengan kerja pencarahan dalam mencatuh motor DC.

Mengacu pada persamaan (2.1), untuk mencatut beban tersebut maka dibutuhkan tegangan sumber:

$$V_a = \frac{3V_m}{\pi} \cos \alpha$$

Tegangan sumber minimum, yaitu dengan menganggap  $\cos \alpha = 1$ , didapat

$$\begin{aligned} V_m &= \frac{V_a \pi}{3} \\ &= \frac{230\pi}{3} = 240,85 \text{ volt} \end{aligned} \quad (4.1)$$

dengan  $V_m$  adalah tegangan maksimum *line to line*.

Pada pengendalian tanpa arus sirkulasi yang perlu diantisipasi adalah keadaan konduksi arus diskontinyu. Pengujian simulasi ini bertujuan untuk mencari batas antara arus konduksi kontinyu dan diskontinyu

Batas dimana dari keadaan konduksi kontinyu dan diskontinyu pada penyebarluasan tiga fasa terkontrol penuh adalah dimulai dengan tampaknya sudut pemadaman  $\beta$  dititik  $2\pi/3 + \alpha$ . Nilai ini dapat disubtitusikan pada Persamaan (2.8) dan menghasilkan putaran motor kritis  $\omega_{mc}$

$$\omega_{mc} = \frac{V_m R_a}{Z K} \left[ \frac{\sin\left(\alpha + \frac{2\pi}{3} - \psi\right) - \sin\left(\alpha + \frac{\pi}{3} - \psi\right) \exp\left\{-\left(\frac{\pi}{3}\right) \cot \psi\right\}}{1 - \exp\left\{-\left(\frac{\pi}{3}\right) \cot \psi\right\}} \right]$$

rad/det

$$\text{dengan } K = \frac{V_a - I_a R_a}{\omega_m}$$

$$K = \frac{230 - 19,065}{183,26} = 1,19 \text{ V/rad/det}$$

$$Z = \sqrt{R_a^2 + (\omega L_a)^2}$$

$$Z = \sqrt{0,615^2 + (2\pi \cdot 50 \cdot 45 \cdot 10^{-3})^2} = 14,15 \Omega$$

$$\psi = \tan^{-1} \left( \frac{\omega L_a}{R_a} \right)$$

$$\psi = \tan^{-1} \left( \frac{2\pi \cdot 50 \cdot 45 \cdot 10^{-3}}{0,615} \right) = 1,527 \text{ rad}$$

Pada sudut penyalaan  $60^\circ$ , putaran kritis motor

$$\omega_{mc} = \frac{240,85}{14,15} \frac{0,615}{1,19} \left[ \frac{\sin 92,49^\circ - \sin 32,49^\circ (0,956)}{1 - 0,956} \right] = 95,86 \text{ rad/det} \dots\dots\dots(4.2)$$

Arus kritis dari motor

$$\begin{aligned} I_{ac} &= \frac{V_a - K\omega_m}{R_a} = \frac{\frac{3}{\pi} V_m \cos \alpha - K\omega_{mc}}{R_a} \\ &= \frac{\frac{3}{\pi} 240,85 \cos 60^\circ - 1,19 \cdot 95,86}{0,615} = 1,31 \text{ amper} \dots\dots\dots(4.3) \end{aligned}$$

Dan torsi kritisnya

$$\begin{aligned} T_{ac} &= KI_{ac} \\ &= 1,19 \cdot 1,31 = 1,56 \text{ N.m} \dots\dots\dots(4.4) \end{aligned}$$

Torsi kritis ialah suatu nilai batas torsi yang dapat mencapai arus dalam keadaan konduksi kontinyu.

#### a) Untuk konduksi diskontinyu ( $T = 1 \text{ N.m}$ )

Operasi konduksi diskontinyu dapat dilihat pada mode II dan mode IV. Dari Persamaan (2.5) didapat

$$\begin{aligned} \frac{V_m}{Z} &\left[ \sin(\beta - \psi) - \sin\left(\alpha + \frac{\pi}{3} - \psi\right) \exp\left(\left(\alpha + \frac{\pi}{3} - \beta\right) \cot \psi\right) \right] \\ &- \frac{K\omega_m}{R_a} \left[ 1 - \exp\left(\left(\alpha + \frac{\pi}{3} - \beta\right) \cot \psi\right) \right] = 0 \quad \wedge \\ \frac{240,85}{14,15} &\left[ \sin(\beta - 87,51^\circ) - \sin 32,49 \exp\left(\left(\frac{2\pi}{3} - \beta\right) 0,043\right) \right] \\ &- \frac{1,19\omega_m}{0,615} \left[ 1 - \exp\left(\left(\frac{2\pi}{3} - \beta\right) 0,043\right) \right] = 0 \quad A \\ 17,02 &\left[ \sin(\beta - 87,51^\circ) - 0,588 \exp(-0,043\beta) \right] \\ &- 1,937\omega_m \left[ 1 - 1,095 \exp(-0,043\beta) \right] = 0 \quad A \dots\dots\dots(4.5) \end{aligned}$$

Sedangkan dari Persamaan (2.7)

$$\begin{aligned}\omega_m &= \frac{V_m \{\cos(\alpha + \pi/3) - \cos \beta\}}{K(\beta - \alpha - \pi/3)} - \frac{\pi R_s}{3K^2(\beta - \alpha - \pi/3)} T_a \\ &= \frac{240,85 \{\cos 120^\circ - \cos \beta\}}{1,19(\beta - 2\pi/3)} - \frac{0,615 \pi s}{3 \cdot 1,19^2 (\beta - 2\pi/3)} (1) \text{ rad/det} \dots \dots (4.6)\end{aligned}$$

Pemecahan secara iterasi<sup>\*</sup> dari Persamaan (4.5) dan (4.6) diatas didapat

$$\beta = 172,31^\circ$$

dengan memasukkan nilai  $\beta$  dari salah satu persamaan diatas maka didapat

$$\omega_m = 148,77 \text{ rad/det}$$

b) Untuk konduksi kontinyu ( $T = 20 \text{ N.m}$ )

Dari Persamaan (2.2)

$$\begin{aligned}\omega_m &= \frac{3V_m}{\pi K} \cos \alpha - \frac{R_s}{K^2} T_a \\ &= \frac{3 \cdot 240,85}{1,19 \pi} \cos 60^\circ - \frac{0,615}{1,19^2} (20) = 87,95 \text{ rad/det} \dots \dots (4.7)\end{aligned}$$

Dari dua contoh diatas terlihat bahwa pada konduksi diskontinyu putaran motor lebih tinggi. Namun demikian pada daerah ini putaran akan cepat berubah terhadap perubahan torsi, sehingga tidak lagi linier.

Pada pengendalian konverter ganda tanpa arus sirkulasi konduksi diskontinyu ini sebisa mungkin dihindari. Untuk mengurangi bahkan mengeliminasi konduksi diskontinyu ini dapat dilakukan dengan dua cara, yaitu

1. Menambahkan torsi beban minimum
2. Menambahkan induktansi tambahan yang dirangkai seri dengan kumparan jangkar

Simulasi dibawah ini akan menjelaskan bagaimana perubahan dari unsur diatas dapat mempengaruhi kondisi arus konduksi kontinyu dan diskontinyu.

Dalam praktisnya biasanya beban dianggap sebagai gangguan (*disturbance*) sehingga sulit untuk dikendalikan. Maka yang sering dilakukan adalah cara kedua yaitu menambahkan induktansi tambahan yang dirangkai seri

\* Program perhitungan iterasi dalam menentukan  $\beta$  dapat dilihat di lampiran I hal 1.6

dengan kumparan jangkar dan menganggap nilai rata-rata beban minimum dari motor sebagai acuan.

Nilai induktansi tambahan yang tepat untuk sembarang sudut penyalaan dapat ditentukan melalui Persamaan (2.20).

$$I_{L_a} = \frac{3V_m}{\pi\omega L} \left[ \left( 1 - \frac{\pi}{2\sqrt{3}} \right) \sin \alpha \right] = I_a \quad A$$

Karena nilai  $T_a = K I_a$ , maka

$$L = \frac{3V_m K}{\pi\omega T} \left[ \left( 1 - \frac{\pi}{2\sqrt{3}} \right) \sin \alpha \right]$$

Seperti pada Gambar 2.3 atau data yang tertera dilampiran, torsi kritis terbesar dicapai pada sudut penyalaan  $\alpha = 90^\circ$  dan jika torsi minimum dipilih  $T = 1 \text{ N.m}$ , maka

$$L = \frac{3240,85 \cdot 1,19}{\pi \cdot 2 \cdot \pi \cdot 50 \cdot 1} \left[ \left( 1 - \frac{\pi}{2\sqrt{3}} \right) \sin 90^\circ \right] = 0,081 \quad H \quad \dots \dots \dots \quad (4.8)$$

Sehingga induktor tambahannya adalah

$$L_c = L - L_a$$

$$L_c = 0,0812 - 0,045 = 0,0362 \quad H \quad \dots \dots \dots \quad (4.9)$$

Dengan menjalankan program yang tertera dalam lampiran<sup>\*)</sup>, Gambar 4.1 akan didapat, garis yang melengkung pada gambar tersebut menunjukkan batas antara konduksi kontinyu dan diskontinyu karena dibentuk dari nilai torsi dan putaran kritis pada semua sudut penyalaan<sup>\*\*)</sup>. Nilai  $L_c$  juga dapat dilihat melalui "saran" yang terlihat setelah program di-running. Nilai ternormalisasi disini diambil dari nilai maksimum suatu besaran. Didalam perhitungan ternormalisasi, ternormalisasi bernilai satu yang menandakan nilai maksimum dari suatu besaran<sup>\*\*\*</sup>).

<sup>\*)</sup> Lihat lampiran I hal L1-L5

<sup>\*\*) Untuk lebih jelasnya dapat dilihat pada Gambar 2.3</sup>

<sup>\*\*\*</sup> Contoh pengambilan nilai ternormalisasi dapat dilihat persamaan (2.13) dan (2.14) hal 25-51

## Pengendalian tanpa arus sirkulasi

### 1. Contoh

Parameter-parameter motor  
Putaran (rpm) = 1750  
Arus Jangkar (A) = 19  
Tegangan Jangkar (V) = 230  
Resistansi Jangkar (ohm) = 0.615  
Induktansi Jangkar (mH) = 45  
Induktansi Tambahan (mH) = 0  
Tegangan Medan (V) = 230  
Resistansi Medan (ohm) = 352  
Induktansi Medan (H) = 45  
Frekuensi (Hz) = 50  
Torsi Jangkar Minimum (N.m) = 1

### 2. Mengisi parameter motor sendiri pilih salah satu (Nomornya saja) = 1

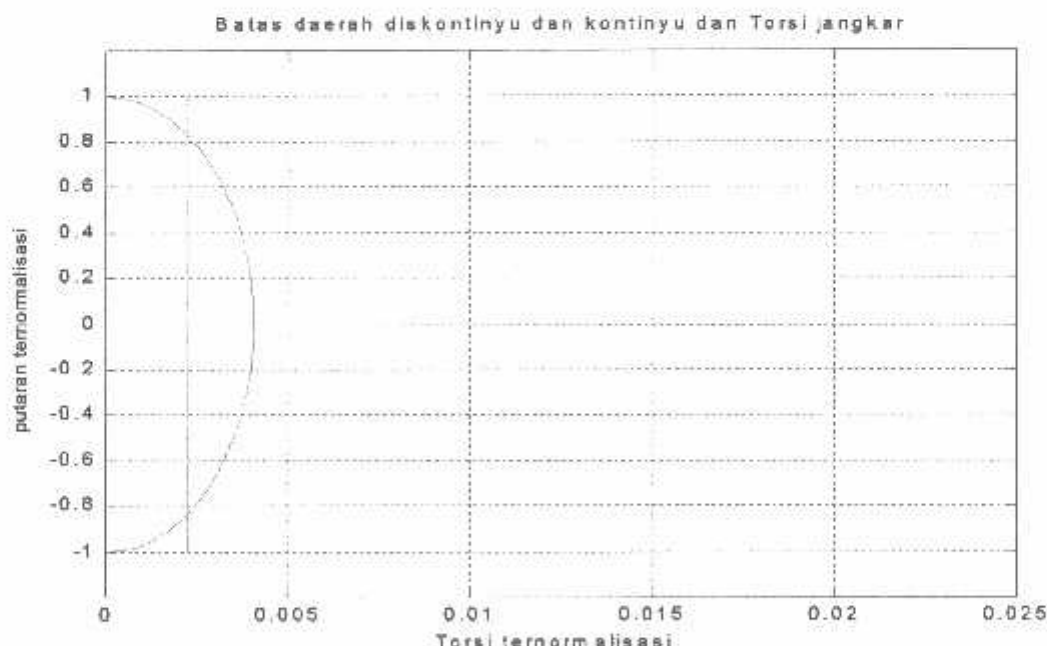
==== Saran ===

Untuk tetap menjaga arus kontinyu pada semua sudut penyalaan  
Tambahkan induktor ,minimal  
 $L_c$  (mH) = 36.1981

Ingin menambahkan Induktor ?

1. ya
2. Tidak

Ya atau Tidak (nomornya saja) =



Gambar 4.1 Karakteristik Mekanik Tanpa Induktor Tambahan

Garis lurus yang berada disebelah kiri dari garis lengkung pada gambar diatas mempresentasikan keadaan arus konduksi diskontinyu karena torsi minimumnya kurang dari nilai torsi kritis. Jika torsi minimum tersebut ditambahkan maka garis lurus tersebut akan bergeser ke kanan. Namun apabila ditambahkan induktansi tambahan yang diseri dengan kumparan jangkar maka batas lengkung tersebut akan bergeser ke kiri. Dalam hal ini besar nilai induktansi tambahan dapat diambil dari "saran" pada program dalam Gambar 4.1, yaitu  $L_c = 36,1981$  mH. Gambar 4.2 adalah menjelaskan bagaimana perubahan itu terjadi.

Pengendalian tanpa arus sirkulasi

=====

1. Contoh

Parameter-parameter motor

Putaran (rpm) = 1750

Arus Jangkar (A)= 19

Tegangan Jangkar (V)= 230

Resistansi Jangkar (ohm) = 0.615

Induktansi Jangkar (mH) = 45

Induktansi Tambahan (mH) = 0

Tegangan Medan (V)= 230

Resistansi Medan (ohm) = 352

Induktansi Medan (H) = 45

Frekuensi (Hz)= 50

Torsi Jangkar Minimum (N.m)= 1

2. Mengisi paramater motor sendiri  
pilih salah satu (Nomornya saja)= 2

Masukkan Parameter-parameter motor

Putaran (rpm) = 1750

Arus Jangkar (A)= 19

Tegangan Jangkar (V)= 230

Resistansi Jangkar (ohm) = 0.615

Induktansi Jangkar (mH) = 45

Induktansi Tambahan (mH) = 36.2

Tegangan Medan (V)= 230

Resistansi Medan (ohm) = 352

Induktansi Medan (H) = 45

Frekuensi (Hz)= 50

Torsi Jangkar Minimum (N.m)= 1

==== Saran ===

Untuk tetap menjaga arus kontinyu pada semua sudut penyalakan  
Tambahkan induktor ,minimal

$L_c$  (mH) = 0.0000

Ingin menambahkan Induktor ?

1. ya
2. Tidak

Ya atau Tidak (nomornya saja) = 2

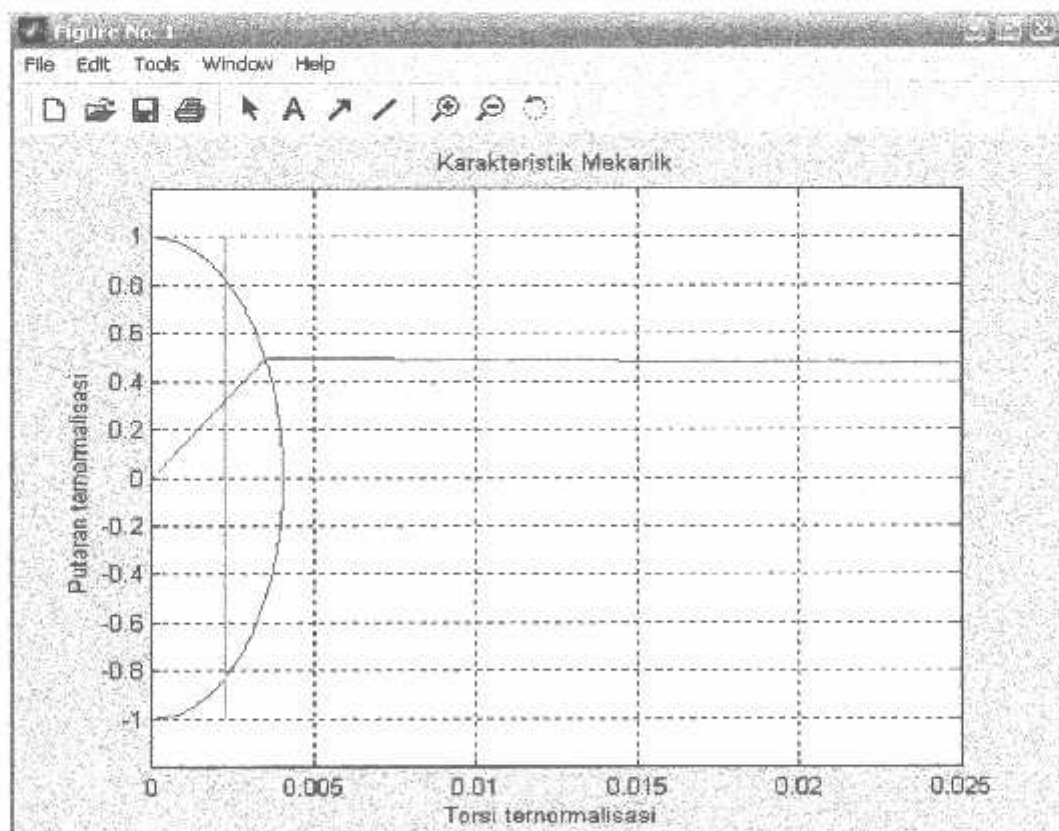
Penentuan nilai induktansi tambahan yang tepat akan memperbaiki performansi dari motor baik kastabilannya, kecepatan responnya maupun efisiensinya.

Pada pengendalian tanpa arus sirkulasi, beban dalam hal ini motor DC akan bekerja pada kuadran I jika sudut penyalaan pada konverter negatif diblok, yaitu disetting pada nilai tertinggi ( $180^\circ$ ) dan sudut penyalaan pada konverter positif diatur. Kerja pada kuadran III dicapai pada saat sudut penyalaan pada konverter positif diblok dan mengatur sudut penyalaan pada konverter negatif. Gambar dibawah ini menunjukkan kerja *motoring* dari motor

Karakteristik mekanik

Masukkan nilai Alpha 0 s/d 180 derajad

Alpha (deg) = 60



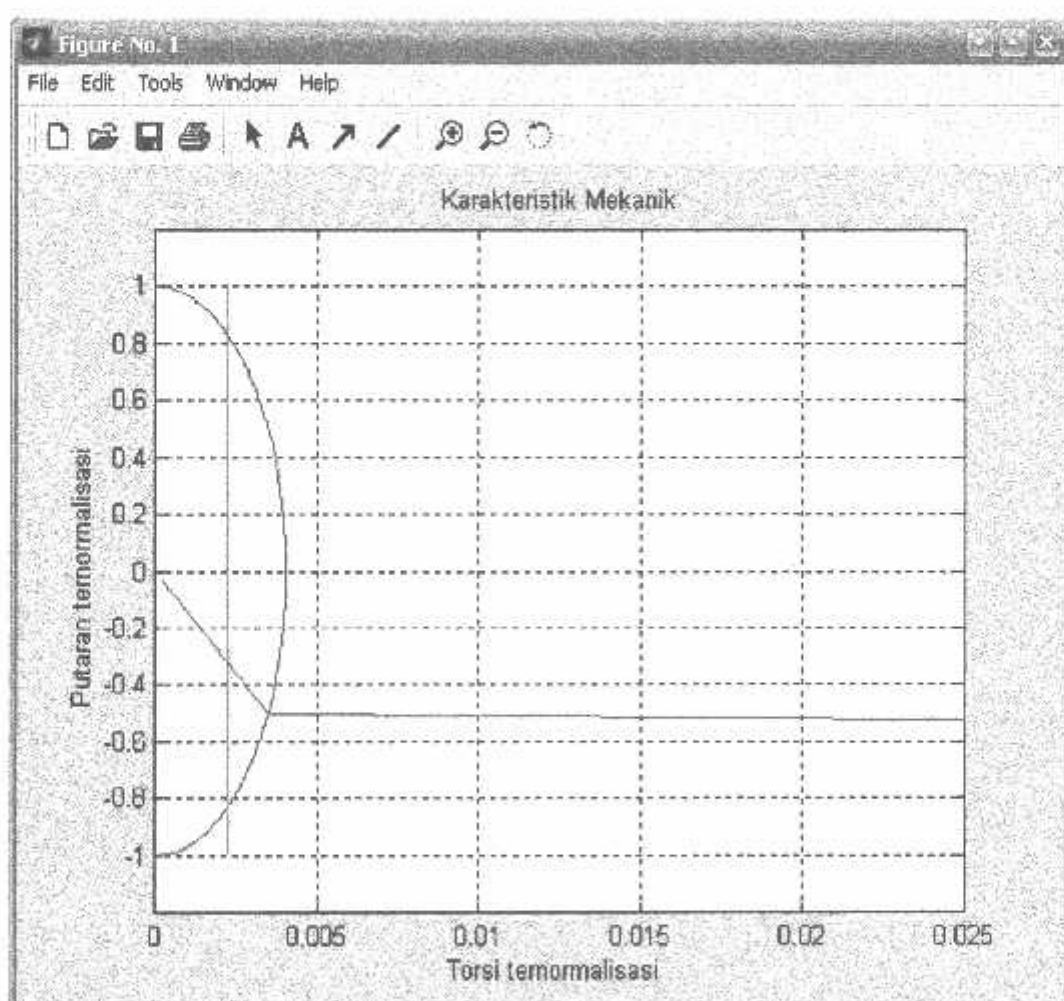
Gambar 4.2 Kerja Motoring

Untuk memperkerjakan motor DC dalam kuadran II dan IV, maka sudut penyalaan diset lebih besar dari  $90^\circ$  dan pada poros motor harus diputar lebih tinggi dari pada putaran motor tanpa beban pada saat dicatuh oleh salah satu konverter diatas. Dengan torsi beban yang lebih besar dari pada torsi jangkar dan searah, maka terjadi pengremahan regeneratif seperti pada Gambar 4.2. Pada kuadran II terjadi pengremahan motor pada arah maju, sedang pengremahan motor pada arah mundur terjadi di kuadran IV.

Karakteristik mekanik

Masukkan nilai Alpha 0 s/d 180 derajat

Alpha (dcg) = 120



Gambar 4.3 Kerja Regenerating

Gambar diatas didapat dengan memberikan sudut penyalaan sebesar  $120^\circ$ .

Sedang dibidang rangkaian kontrolnya, performansi dari pengendalian ini dapat ditingkatkan dengan menambah keakurasan dari kecepatan pendekripsi arus nol yang digunakan sebagai pengambil keputusan untuk memindahkan konverter yang aktif.

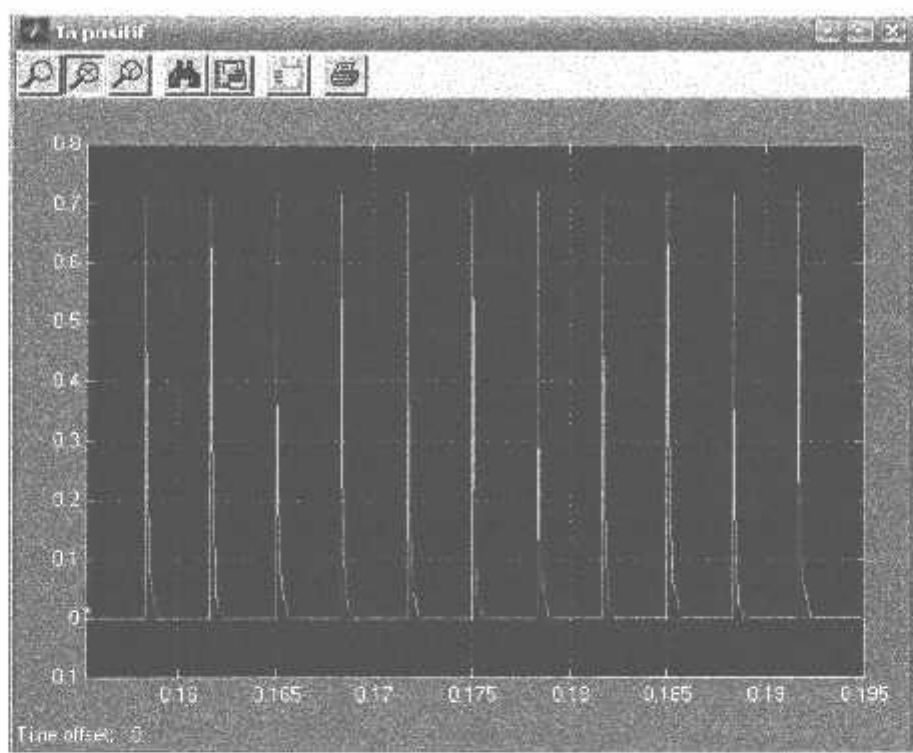
#### 4.2 Pengendalian Dengan Arus Sirkulasi

Pada pengendalian dengan arus sirkulasi dimana sudut penyalaan di setting  $\alpha_1 + \alpha_2 = \pi$ , untuk  $\alpha_1$  dan  $\alpha_2$  berturut-turut merupakan sudut penyalaan konverter positip dan konverter negatip.

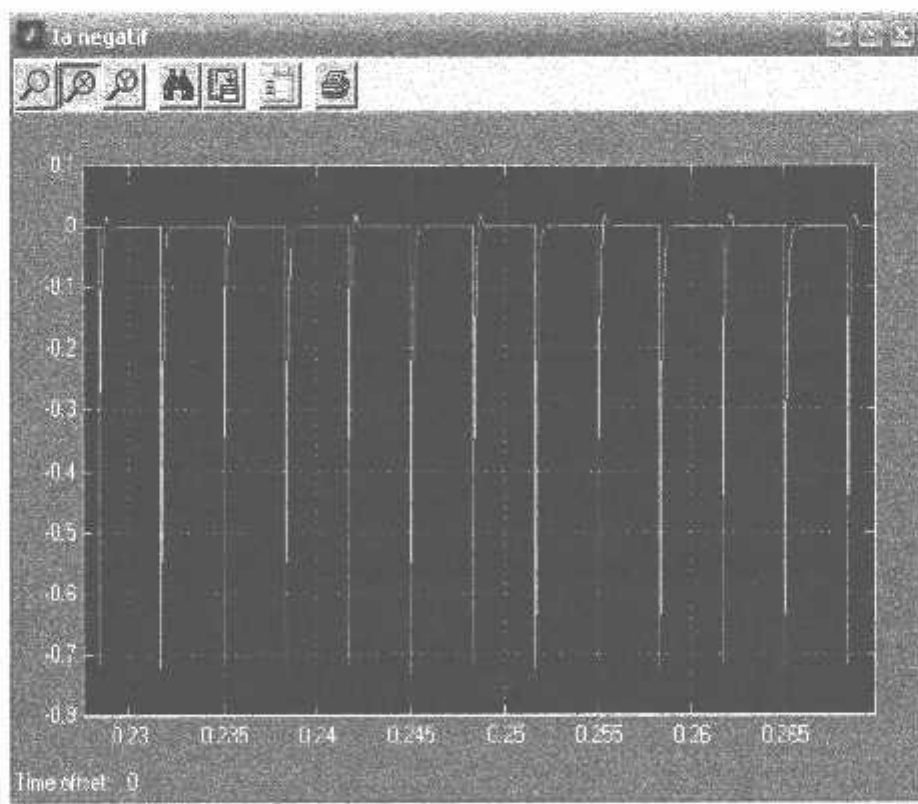
Konverter ganda dapat memperkerjakan beban motor DC didalam empat kuadran. Pada pengendalian dengan arus sirkulasi, jika sudut penyalaan yang diterapkan pada konverter positip  $0^\circ < \alpha_1 < 90^\circ$ , maka saat ini konverter positip bertindak sebagai penyearah yang memutar motor DC sedangkan konverter negatip bertindak sebagai inverter yang melakukan pangereman regeneratif. Dengan melihat Tabel 2.2, jika konverter positip merasakan bekerja pada kuadrant I maka pada saat itu konverter negatip bekerja pada kuadrant II. Sedangkan jika sudut penyalaan yang diterapkan pada konverter positip  $90^\circ < \alpha_1 < 180^\circ$ , maka saat ini konverter negatip bertindak sebagai penyearah yang memutar motor DC sedangkan konverter positip bertindak sebagai inverter yang melakukan pangereman regeneratif. Sehingga jika konverter negatip merasakan bekerja pada kuadrant III maka pada saat itu konverter positip bekerja pada kuadrant IV.

Pada pengendalian dengan arus sirkulasi, karena sudut penyalaan pada masing-masing konverter dipicu secara bersamaan maka memungkinkan mengalirnya arus sirkulasi pada kedua konverter yang dipasang anti paralel tersebut. Keberadaan arus ini tidak melalui beban. Dengan demikian pada saat sudut penyalaan pada konverter positip dipicu pada  $0^\circ < \alpha_1 < 90^\circ$ , maka pada saat ini konverter positip menyuplai daya untuk arus beban dan arus sirkulasi sedangkan konverter negatip hanya mengalirkan arus sirkulasi saja.

Gambar 4.5 dibawah ini menunjukkan bagaimana arus yang mengalir pada dua konverter tersebut.



Gambar 4.4 Arus Keluaran Konverter Positif



Gambar 4.5 Arus Keluaran Konverter Negatif

Pada gambar diatas  $\alpha_1$  dipicu pada sudut penyalaan  $60^\circ$ . Pada konverter positif terlihat arus yang mengalir berada pada sumbu y positif. Arus sirkulasi dengan puncak yang tinggi akan menurunkan *rated thyristor*.

Untuk mengantisipasi hal diatas maka dipasang *circulating current reactor* sebagai pembatas arus. Penambahan *circulating current reactor* pada konverter ganda diharapkan dapat menurunkan puncak dari gelombang arus. Namun demikian sekali lagi bahwa penambahan nilai induktansi yang terlalu besar akan mengakibatkan turunnya efisiensi dan lambatnya respon transien. Sehingga pemilihan nilai induktansi yang tepat dalam hal ini juga diperlukan.

Untuk menentukan besarnya nilai *circulating current reactor* yang baik harus mengetahui nilai teraan daya thyristor. Besarnya nilai *circulating current reactor* kritis atau batas minimum dari *circulating current reactor* dapat ditentukan dengan mengetahui arus sirkulasi maksimal yang diijinkan. Besar arus sirkulasi maksimal yang diijinkan mengalir adalah

$$I_m = T_{rat}/V_a - I_a \quad A \quad (4.10)$$

Dimana :  $I_m$  = arus sirkulasi maksimal (A)

$T_{rat}$  = teraan daya thyristor (VA)

Dengan menulis kembali Persamaan (2.32),

$$I_r = \frac{\sqrt{3}V_m}{\omega L_r} \left[ \sin\left(\omega t - \frac{\pi}{6}\right) - \sin\alpha_1 \right] \quad A$$

maka arus sirkulasi maksimum mengalir pada saat  $\omega t = 2\pi/3$  dan  $\alpha_1 = 60^\circ$

$$\begin{aligned} I_r &= \frac{\sqrt{3}V_m}{\omega L_r} \left[ \sin\left(\frac{2\pi}{3} - \frac{\pi}{6}\right) - \sin 60^\circ \right] \\ &= \frac{\sqrt{3}V_m}{\omega L_r} \left[ 1 - \frac{1}{2}\sqrt{3} \right] \quad A \end{aligned} \quad (4.11)$$

dan

$$L_r = \frac{\sqrt{3}V_m}{\omega I_r} \left[ 1 - \frac{1}{2}\sqrt{3} \right] \quad H \quad (4.12)$$

Sebagai permasalahan, marilah kita ambil teraan thyristor sebesar 22 kVA. Melalui Persamaan (4.10) besarnya arus sirkulasi maksimum adalah

$$l_{\text{app}} = 22000/230 - 19 = 76,65 \quad \text{A} \quad (4.13)$$

Dengan Persamaan (4.12), maka besarnya *circulating current reactor* adalah

$$L_f = \frac{\sqrt{3}240,85}{2\pi \cdot 50,76,65} \left[ 1 - \frac{1}{2}\sqrt{3} \right] = 2,32 \text{ mH} \approx 2,5 \text{ mH}$$

Atau dengan me-*running* program simulasi maka nilai diatas bisa didapat

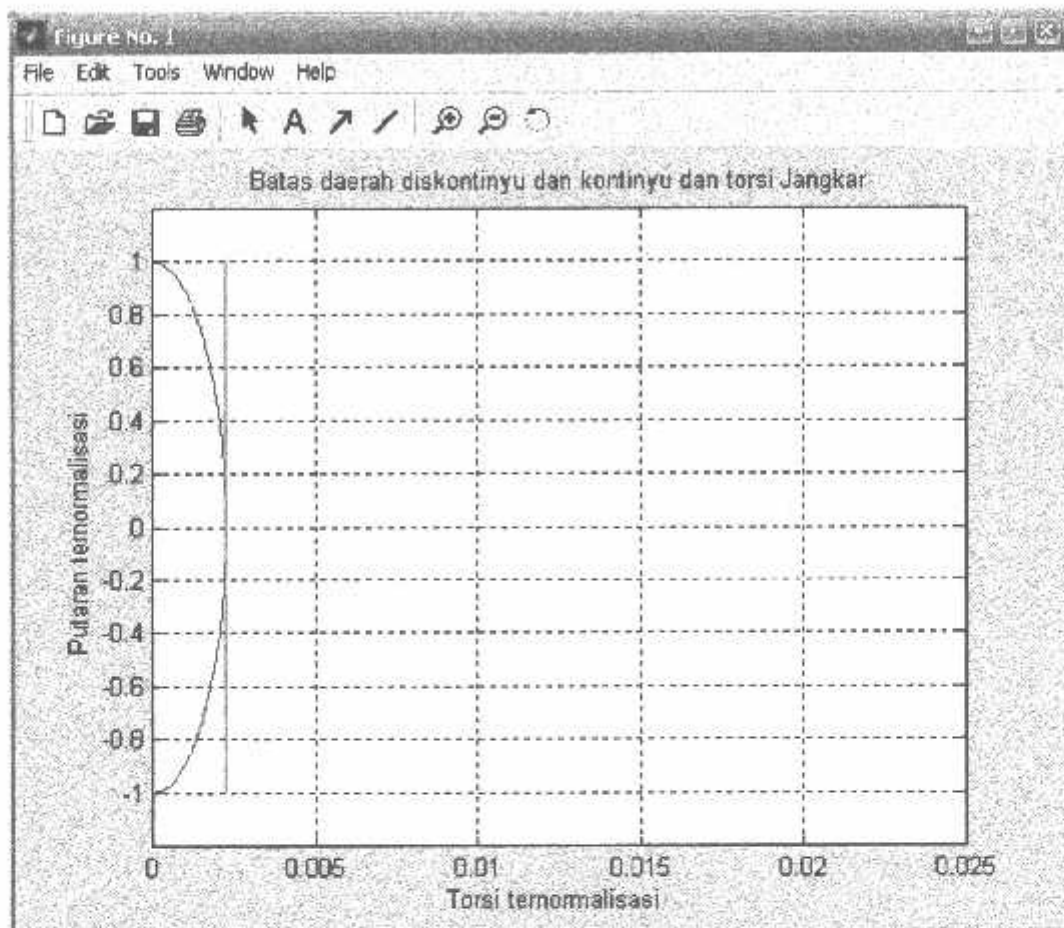
#### Pengendalian dengan arus sirkulasi

Nilai teraan thyristor(W) = 22000

==== Saran ====  
Pada pengendalian dengan arus sirkulasi  
gunakan circulating current reaktor, minimal

$$L_F(\text{mH}) = 2.3209$$

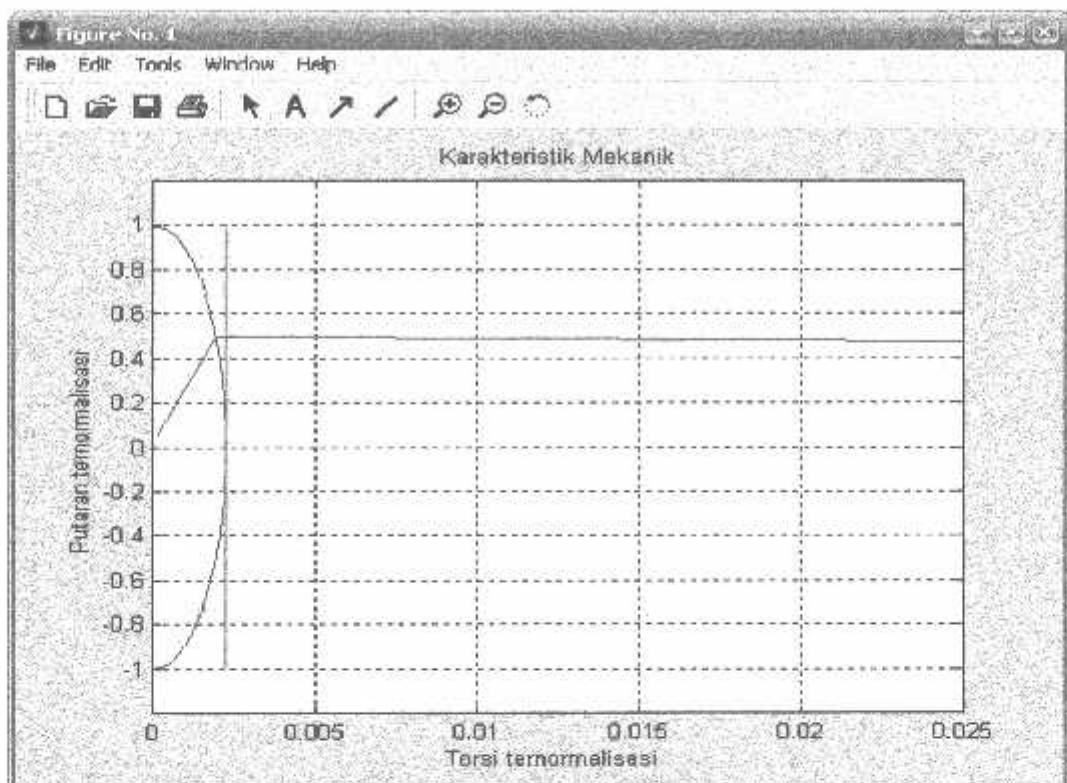
Hasil dari rangkaian simulasi setelah sistem penggerak ditambahkan induktor yang terdapat dalam program Simulink adalah sebagai berikut :



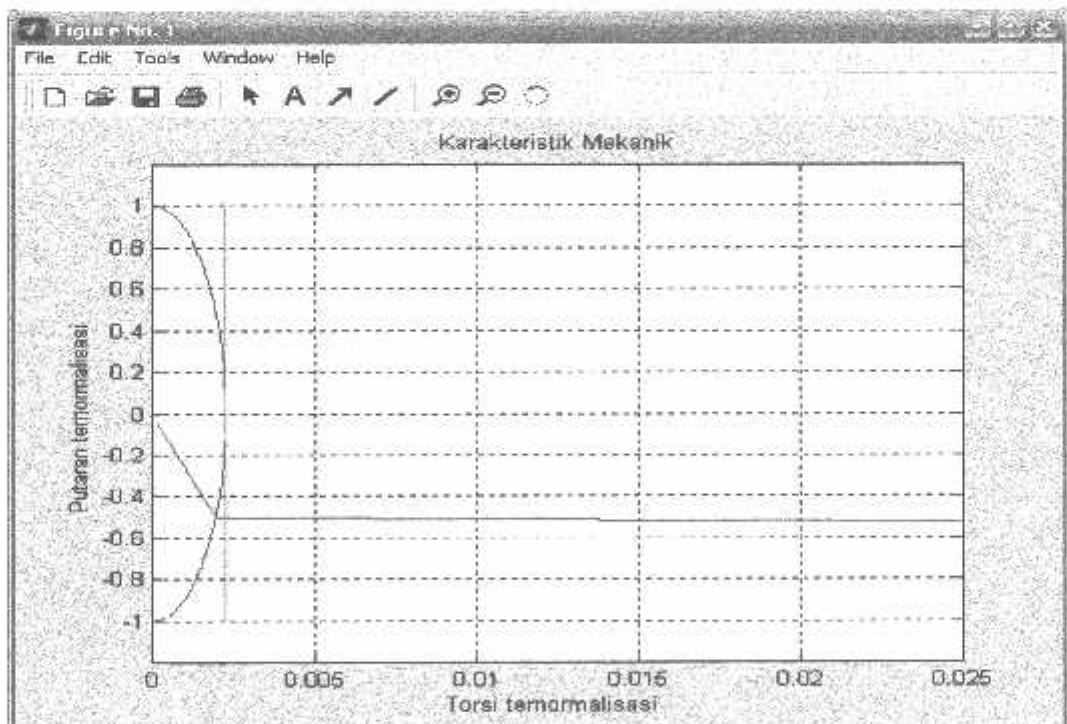
Gambar 4.6 Keadaan Arus Kontinyu Dan Diskontinyu Setelah Penambahan  
*Circulating Current Reactor*

Selain menurunkan rated dari thyristor, keberadaan arus sirkulasi ini juga dapat menurunkan efisiensi karena terlalu banyak arus mengalir dan tidak melalui beban. Keberadaan *circulating current reactor* juga berfungsi untuk membatasi besar arus yang mengalir pada rangkaian sistem penggerak keseluruhan.

Sementara itu untuk karakteristik mekanik motor DC penguat terpisah yang disuplai oleh konverter ganda 3 fasa tergambar di bawah ini :



Gambar 4.7 Karakteristik Mekanik Motor DC Penguat Terpisah Dengan  $\alpha = 60^\circ$



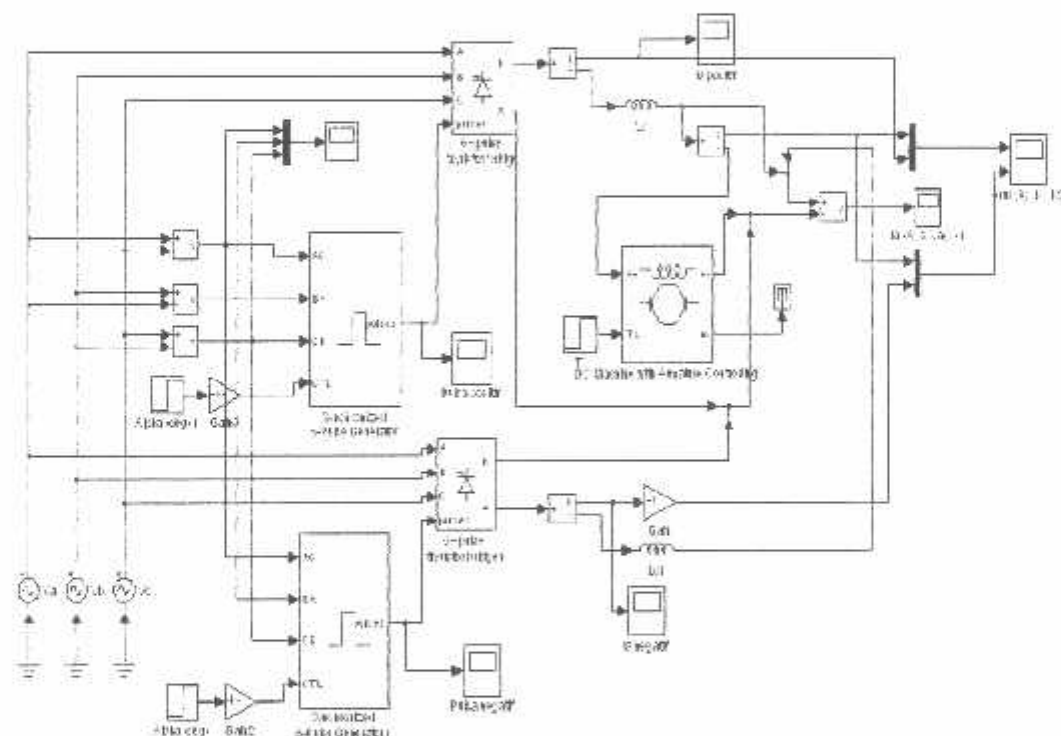
Gambar 4.8 Karakteristik Mekanik Motor DC Penguat Terpisah Dengan  $\alpha = 120^\circ$

Dapat dilihat pada gambar di atas bahwa respon waktu motor DC penguat terpisah untuk mencapai keadaan operasi *steady state* lebih cepat daripada sebelum penambahan *circulating current reactor*.

#### 4.3 Metode Kontroler Ganda

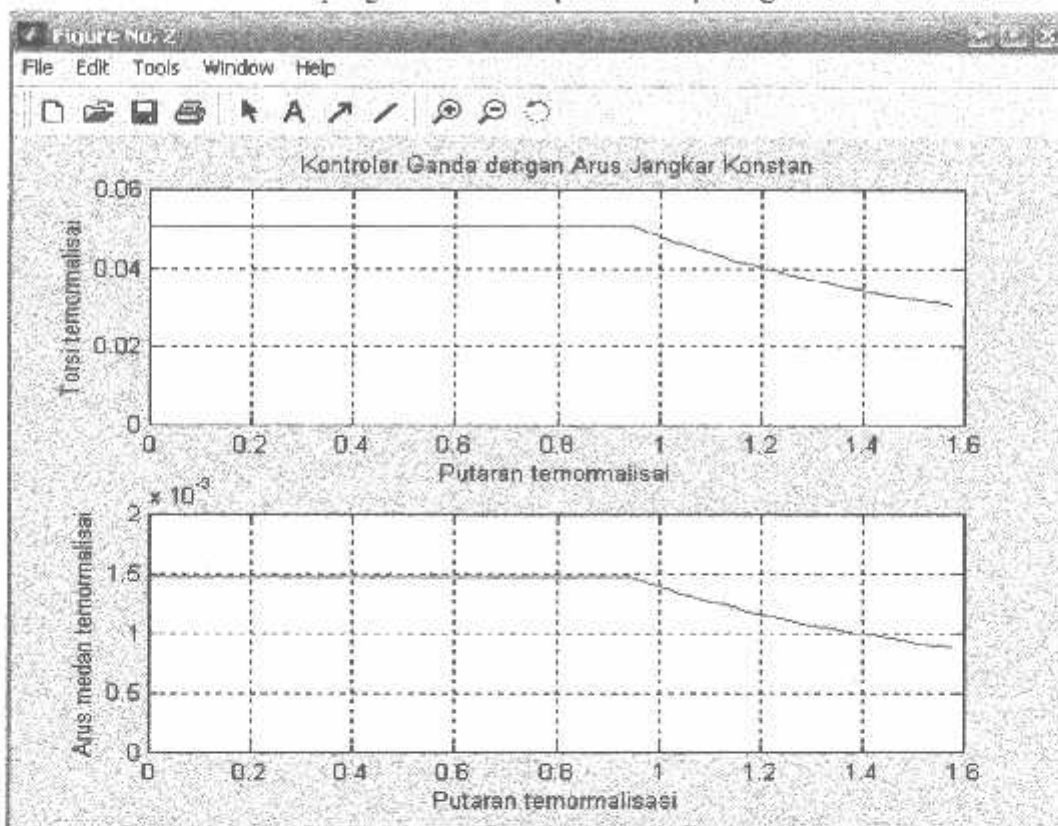
Metode kontroler ganda dilakukan dengan mengatur tegangan jangkar dan menjaga arus medan konstan pada nilai nominalnya pada saat putaran dibawah putaran nominalnya, sedangkan pada putaran diatas putaran nominalnya dilakukan pengaturan arus medan dan menjaga tegangan jangkar konstan pada nilai nominalnya.

Kontroler Ganda



Gambar 4.9 Rangkaian Simulasi Mat-lab

Sementara itu hasil dari program utama dapat dilihat pada gambar di bawah ini :



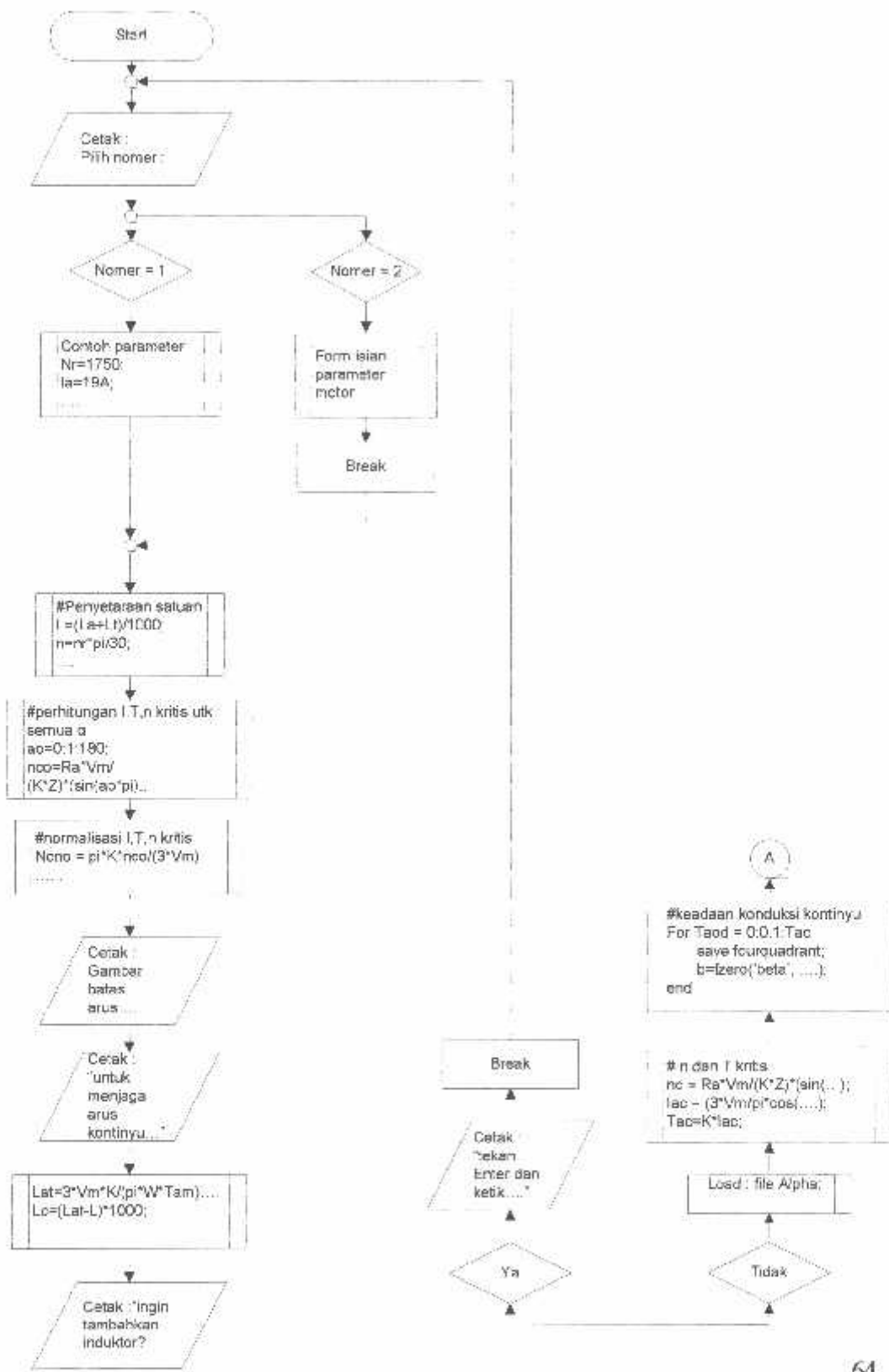
Gambar 4.10. Metode Kontroler Ganda

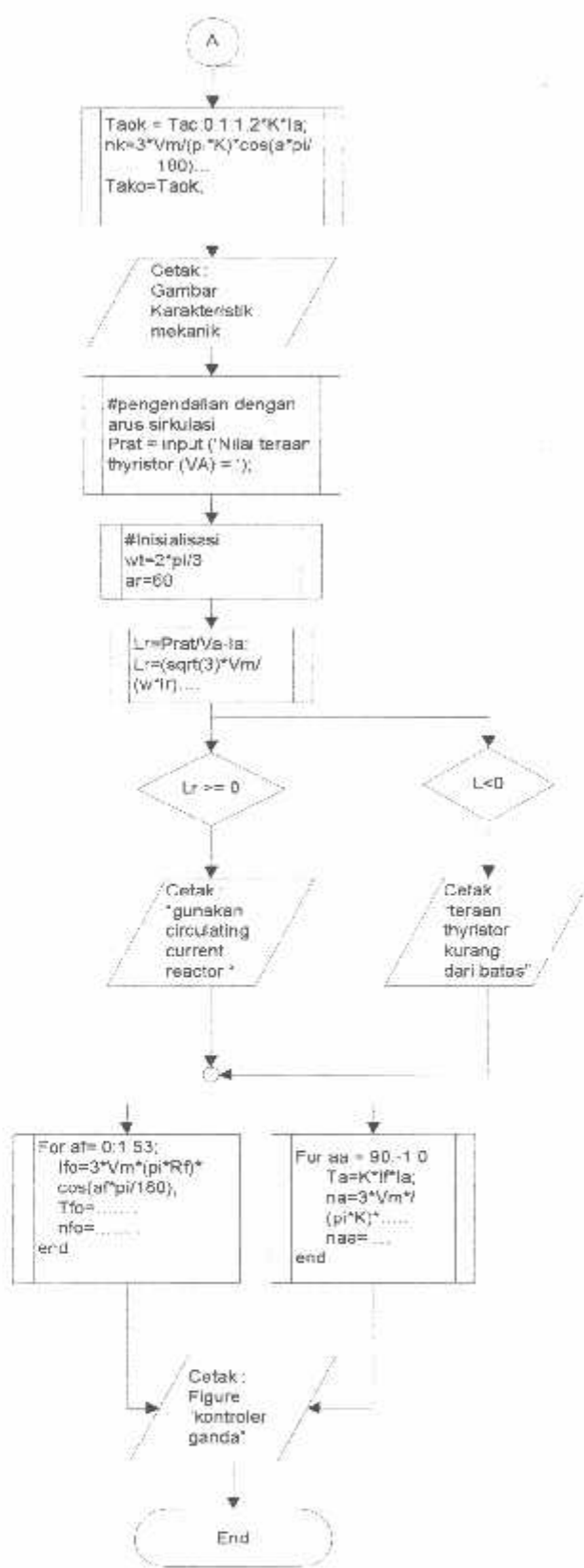
Pada pengaturan kontroler ganda, jika putaran yang diterapkan melebihi dari putaran nominalnya, maka torsi yang dihasilkan menurun. Jadi metode kontroler ganda, hanya mengatur arus medan ketika diinginkan putaran genting, yaitu putaran diatas putaran nominalnya dengan torsi yang rendah.

Pada bab empat telah ditentukan besarnya nilai torsi ternormalisasi, sedangkan arus medan yang digunakan sebagai dasar untuk menentukan besarnya arus ternormalisasi diambil dari arus medan maksimum yang diperbolehkan, yaitu  $1,4 I_f$ <sup>\*)</sup>.

<sup>\*)</sup> Lihat bab II hal 39

Flowchart dari program utama dapat dilihat pada bagian ini :





## **BAB V**

### **KESIMPULAN**

#### **5.1 Kesimpulan**

Dari hasil analisa uji simulasi pada skripsi ini, maka penyusun dapat menarik beberapa kesimpulan sebagai berikut :

1. Metode pengendalian tanpa arus sirkulasi dan dengan arus sirkulasi sebagai metode yang sering digunakan dalam pengaturan motor DC memiliki kekurangan dan kelebihan tersendiri yang ditunjukkan oleh kinerja motor DC. Metode pengendalian tanpa arus sirkulasi mempunyai efisiensi yang baik, mengingat komponen yang digunakan tidak terlalu banyak sehingga jatuh tegangan dalam sistem tidak terlalu besar. Sedangkan metode pengendalian dengan arus sirkulasi memiliki respon waktu yang baik untuk segera mencapai kondisi operasi *steady state* dari motor DC penguat terpisah.
2. Metode pengendalian dengan arus sirkulasi mempunyai arus keluaran yang kontinyu disebabkan adanya penambahan induktor. Hal ini akan menyebabkan kinerja motor menjadi lebih baik. Sedangkan metode pengendalian tanpa arus sirkulasi tidak mempunyai arus keluaran yang kontinyu untuk menjadikan kinerja yang baik bagi motor DC .
3. Penambahan induktor tambahan sebagai circulating current reactor mempunyai dampak yang signifikan bagi kinerja motor DC penguat terpisah. Induktor ini juga berfungsi untuk membatasi arus yang masuk terminal motor DC pada saat operasi pertama dan selanjutnya.

#### **5.2 Saran**

Untuk pengembangan lebih lanjut dari skripsi ini maka penyusun mengemukakan beberapa saran sebagai berikut :

1. Perlu dilakukan studi lebih lanjut untuk menggunakan metode *close loop* untuk memperoleh hasil yang lebih baik.  
66

2. Untuk mendukung metode *close loop* maka perlu juga digunakan komponen mikrokontroler sebagai otak pengendali proses otomatisasi.
3. Penggunaan PLC dalam sistem penggerak motor DC diperlukan untuk menunjang performa sistem itu sendiri.

## DAFTAR PUSTAKA

- Dewan S.B., A. Straughen. 1975. *Power Semiconductor Circuits*. A. Wiley Interscience Publication. Jhon Wiley and Sons.
- Dewan S.B., G.R. Slemon and A. Straughen. 1984. *Power semiconductor Drivers*. Singapore: John Wiley and Sons.
- Duane Hanselman and Brush Littlefield. 1997. *The Student Edition of Matlab version 5*, New Jersey: Prentice Hall, Inc.
- Dubey, G.K. SR. Doradla, A. Joshi and RMK. Sinha. 1986. *Thyristorised Power controller*. New Delhi: Wiley Eastern Limited.
- Dubey, Gopal K. 1993. *Power Semiconductor Controller Drivers*. Singapore: Prentice Hall.
- Fisher, Marvin J. 1991. *Power Electronics*. Syntax International, PTE Limited.
- Fitzgerald, A.E., Charles Kingsley Jr., Stephen D. Umans. 1986. *Mesin-mesin Listrik*, Edisi keempat. Terjemahan Djoko Achyanto. Jakarta: Penerbit Erlangga.
- Journal. 1997. "Simulink Dinamik Sistem Simulation". The Mathwork Inc.
- Lander, Cyril W. 1993. *Power Electronics*. Third Edition. Singapore: McGraw-Hill Book Company.
- Rashid M.H. 1993. *Power Electronics : circuit, device and applications*. New Jersey: Prentice Hall, Inc.
- Sen, P.C. 1980. *Power Electronics*. New Delhi: Tata McGraw Hill Publishing Company Limited.
- Slemon, Gordon R. 1992. *Electric Machine and Drivers*. Addison Wisley, Inc.
- Sumanto. 1991. *Mesin4ris Searah*. Yogyakarta: Penerbit Andi Offset.
- The Power Design. 1998. "An Application A Four Quadrant DC Drivers". [http://www.power design.com/pe\\_html.zip](http://www.power design.com/pe_html.zip).
- Vithayathil, Joseph. 1976. *Power Electronics Principles and applications*. Mc Graw Hill, Inc.



INSTITUT TEKNOLOGI NASIONAL MALANG  
FAKULTAS TEKNOLOGI INDUSTRI  
JURUSAN TEKNIK ELEKTRO S-1  
KONSENTRASI SISTEM TENAGA

LEMBAR BIMBINGAN SKRIPSI

1. Nama : DEDY IARAWAN  
2. NIM : 98.12.125  
3. Jurusan : Teknik Elektro S-1  
4. Konsentrasi : Teknik Energi Listrik  
5. Judul Skripsi : Simulasi Sistem Pengendalian Motor DC  
Dengan Konverter Ganda Empat  
Kuadran Menggunakan Perangkat Lunak  
Mat-Lab  
6. Tanggal Mengajukan Skripsi : 10 Agustus 2005  
7. Tanggal Menyelesaikan Skripsi : 30 September 2005  
8. Dosen Pembimbing : Ir. Widodo Pudji, MT.  
9. Telah Dievaluasikan Dengan Nilai : 80,00 (Delapan Puluh )

Mengetahui,  
Ketua Jurusan Teknik Elektro S-1

Ir. F. Yudi Limpratmono, MT.  
NIP.Y 1039500274

Diperiksa dan Disetujui,  
Dosen Pembimbing

Ir. Widodo Pudji, MT.  
NIP. 1028700171



### FORMULIR BIMBINGAN SKRIPSI

Nama : DEDY IRAWAN  
Nim : 98.12.125

Masa Bimbingan : 10 Agustus 2005 /d 10 Februari 2006

Judul Skripsi : Simulasi Pengendalian Motor DC Dengan Konverter Ganda Empat Kuadran Menggunakan Perangkat Lunak MATLAB.

No.	Tanggal	Uraian	Parap Pembimbing
1.	13 - 08 - 2005	Bab I Pendahuluan	
2.	15 - 08 - 2005	Revisi Bab II, Penambahan Teori	
3.	18 - 08 - 2005	Revisi Bab II, Penambahan Sumber Literatur	
4.	22 - 08 - 2005	Revisi Bab III, Perbaikan Tabel	
5.	25 - 08 - 2005	Revisi Bab IV, Gambar Simulasi MATLAB	
6.	29 - 08 - 2005	Revisi Bab IV, Perhitungan	
7.	01 - 09 - 2005	Revisi Bab IV, Perbaikan Flow Chart	
8.	05 - 09 - 2005	Membuat Kesimpulan	
9.	10 - 09 - 2005	Membuat Makalah Seminar	
10.	12 - 09 - 2005	Acc Makalah Seminar	

Malang, 12 September 2005

Dosen Pembimbing

( Ir. Widodo Pudji M, MT )  
NIP.Y. 102 8700 171



INSTITUT TEKNOLOGI NASIONAL MALANG  
FAKULTAS TEKNOLOGI INDUSTRI  
JURUSAN TEKNIK ELEKTRO S-1  
KONSENTRASI SISTEM TENAGA

BERITA ACARA UJIAN SKRIPSI  
FAKULTAS TEKNOLOGI INDUSTRI

Nama Mahasiswa : Dedy Irawan  
N.I.M. : 98.12.125  
Jurusan : Teknik Elektro S-I  
Konsentrasi : Sistem Tenaga.  
Judul Skripsi : Simulasi Sistem Pengendalian Motor DC Dengan Konverter Ganda Empat Kuadran Menggunakan Perangkat Lunak Mat-Lab

Dipertahankan dihadapan Team Penguji Skripsi Jenjang Sarjana ( S-I )  
Pada :

Hari : Selasa  
Tanggal : 4-10-2005  
Dengan Nilai :

Panitia Ujian Skripsi

  
Ir. Mochtar Asroni, MSME  
Ketua

  
Ir. F. Yudi Limpratmono, MT  
Sekretaris

  
Ir. Teguh Herbasuki, MT  
Penguji Pertama

  
Ir. Eko Nurcahyo  
Penguji Kedua



INSTITUT TEKNOLOGI NASIONAL MALANG  
FAKULTAS TEKNOLOGI INDUSTRI  
JURUSAN TEKNIK ELEKTRO S-1  
KONSENTRASI SISTEM TENAGA

**LEMBAR PERBAIKAN TUGAS AKHIR**

Dari hasil ujian Komprehensip Jenjang Sarjana ( S-I ) Jurusan Teknik Elektro Konsentrasi Sistem Tenaga Diselenggarakan Pada :

Hari : Selasa  
Tanggal : 4 Oktober 2005

Telah dilaksanakan perbaikan Skripsi oleh :

Nama Mahasiswa : Dedy Irawan

N.I.M. : 98.12.125

Judul Skripsi : Simulasi Sistem Pengendalian Motor DC Dengan Konverter Ganda Empat Kuadran Menggunakan Perangkat Lunak Mat-Lab

Perbaikan meliputi:

No.	Materi perbaikan	Keterangan
1	Pendahuluan	Perbaikan Daftar isi, Gambar, Tabel
2	BAB II	Perbaikan Gambar dan Tulisan

Disetujui/diperiksa  
Anggota Penguji

Ir. Teguh Herbasuki, MT.  
Penguji Pertama

Ir. Eko Nurcahyo, MT.  
Penguji Kedua

Mengetahui/Menyetujui  
Dosen Pembimbing

Ir. Widodo Pudji, MT.

**LAMPIRAN I**  
**LISTING PROGRAM (MATLAB 5.3)**

**1. File script (fourquadrant)**

```
clear;
clc;
disp('Pengendalian tanpa arus siemens');
disp('-----');
%
% Penyerah Tiga Fasa dengan Beban Motor DC
%
disp(' ');
%
% Contoh
disp('1. Contoh');
disp(' Parameter-parameter motor');
disp(' ');
disp(' Putaran (rpm) = 1750');
disp(' Arus Jangkar (A)= 19 ');
disp(' Tegangan Jangkar (V)= 230');
disp(' Resistansi Jangkar (ohm) = 0.615');
disp(' Induktansi Jangkar (mH) = 45');
disp(' Induktansi Tambahan (mH) = 0');
disp(' Tegangan Medan (V)= 230');
disp(' Resistansi Medan (ohm) = 352');
disp(' Induktansi Medan (H) = 45');
disp(' Frekuensi (Hz)= 50');
disp(' Torsi Jangkar Minimum (N.m)= 1');
disp(' ');

% Mengisi parameter motor sendiri
disp('2. Mengisi parameter motor sendiri');
disp(' ');

pilih = input('pilih salah satu (Nomornya saja)= ');
if pilih==1,
    nr = 1750; % (rpm)
    Ia = 19; % (A)
    Va = 230; % (V)
    Ra = 0.615; % (ohm)
    La = 45; % (mH)
    Lt = 0; % (mH)
    Vf = 230; % (V)
    Rt = 352; % (ohm)
    lf = 45; % (H)
    f = 50; % (Hz)
    Tnm = 1; % (N.m)
elseif pilih==2,
    disp('Masukkan Parameter-parameter motor');
    disp(' ');
    nr = input('Putaran (rpm) = ');
    Ia = input('Arus Jangkar (A)= ');
    Va = input('Tegangan Jangkar (V)= ');
    Ra = input('Resistansi Jangkar (ohm) = ');
    La = input('Induktansi Jangkar (mH) = ');
    Lt = input('Induktansi Tambahan (mH) = ');
    Vf = input('Tegangan Medan (V)= ');
    Rt = input('Resistansi Medan (ohm) = ');
```

```

% = input('Induktansi Medan (B) = ');
f = input('Frekuensi (Hz) ');
Tam = input('Torsi Jangkar Minimum (N.m)= ');
else
    disp('Perhatikan Perintah, Ulangi Lagi Dari awal...!');
    disp(' ');
    disp(' ');
    break
end

%Penyetaraan satuan dan mencari konstanta K
L = (La+L)/1000;
n = nr*pi/30;
R = Va-La*Ra;
K = R/n;
Lf = VL/Rf;
Kf = K/L;
w = 2*pi*f;
Za = Ra+w*L^2;
Z = abs(Za);
te = angle(Za);
cot = 1/tan(te);
Vm = Va*pi/3;

%Putaran, arus dan torsi kritis untuk semua sudut penerapan
ao = 0:1:180;
nco = Ra*Vm/(K*Z)*(sin(ao*pi/180+2*pi/3-te)-sin(ao*pi/180+pi/3-te)...
    *exp(-pi/3*cot))/(1-exp(-pi/3*cot));
Iaco = (3*Vm/pi*cos(ao*pi/180)-K*nco)/Ra;
Taico = K*Iaco;

%Putaran dan torsi kritis untuk semua sudut penerapan ternormalisasi
ncono = pi*K*nco/(3*Vm);
Tamno = pi*Ra*Tam/(3*Vm*K)*ones(length(ao));
Tacono = pi*Ra/(3*Vm*K)*Taico;

%Membuat Gambar
figure(1)
hold off; plot(Tacono,ncono,'b');
hold on; plot(Tamno,ncono,'g');
title('Batas daerah diskontinu dan kontinyu dan Torsi jangkar');
xlabel('torsi ternormalisasi ');
ylabel('putaran ternormalisasi ');
axis([0,0.025,-1.2,1.2]);
grid
disp(' ');
disp(' ');

% Mencari nilai induktansi minimal agar dapat kondisi kontinyu
% pada semua sudut penerapan
disp('--- Saran ---');
cisp('!Untuk tetap menjaga arus kontinyu pada semua sudut penerapan');
cisp('Tambahkan induktor ,minimal');
La = 3*Vm*K/(pi*w*Tam)*(1-pi/(2*sqrt(3))*sin(pi/2))!;
Lc = (La-L)*1000;
cisp(' ');
cisp(sprintf('Lc (mH) = %.4f', Lc));
cisp(' ');

cisp('Ingin menambahkan Induktor ?');

```

```

disp('1. ya');
disp('2. Tidak');
disp('');
it = input('ya atau tidak (nomornya saja) = ');

if it == 1,
    disp('');
    disp('Tekan enter dan ketik "fourquadrant" kemudian- ');
    disp('pilih 2 (Mengisi parameter sendiri)');
    break

elseif it == 2,
    % Karakteristik Mekanik
    disp('');
    disp('Karakteristik mekanik');

    % Sudut penyalaan
    disp('Masukkan nilai Alpha 0 s/d 180 derajat');
    disp('');
    ai = inout('Alpha (deg) = ');
    a = ai*le-6;
    disp('');
    disp('');

    % Putaran dari torsi kritis
    nc = Ra*Vm/(K^2)*(sin(a*pi/180+2*pi/3-te)-sin(a*pi/180+pi/3-te)...
        *exp(-pi/3*cot))/(1-exp(-pi/3*cot));
    Iac = (3*Vm/pi*cos(a*pi/180)-K*nc)/Ra;
    Tac = K*Iac;

    % Keadaan konduksi diakontinyu
    for Taod = 0:0.1:Tac
        save fourquadrant
        b = fzero('beta',2*pi/3+60*pi/180);
        nd = Vm*(cos(a*pi/180+pi/3)-cos(b))/(K*(b-a*pi/180-pi/3))*Taod;
        Tado(Taod*1/0.1+1) = Tac;
        ndo(Taod*1/0.1+1) = nd;
    end

    % Keadaan konduksi kontinu
    Taok = Tac:0.1:1.2*K*Ia;
    nk = 3*Vm/(pi*K)*cos(a*pi/180)*ones(1,length(Taok))-Ra/K^2*Taok;
    Tako = Tac.*nk;
    nko = nk;

    % buat Gambar
    no = [ndo nk];
    Tao = [Tado Tako];
    Tano = pi*Ra/(3*Vm*K)*Tao;
    ron = pi*K*no/(3*Vm);
    hold on; plot(Tano,no,'r');
    title('Karakteristik Mekanik');
    disp('');

    % Pengendalian dengan arus sirkulasi
    disp('Pengendalian dengan arus sirkulasi');
    disp('===== ');
    disp('');
    Erat = input('Nilai teraan thyristor(VA) = ');
    disp('');

```

```

disp(' ');
% Inisialisasi
wt = 2*pi/3;
ar = 60;

% Circulating current reactor
Ir = Prat/Va-Ia;
Lr = (sqrt(3)*Vm/(w*Ir)*(sin(wt*pi/6)-sin(ar*pi/180)))*1000;
if Ir >= 0,
    disp('--- Saran ---');
    disp('Pada pengendali arus sirkulasi');
    disp('gunakan circulating current reaktor, minimal');
    disp(' ');
    disp(sprintf('Lr (mH) = %5.4f', Ir));
    disp(' ');
    disp(' ');
else
    disp('--- Peringatan ---');
    disp(' ');
    disp('Taraan triistor kurang dari batas..!');
    disp(' ');
    disp(' ');
end

%Metode kontrol ganda
%-----
%Karakteristik mekarik dengan menjaga Ia konstan
disp('Kontroler Ganda');
disp('=====');
disp(' ');
disp(' Fungsi torsi dan arus medan terhadap putaran');

% Pengontrolan jangkar
for aa = 30:-1:0,
    Ta = Kf*Iff*Ia;
    na = 3*Vm/(pi*K)*cos(aa*pi/180)-Ra/K^2*Ta;
    naa(90-aa+1) = na;
    Taa(90-aa+1) = Ta;
    Iaa(1,90-aa+1) = If;
end

%Pengontrolan medan
for af = 0:1:53,
    Ifo = 3*Vm/(pi*Rf)*cos(af*pi/180);
    Tf0 = Kf*If0*Ia;
    nfo = Va/(Kf*If0)-Ra/(Kf*If0)^2*Tf0;
    nff(af+1) = nfo;
    Tff(af+1) = Tf0;
    Iff(af+1) = If0;
end
naf = [naa nff];
Taf = [Taa Tff];
Iaf = [Iaa Iff];
nafn = pi*K*naf/(3*Vm);
Tafn = pi*Ra/(3*Vm*K)*Taf;
Iatn = pi*Ra/(3*Vm*K)*Iaf;

%Membuat Gambar
figure(2);

```

```
subplot(2,1,1);
plot(nafn,Tafn,'b');
title('Kontroler Ganda dengan Aris Jangkar Koristen');
xlabel('Putaran ternormalisasi');
ylabel('Icrsi ternormalisasi');
axis([0,1.6,0,0.06]);
grid;
subplot(2,1,2);
plot(nafn,Iafn,'r');
xlabel('Putaran ternormalisasi');
ylabel('Aris medan ternormalisasi');
axis([0,1.6,0,0.002]);
grid;

else
    disp('Perhatikan Perintah, Ulangi Lagi Dari awal...!');
    disp(' ');
    disp(' ');
    break;
end
```

## 2. File function (beta)

```
function y = beta(x,Vm,z,te,a,cot,Ra,Td,K,Taod)
load fourquadrant

y = Vm/Z*(sin(x-te)-sin(a*pi/180+pi/3-te)*exp((a*pi/180)pi/3-
x)*cot))...
-(Vm*(cos(a*pi/180+pi/3)-cos(x))/(x-a*pi/180+pi/3)...
-pi*Ka*Taod/(3*K*(x-a*pi/180+pi/3)))/Ra*(1-exp((a*pi/180+pi/3-
x)*cot));
```

### 3) File script (Alpha)

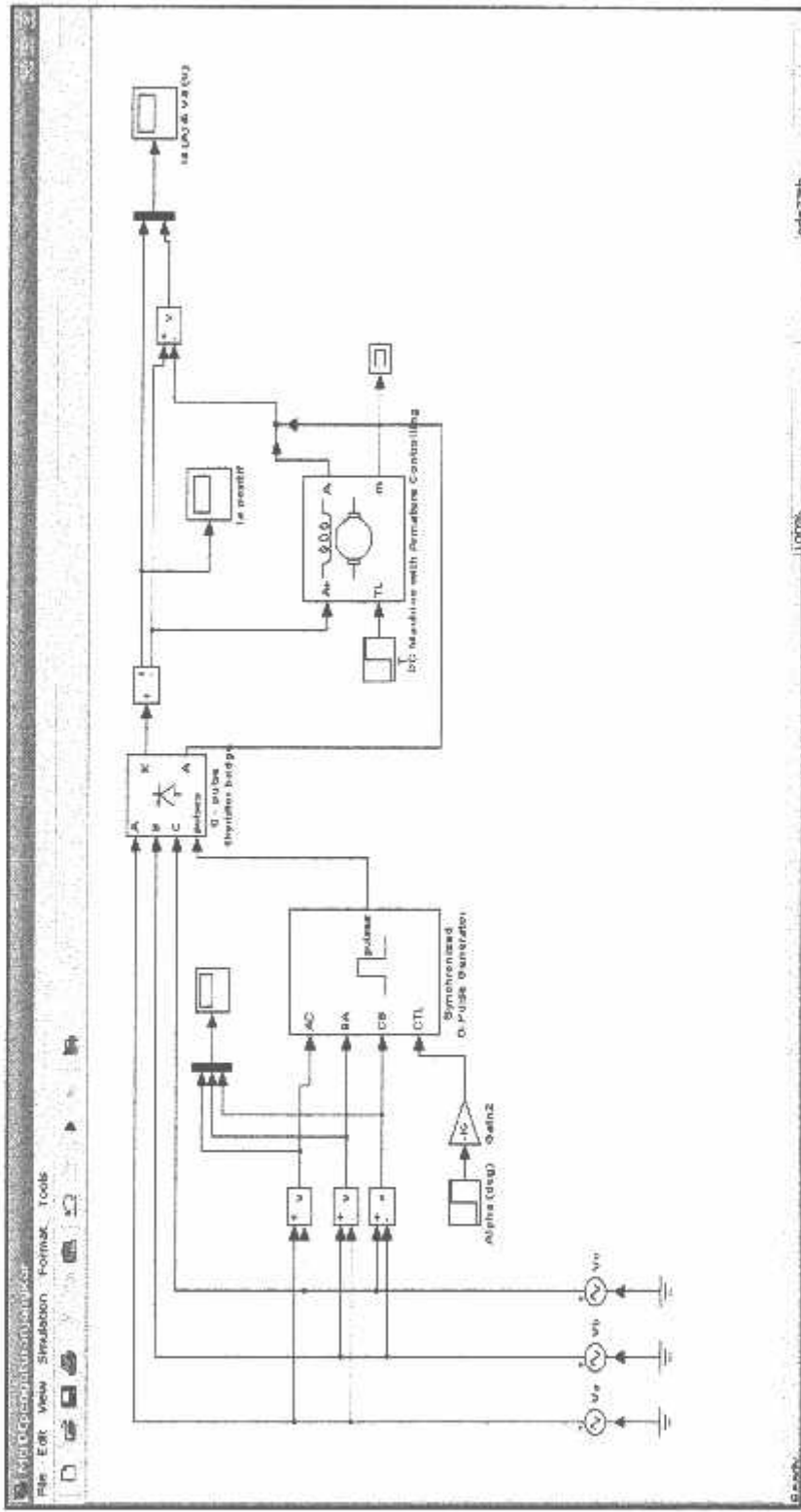
```
clear;
clc

% Inisialisasi variabel
a = 0;
i = 0;

% Melakukan iterasi sampai ke 100
for i = 1:100,
    z = acos(3/pi*cos(i))+pi/6;
end

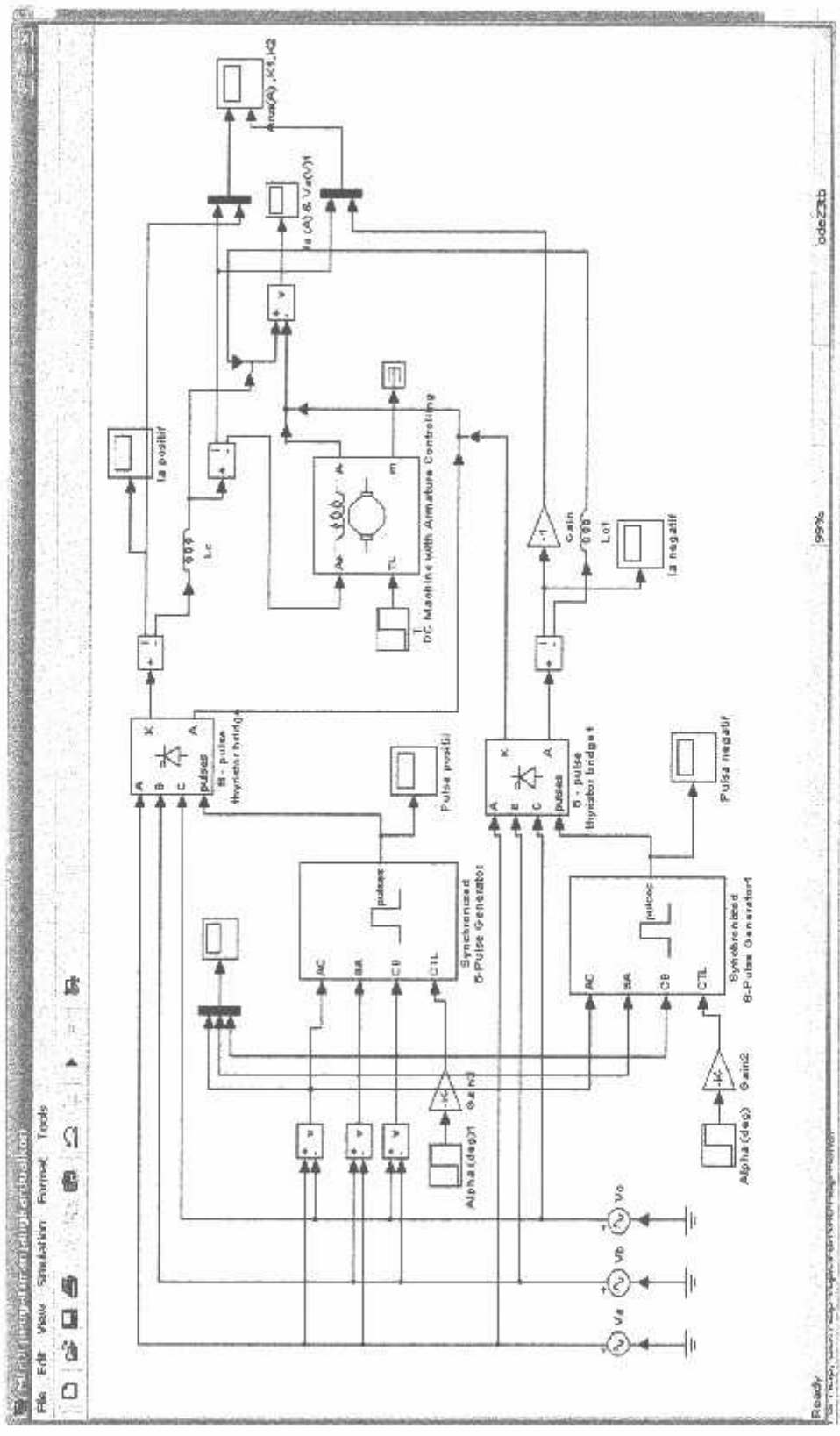
% Merubah satuan dari radian ke derajat
ad = a/pi*180-180
```

### Pengendalian tanpa Arus Sirkulasi



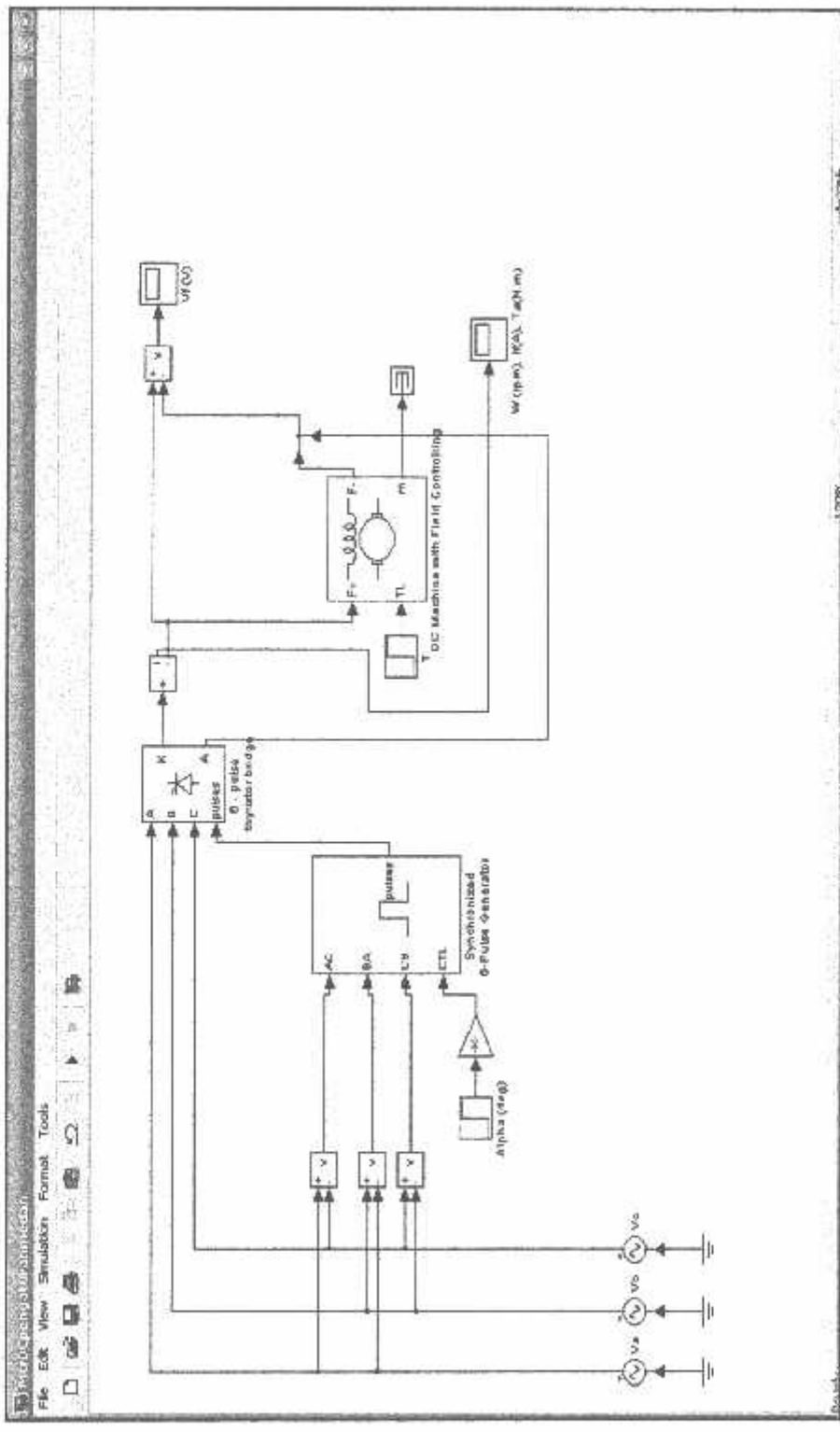
Penyebar tiga fasa dengan beban motor DC

## Pengendalian dengan Arus Sirkulasi



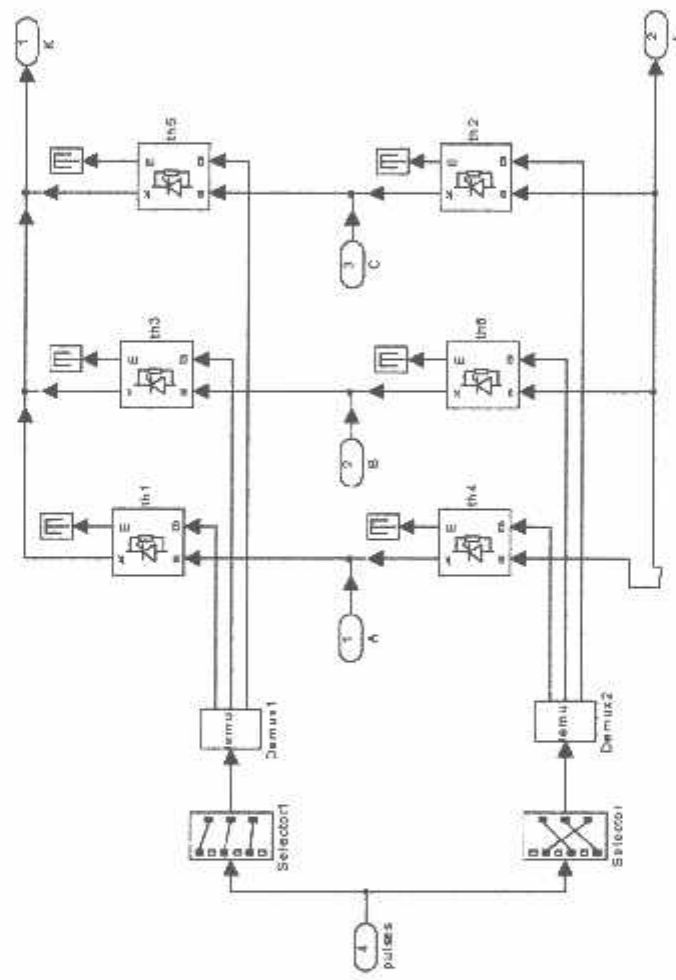
Konverter ganda tiga fasa dengan beban motor DC

### Metode kontroler ganda



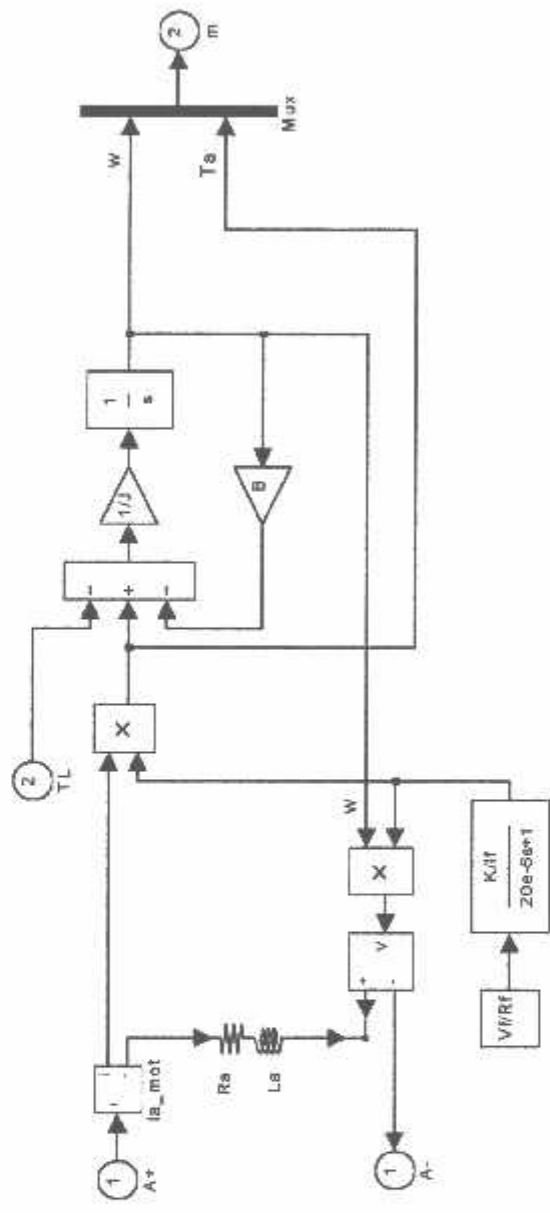
Konverter tiga fasa menyuplai arus medan

## Konverter 6-Pulsa



Penyearah tiga fasa terkontrol penuh

### Motor DC Penguatan Terpisah dengan Pengaturan Jangkar



Pemodelan motor DC dengan arus medan konstan

## Motor DC Penguatan Terpisah dengan Pengaturan Jangkar

### Block Parameters: Motor DC Pengaturan ...

Motor DC (motor)

Ini adalah motor DC penguatan terpisah yang medanya adalah diatas tegangan nominal VF.

Input 1 dan output 1 : Tegangan jangkar

Input 2 : Torsi beban

Output 2 : Pengukuran [ $\omega$  Te]

Parameter

Pendek dan Induktansi jangkar [Ra (ohm) Le(H)]

[0.6754e-3]

Pendek dan Induktansi medan [Rf(dm) Lf(H)]

[352.45]

Tegangan medan dan Arus medan nominal [Vf/Ia]

[230.0.65]

Konstanta M/taraf/del

[230190.615730/1750'pi]

konstanta Ig m /2

0.068

Gaya gesek [Nm/del]

0.001

Padaan awal/gas/del

0

OK	Cancel	Help	Close
----	--------	------	-------

Blok ini mengimplementasikan motor DC penguatan terpisah dengan tegangan jangkar yang dapat diatur setelah tegangan medan sebesar VF diberikan.

Implementasi dari pemodelan listrik dan mekanik dapat diterangkan melalui persamaan berikut:

$$VF = Rf * If \quad (\text{pada saat steady state})$$

$$Va = K * w + (Ra + sLa) * Ia$$

$$Ta = K * Ia$$

$$Ta = J * dw/dt + B * w + TL$$

dimana:

$$Va, VF = \text{Tegangan Jangkar dan medan (v)}$$

$$Ta, If = \text{Arus Jangkar dan medan (A)}$$

$$w = \text{kecepatan rotor (rad/s)}$$

$$s = \text{Operator turunan Laplace} = d/dt$$

$$Ta = \text{Torsi jangkar (N.m)}$$

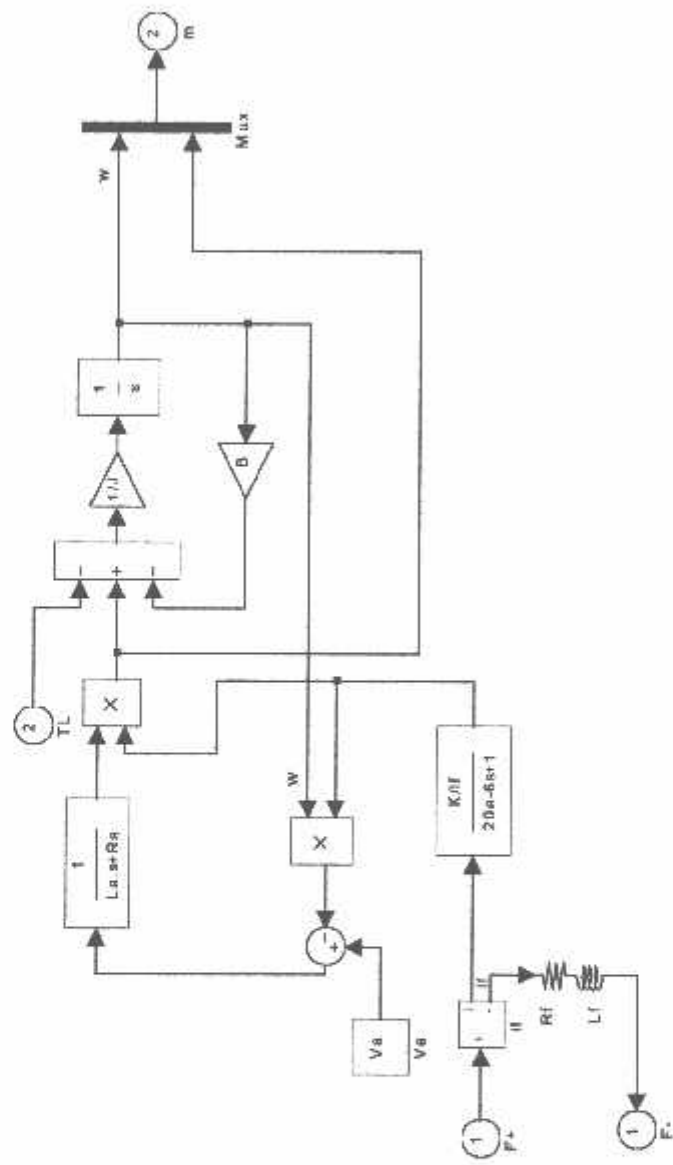
$$TL = \text{Torsi beban (N.m)}$$

Input 1 dan output 1 : positif dan negatif terminal jangkar  
Input 2 dan output 2 : torsi beban dan pengukuran output [ $w$  Ta]

Pada model motor torsi beban yang diberikan pada poros motor harus positip.

Blok parameter dan keterangan

### Motor DC Penguatan Terpisah dengan Pengaturan Medan



Pemodelan motor DC dengan tegangan jangkar konstan